

5154

SIMULERING AV STYRSYSTEM FÖR TANKFARTYG

BERTIL ASPERNÄS
PER FOISACK

RE-154 Mars 1975
Inst. för Reglerteknik
Lunds Tekniska Högskola

SIMULERING AV STYRSYSTEM FÖR TANKFARTYG

B. ASPERNÄS

P. FOISACK

Handledare: C. KÄLLSTRÖM

INNEHÅLL

	Sida
1. Sammanfattning	1
2. Abstract	2
3. Inledning	3
4. Båtdynamik	4
4.1 Koordinatsystem	4
4.2 Använda beteckningar	5
4.3 Båtmodell	7
4.4 Parametervärden	9
4.5 Simulering av vind- och sjöförhållanden	12
4.6 Simulering av mätfel	14
4.7 Överföringsfunktionen för linjär båtmodell .	14
4.8 Hastighetsprov	19
4.9 Standardprov	21
5. Manuell styrning	21
5.1 Beskrivning av program	21
5.2 Hur simulatorn användes	22
5.3 Ändring av banans utseende	26
5.4 Exempel	26
6. Styrning med PID-regulator	29
6.1 Beskrivning av program	29
6.2 Kriterier för optimering	29
6.3 Beskrivning av provserien	30
6.4 Optimal regulator	31
7. Styrning med adaptiv regulator	35
7.1 Beskrivning av den adaptiva regulatorn	35
7.2 Beskrivning av program	35
7.3 Kriterier för optimering	36
7.4 Beskrivning av strukturvariabler och provserier	36
7.5 Optimal och suboptimal regulator	48
8. Slutsatser	52
9. Referenser	53
Appendix A - Standardprov	A1
Appendix B - Simuleringar med PID-regulator	B1
Appendix C - Simuleringar med adaptiv regula- tor	C1
Appendix D - Program använda vid manuell styr- ning	D1
Appendix E - Program använda vid styrning med PID- och adaptiv regulator	E1

1. SAMMANFATTNING

Syftet med denna undersökning var, dels att genom simuleringar jämföra förmågan att med små roderrörelser hålla ett fartyg på önskad kurs med en adaptiv regulator och en PID-regulator, dels att göra en simulator med vars hjälp man kan få en uppfattning om möjligheten att styra manuellt genom olika trånga passager. Ett antal standardprov vid fartygsleveranser simulerades även. Dessa prov kunde sedan i viss utsträckning jämföras med registreringar av verkliga standardprov.

Den olinjära matematiska modell för fartyget som användes vid simuleringarna beskriver rörelsen i horisontalplanet. Parametervärdena i modellen är estimerade för en 255 000 dwt tankbåt. Stokastiska störningar för att beskriva inverkan från vind och vågor på fartyget infördes också.

Den adaptiva regulatorn estimerar parametrar enligt minstakvadrat-metoden och gör en styrlag som minimerar variansen av kursfelet. Denna styrlag visade sig medföra att kursavvikelsen blev mindre men roderrörelserna större, än om en väl injusterad PID-styrlag användes under samma förhållanden. Den adaptiva regulatorn har den stora fördelen framför PID-regulatorn att inga parametrar manuellt behöver injusteras för olika farter, lastförhållanden och vädertyper. En lämplig injustering av parametrarna i en PID-regulator har under vissa förhållanden på verkliga fartyg visat sig vara svår att utföra. En tänkbar vidareutveckling av den i detta examensarbete testade adaptiva regulatorn vore att även straffa roderrörelserna vid beräkningen av styringreppen.

2. ABSTRACT

The main purpose of this investigation was to compare, by simulations, the ability of an adaptive regulator and a PID-regulator to keep a ship on desired course with small rudder deflections. Manual steering in confined waters of the simulated ship was also performed. Recordings of delivery tests from real ships were compared to simulations.

The non-linear mathematical model of the ship, which was used in the simulations, describes the motion in the horizontal plane. The values of the model parameters are estimated for a 255 000 dwt tanker. Stochastic disturbances to describe the influence of wind and waves were also introduced in the ship model.

The adaptive regulator performs a least squares estimation of the parameters in a controller which minimizes the variance of the course error. This regulator gave smaller course errors but larger rudder deviations than a well tuned PID-regulator. The large advantage of the adaptive regulator compared to the PID-regulator is that no manual tuning of parameters for different speeds, loading conditions and weather types is necessary. The manual tuning of the parameters of a PID-regulator has sometimes proved to be difficult to perform on real ships. A conceivable development of the adaptive regulator, which is tested in this report, is to consider the rudder deviations too, when the control is computed.

3. INLEDNING

Dagens tankfartyg har så stora tidskonstanter, att de med manuell styrning blir mycket svåra att hålla på rak kurs. Om styrningen överlätes åt en regulator kan både kursavvikeler och roderrörelser nedbringas väsentligt. Detta gör att frakten blir mer ekonomisk.

Båtsimulatoren implementerades på processdatorn PDP-15 med hjälp av simuleringspaketet SIMNON, version 3B (se Elmqvist (1975)). Den matematiska fartygsmodell som användes finns beskriven i Norrbin (1971). Parametrarna i modellen gavs värden som estimerats för ett 255 000 dwt tankfartyg.

Vi vill framföra vårt varma tack till Statens Skeppsprovningsanstalt och till Kockums Mekaniska Verkstads AB för erhållet material.

4. BÅTDYNAMIK

4.1 KOORDINATSYSTEM

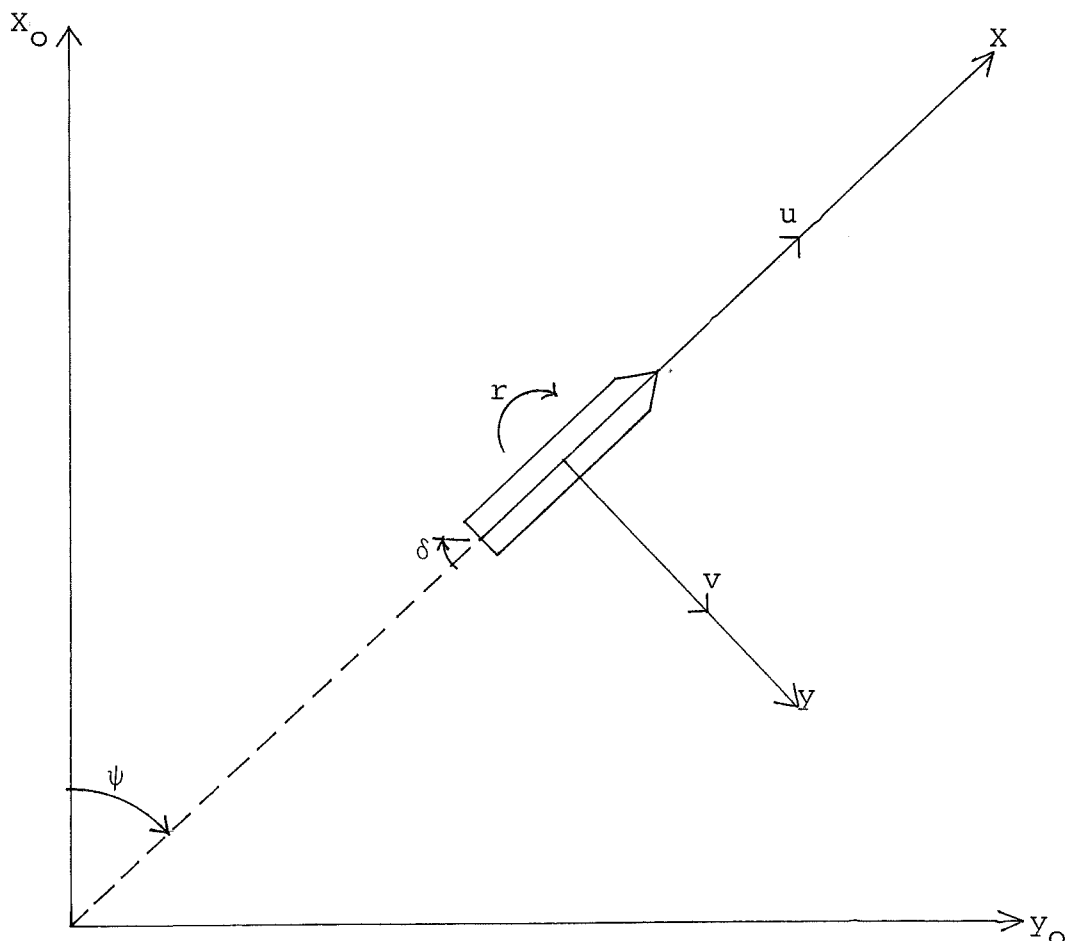


Fig. 4.1

Båtens tillstånd anges med koordinatsystemet i fig 4.1 som bas. Båten antages endast röra sig i horisontalplanet varför den bara har tre frihetsgrader: framåthastighet, tvärs- hastighet och girvinkelhastighet.

4.2 ANVÄNDA BETECKNINGAR

I detta avsnitt redogör vi för använda beteckningar i systemekvationerna och programmen. Då dessa skiljer sig åt, anger vi programbeteckningen inom parentes. Den använda matematiska modellen finns behandlad i Norrbin (1971), där också den införda normaliseringen ("bis"-systemet) finns beskriven. Nedanstående figur ger en översikt av insignaler, tillstånd och utsignaler.

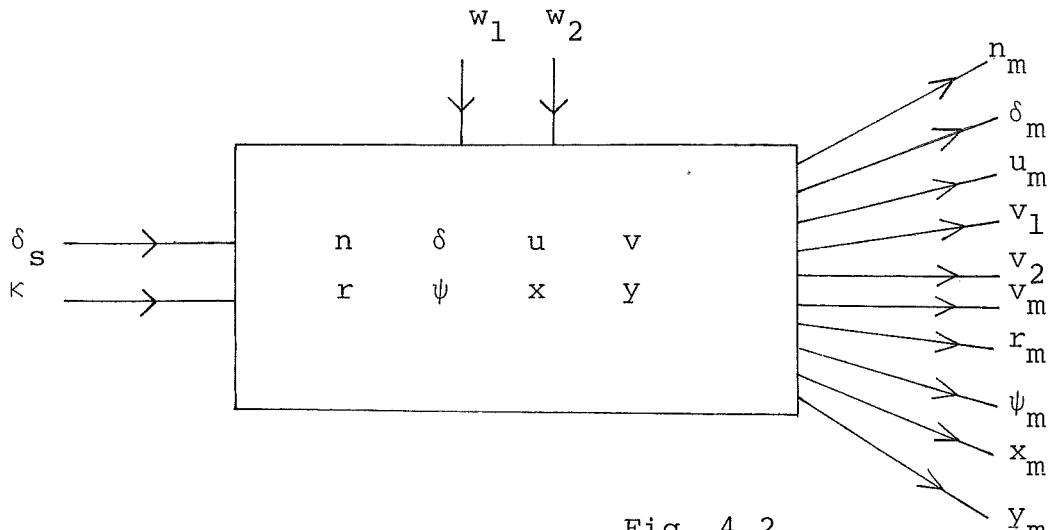


Fig. 4.2

Insignaler:	δ_s	(DELTS)	grad	rodersignal
	κ	(KAPPA)	-	relativt ånginsläpp
Störningar:	w_1	(W1)	m/s^2	filtrerat brus, acceleration från vind- och sjökrafter
	w_2	(W2)	rad/s^2	filtrerat brus, vinkelacceleration från vind- och sjökrafter
Tillstånd:	δ	(DELTA)	rad	rodervinkel
	n	(N)	1/s	varvtal
	u	(U)	m/s	hastighet framåt
	v	(V)	m/s	tvärshastighet
	r	(R)	rad/s	girvinkelhastighet
	ψ	(PSI)	rad	kurs
	x	(X)	m	x-koordinat
	y	(Y)	m	y-koordinat

Utsignaler:	δ_m (DELM)	grader	rodervinkel
	n_m (NM)	rpm	varvtal
	u_m (UM)	knop	hastighet framåt
	v_m (VM)	knop	tvärshastighet masscentrum
	v_1 (V1)	knop	" för
	v_2 (V2)	knop	" akter
	r_m (RM)	grad/s	girvinkelhastighet
	ψ_m (PSIM)	grad	kurs
	x_m (XM)	m	x-koordinat
	y_m (YM)	m	y-koordinat

Utsignalerna beräknas ur tillstånden på följande sätt:

$$\begin{aligned}
 \delta_m &= CRG \cdot \delta \\
 n_m &= 60 \cdot n \\
 u_m &= CMK \cdot u \\
 v_m &= CMK \cdot v \\
 v_1 &= CMK \cdot l_1 \cdot r + CMK \cdot v + e_1 + b_1 \\
 v_2 &= -CMK \cdot l_2 \cdot r + CMK \cdot v + e_2 + b_2 \\
 r_m &= CRG \cdot r + e_3 + b_3 \\
 \psi_m &= CRG \cdot \psi + e_4 \\
 x_m &= x \\
 y_m &= y
 \end{aligned}$$

där CMK är omvandlingsfaktor m/s \rightarrow knop = $\frac{3600}{1852} = 1.9438$

CRG " rad \rightarrow grad = 57.2958

l_1 (L1) m avstånd från förlig dopplerlogg till masscentrum

l_2 (L2) m avstånd från akterlig dopplerlogg till masscentrum

e_i (Ei) vitt mätbrus $e \in N(0, Re)$

b_1 knop "Biasterm"

b_2 knop "

b_3 grad/s "

Övriga beteckningar i ekvationerna:

g (G)	m/s^2	graviationskonstant
T_s (TS)	s	tidskonstant för roderrsrot
K (K)	m/s^2	kraft per massenhet inducerad av vinden
α (ALFA)	grad	absolut vindriktning

w_1	(W1)	m/s^2		störningar på v- och r-ekvationerna
w_2	(W2)	rad/s^2		
δ_{Lim}	(LIM1)	grad/s		begränsning på roderhastigheten
L	(L)	m		båtens längd
(T^P/m) (TPM)		m/s^2		kraft per massenhet från propellern
C_{Lim} (CDLIM)		m^2/s^2		begränsning i X-ekvationen
TT	(TT)	m		djupgående
lv	(LV)	m		momentarm för vinden i v-ekvationen
c		m/s		vattenström hastigheten vid rodret
b_0		grad		biasterm för rodersignalen

Indiceringsarna 10.5 resp 20 anger för vilket djupgående som parametrarna gäller. Linjär interpolation företrädes mellan dessa två djupangivelser för åtta st parametrar enligt följande.

$$f_1 = \frac{20 - TT}{9.5} \quad f_2 = \frac{TT - 10.5}{9.5}$$

$$(1-Y''_v) = (1-Y''_v)_{10.5} \cdot f_1 + (1-Y''_v)_{20} \cdot f_2$$

$$Y''_{uv} = (Y''_{uv})_{10.5} \cdot f_1 + (Y''_{uv})_{20} \cdot f_2$$

$$(Y''_{ur}-1) = (Y''_{ur}-1)_{10.5} \cdot f_1 + (Y''_{ur}-1)_{20} \cdot f_2$$

$$Y''_{|v|v} = (Y''_{|v|v})_{10.5} \cdot f_1 + (Y''_{|v|v})_{20} \cdot f_2$$

$$(k''_{zz}-N''_r) = (k''_{zz}-N''_r)_{10.5} \cdot f_1 + (k''_{zz}-N''_r)_{20} \cdot f_2$$

$$N''_{uv} = (N''_{uv})_{10.5} \cdot f_1 + (N''_{uv})_{20} \cdot f_2$$

$$(N''_{ur}-x''_G) = (N''_{ur}-x''_G)_{10.5} \cdot f_1 + (N''_{ur}-x''_G)_{20} \cdot f_2$$

$$N''_{|v|r} = (N''_{|v|r})_{10.5} \cdot f_1 + (N''_{|v|r})_{20} \cdot f_2$$

4.3 BÅTMODELL

Systemekvationerna är följande:

$$1) \quad \dot{\delta} = -\frac{1}{Ts}\delta + \frac{1}{Ts} \cdot \frac{1}{CRG} (\delta_s + b_0)$$

$$\text{Begränsning: } |\dot{\delta}| \leq \frac{1}{CRG} \cdot \delta_{Lim}$$

$$2) \quad (k_{TSP}^{\frac{P}{m}} - Q_n^{\frac{P}{m}}) \cdot \dot{n} = (Q_F^{\frac{P}{m}}) \frac{g}{L} \frac{n}{|n|} + (\frac{1}{2} Q_{uu}^{\frac{P}{m}}) \frac{1}{L^2} u^2 + \\ + (Q_{un}^{\frac{P}{m}}) \frac{1}{L} \cdot u \cdot n + (Q_{|n|n}^{\frac{P}{m}}) |n|n + (Q_n^{\frac{T}{m}}) \sqrt{\frac{g}{L}} n + (Q_k^{\frac{T}{m}}) \frac{g}{L} k$$

$$3) \quad (1-x_u^{\frac{P}{m}}) \dot{u} = (\frac{1}{2} x_{uu}^{\frac{P}{m}}) \frac{1}{L} u^2 + (1+x_{vr}^{\frac{P}{m}}) v r + \\ + (\frac{1}{2} x_{vv}^{\frac{P}{m}}) \frac{1}{L} v^2 + (\frac{1}{2} x_{c|c|\delta\delta}^{\frac{P}{m}}) \frac{1}{L} c|c|\delta^2 + (1-t_p) (T^{\frac{P}{m}})$$

Begränsningar:

$$a) \quad c|c|\delta^2 \leq c_{Lim}$$

$$b) \quad (1+x_{vr}^{\frac{P}{m}}) v r + \frac{1}{2} x_{vv}^{\frac{P}{m}} \frac{1}{L} v^2 + \frac{1}{2} x_{c|c|\delta\delta}^{\frac{P}{m}} \frac{1}{L} c|c|\delta^2 \leq 0$$

$$4) \quad (1-y_v^{\frac{P}{m}}) \dot{v} + (x_G^{\frac{P}{m}} - y_r^{\frac{P}{m}}) L \dot{r} = y_{uv}^{\frac{P}{m}} \frac{1}{L} u v + (y_{ur}^{\frac{P}{m}} - 1) u r + \\ + y_{|v|v}^{\frac{P}{m}} \frac{1}{L} |v|v + y_{c|c|\delta}^{\frac{P}{m}} \frac{1}{L} c|c|\delta + k_{TY} (T^{\frac{P}{m}}) + \\ + \frac{1}{2} y_{nn}^{\frac{P}{m}} L n^2 - K \sin(\frac{1}{CRG} \cdot \alpha - \psi) + w_1$$

$$5) \quad (x_G^{\frac{P}{m}} - N_V^{\frac{P}{m}}) \frac{1}{L} \dot{v} + (k_{zz}^{\frac{P}{m}} - N_r^{\frac{P}{m}}) \dot{r} = N_{uv}^{\frac{P}{m}} \frac{1}{L^2} u v + (N_{ur}^{\frac{P}{m}} - x_G^{\frac{P}{m}}) \frac{1}{L} u r + \\ + N_{|v|r}^{\frac{P}{m}} \frac{1}{L} |v|r + N_{c|c|\delta}^{\frac{P}{m}} \frac{1}{L^2} c|c|\delta + k_{TN} (T^{\frac{P}{m}}) \frac{1}{L} + \\ + \frac{1}{2} N_{nn}^{\frac{P}{m}} n^2 + K \cdot l_v \frac{1}{L^2} \sin(\frac{1}{CRG} \cdot \alpha - \psi) + w_2$$

$$6) \quad \dot{\psi} = r$$

$$7) \quad \dot{x} = u \cos \psi - v \sin \psi$$

$$8) \quad \dot{y} = u \sin \psi + v \cos \psi$$

$$\left\{ \begin{array}{l} (T^{\frac{P}{m}}) = (\frac{1}{2} T_{uu}^{\frac{P}{m}}) \frac{1}{L} u^2 + (T_{un}^{\frac{P}{m}}) u n + (T_{|n|n}^{\frac{P}{m}}) L |n|n \\ c|c| = c_1 u^2 + c_2 \frac{n}{|n|} u^2 + c_3 u n + c_4 n^2 \end{array} \right.$$

4.4 PARAMETERVÄRDEN

Systemparametrarna nedan gäller för en 255 000 dwt supertankare. Parametervärdena är ursprungligen framtagna för en 210 000 dwt tankbåt, genom teoretiska beräkningar och anpassning till resultat från modellförsök med frifarande modell. Dessa parametervärden, som erhållits från Statens Skeppsprovningsanstalt (SSPA) i Göteborg, har sedan i vissa fall justerats så att standardprov, typ zig-zag-prov, cirkelprov och spiralprov, har någorlunda stämt överens mellan modell och 255 000 dwt fullskalebåt. Se även Åström o. Källström (1973).

L	329.18	m
T _s	5.0	s
δ _{Lim}	2.0	gr/s
k _{TSP} " - Q _n ^p "	0.70	10 ⁻⁷
Q _F "	-0.95	10 ⁻⁷
1/2 Q _{uu} ^p "	0.575	10 ⁻⁴
Q _{un} ^p "	0.423	10 ⁻⁶
Q _{n n} ^p "	-0.695	10 ⁻⁷
Q _n ^T "	-0.431	10 ⁻⁶
Q _K ^T "	0.685	10 ⁻⁵
1-X _ü "	1.050	
1/2 X _{uu} "	-0.0208	
1+X _{vr} "	6.0	
1/2 X _{vv} "	8.70	
1/2 X _{c c δδ} "	-0.220	

$1-t_p$	0.760	
c_{Lim}	7.9	m^2/s^2
$(1-Y_{\dot{V}}'')_{10.5}$	1.67	
$(1-Y_{\dot{V}}'')_{20}$	2.5	
$x_G'' - Y_{\dot{R}}''$	0.050	
$(Y_{\text{uv}}'')_{10.5}$	-1.21	
$(Y_{\text{uv}}'')_{20}$	-1.083	
$(Y_{\text{ur}}'' - 1)_{10.5}$	-0.525	
$(Y_{\text{ur}}'' - 1)_{20}$	-0.625	
$b_0 = b_1 = b_2 = b_3 = 0$		
c_1	0.4225	
c_2	-0.224	
c_3	-0.81	m
c_4	29.1	m^2
$(Y_{ v v}'')_{10.5}$	-0.58	
$(Y_{ v v}'')_{20}$	-1.06	
$Y_c'' c \delta$	0.197	
k_{TY}	0.040	
$\frac{1}{2} Y_{nn}''$	0.0	
$x_G'' - N_{\dot{V}}''$	0.040	

$(k''_{zz} - N''_r)_{10.5}$	0.100	
$(k''_{zz} - N''_r)_{20}$	0.16	
$(N''_{uv})_{10.5}$	-0.180	
$(N''_{uv})_{20}$	-0.329	
$(N''_{ur} - x''_G)_{10.5}$	-0.256	
$(N''_{ur} - x''_G)_{20}$	0.2122	
$(N''_{ v r})_{10.5}$	-0.23	
$(N''_{ v r})_{20}$	-0.49	
$N''_{c c \delta}$	-0.092	
K_{TN}	-0.0000645	
$\frac{1}{2} N''_{nn}$	0.0	
l_v	25	m
$\frac{1}{2} T''_{uu}^P$	-0.0226	
T''_{un}^P	-0.000232	
$T''_{ n n}^P$	0.0000234	
l_1	148.7	m
l_2	131.1	m

4.5 SIMULERING AV VIND- OCH SJÖFÖRHÅLLANDE

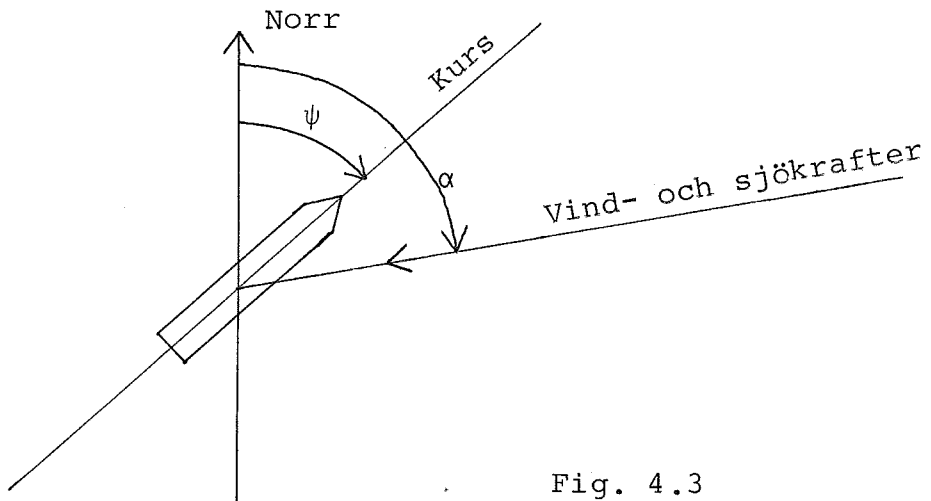


Fig. 4.3

Vinden ger en kraft i båtens tvärskeppsriktning och ett moment kring båtens masscentrum. Storleken på dessa är K resp $K \cdot l_v$ där K är kraft per massenhett och l_v är momentarmen för vinden. vind in på styrbords sida ger positiv rotation på båten. Detta kommer sig av att maskinöverbyggnaden är placerad akterut. Sinusfunktioner justerar krafterna och momenten efter absoluta vindriktningen.

Till dessa krafter och moment adderas sedan färgat brus w_1 respektive w_2 för att efterlikna vågornas på samma gång periodiska och stokastiska natur.

Test har visat att vågorna har en period av ca 8 sekunder vid en vindstyrka av 7 Beaufort (ca 15 m/s). Se fig 4.4.

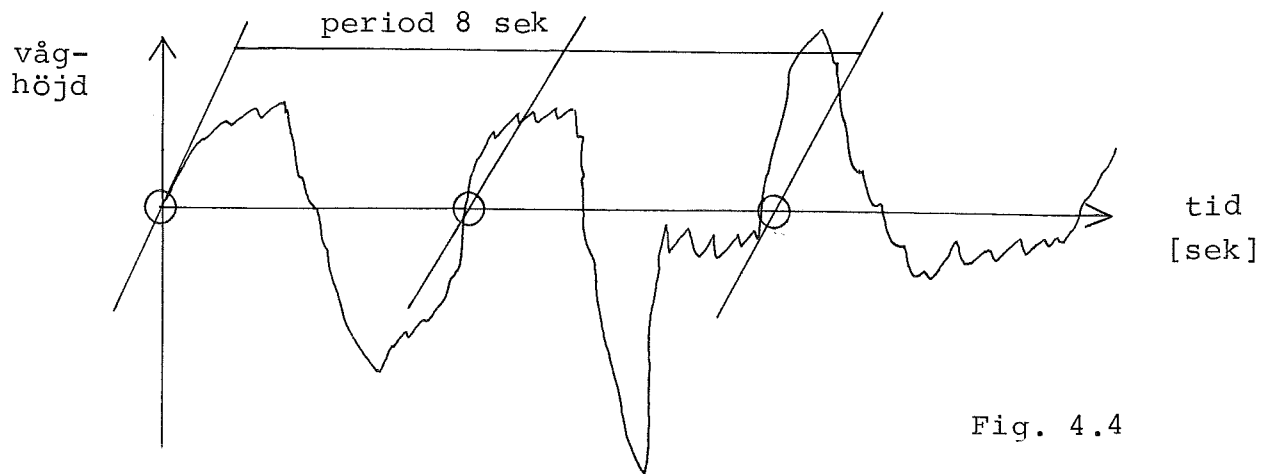


Fig. 4.4

För att generera en sådan signal göres på följande sätt.

Vitt normalfördelat brus färgas i ett lågpassfilter med egenfrekvens av $\frac{1}{8}$ Hz sek. Bodediagram för detta filter finns i fig 4.5.

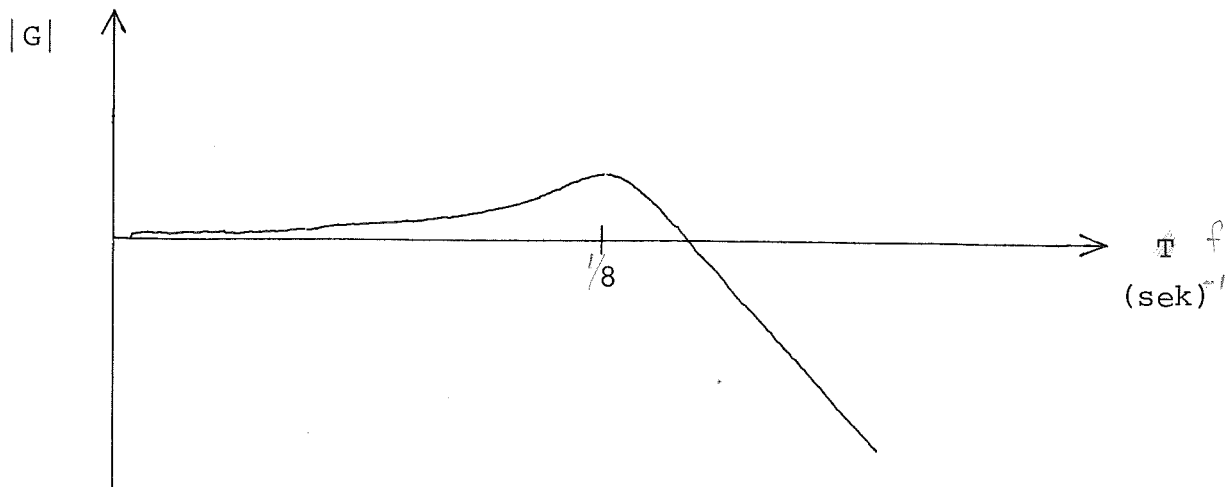


Fig. 4.5

Förstärkningen i resonanstoppen är 2.

Vi har valt att simulera två vindstyrkor, dels svag vind och dels hård vind. Nu återstår det att bestämma K och R_w för dessa två vindstyrkor. R_w står för kovariansmatrisen hos det normalfördelade bruset.

Svag vind: $K = 0.002$

$$R_w = \begin{pmatrix} 10^{-9} & 0 \\ 0 & 10^{-11} \end{pmatrix}$$

Hård vind: $K = 0.004$

$$R_w = \begin{pmatrix} 4 \cdot 10^{-9} & 0 \\ 0 & 4 \cdot 10^{-11} \end{pmatrix}$$

Dessa värden har erhållits genom att jämföra simuleringar med fullskale-försök under olika väderbetingelser.

4.6 SIMULERING AV MÄTFEL

För att simulera verkliga mätsignaler pålägges vitt, normalfördelat brus på de utsignaler som används för styrning, det vill säga kurs och girvinkelhastighet. Förberedelse för användning av de två dopplerloggarna i för och akter görs också, men de användes ej i denna rapport.

Mätfelen har uppskattats ha följande kovariansmatris:

$$Re = \begin{pmatrix} 0.0025 & 0 & 0 & 0 \\ 0 & 0.0025 & 0 & 0 \\ 0 & 0 & 0.0004 & 0 \\ 0 & 0 & 0 & 0.0025 \end{pmatrix}$$

Variansen av mätfelen vid mätning av v_1 , v_2 , r_m och ψ_m finns i diagonalen till Re . Vid vissa simuleringar sattes $Re(4,4)$ till 0.01 grad². Genom införandet av "biastermerna" b_1 , b_2 och b_3 kan även mätningar med medelvärdesfel simuleras.

4.7 ÖVERFÖRINGSFUNKTIONEN FÖR LINJÄR BÅTMODELL

De lineariserade kraft- och momentekvationerna för båtens rörelse i horisontalplanet ges av:

$$\begin{pmatrix} (m - Y_{\dot{v}}) & (m x_G - Y_{\dot{r}}) \\ (m x_G - N_{\dot{v}}) & (I_z - N_{\dot{r}}) \end{pmatrix} \begin{pmatrix} \dot{v} \\ \dot{r} \end{pmatrix} =$$

$$\begin{pmatrix} Y_{uv} \cdot u & (Y_{ur} - m) u \\ N_{uv} \cdot u & (N_{ur} - m x_G) u \end{pmatrix} \begin{pmatrix} v \\ r \end{pmatrix} +$$

$$\begin{pmatrix} Y_{c|c|\delta} \cdot c|c| \\ N_{c|c|\delta} \cdot c|c| \end{pmatrix} \delta$$

I detta avsnitt sättes farten u till 16 knop och propellervarvtalet n till 77 rpm vilket motsvarar full fart framåt.

Vi normaliseringar dessa ekvationer enligt "bis"-systemet. I detta system sättes enheten längd = L

$$\begin{aligned} " \quad \text{hastighet} &= \sqrt{gL} \\ " \quad \text{tid} &= \sqrt{L/g} \\ " \quad \text{massa} &= m \end{aligned}$$

"Bis"-systemet introducerades ursprungligen av Norrbin (1971). Ekvationerna ovan har sorterna kraft respektive moment. Dessa ekvationer görs dimensionslösa genom division med (mg) och (mgL).

Kraftekvationen

$$\frac{(m - Y_{\dot{v}})}{m} \frac{\dot{v}}{g} + \frac{(m x_G - Y_{\dot{r}})}{Lm} \frac{L\dot{r}}{g} =$$

$$\frac{L Y_{uv}}{m} \frac{uv}{gL} + \frac{(Y_{ur} - m)}{m} \frac{ur}{g} + \frac{L Y_{c|c|\delta}}{m} \frac{c|c|\delta}{gL} \quad \longleftrightarrow$$

$$(1 - Y''_{\dot{v}}) \frac{\dot{v}}{g} + (x''_G - Y''_{\dot{r}}) \frac{L\dot{r}}{g} =$$

$$Y''_{uv} \frac{uv}{gL} + (Y''_{ur} - 1) \frac{ur}{g} + Y''_{c|c|\delta} \cdot \frac{c|c| \cdot \delta}{gL}$$

Momentekvationen

$$\frac{(m x_G - N_{\dot{v}})}{Lm} \frac{\dot{v}}{g} + \frac{(I_z - N_{\dot{r}})}{L^2 m} \frac{L\dot{r}}{g} =$$

$$\frac{N_{uv}}{m} \frac{uv}{gL} + \frac{(N_{ur} - m x_G)}{Lm} \frac{ur}{g} + \frac{N_{c|c|\delta}}{m} \frac{c|c| \cdot \delta}{gL} \quad \longleftrightarrow$$

$$(x''_G - N''_{\dot{v}}) \frac{\dot{v}}{g} + (k''_{zz} - N''_{\dot{r}}) \frac{L\dot{r}}{g} =$$

$$N''_{uv} \frac{uv}{gL} + (N''_{ur} - x''_G) \frac{ur}{g} + N''_{c|c|\delta} \frac{c|c| \delta}{gL}$$

Vi överför dessa ekvationer på standardform

$$\begin{pmatrix} \dot{v} \\ \dot{r} \end{pmatrix} = \begin{pmatrix} a_{11} & a_{12} \\ a_{21} & a_{22} \end{pmatrix} \begin{pmatrix} v \\ r \end{pmatrix} + \begin{pmatrix} b_{11} \\ b_{21} \end{pmatrix} \delta$$

$$\text{där } a_{11} = \frac{u \left[(k_{zz}'' - N_r'') Y_{uv}'' - (x_G'' - Y_r'') \cdot N_{uv}'' \right]}{L \left[(1 - Y_v'') (k_{zz}'' - N_r'') - (x_G'' - Y_r'') (x_G'' - N_v'') \right]}$$

$$a_{12} = \frac{u \left[(k_{zz}'' - N_r'') (Y_{ur}' - 1) - (x_G'' - Y_r'') (N_{ur}'' - x_G'') \right]}{\left[(1 - Y_v'') (k_{zz}'' - N_r'') - (x_G'' - Y_r'') (x_G'' - N_v'') \right]}$$

$$a_{21} = \frac{u \left[(1 - Y_v'') (N_{uv}'') - (x_G'' - N_v'') Y_{uv}'' \right]}{L^2 \left[(1 - Y_v'') (k_{zz}'' - N_r'') - (x_G'' - Y_r'') (x_G'' - N_v'') \right]}$$

$$a_{22} = \frac{u \left[(1 - Y_v'') (N_{ur}'' - x_G'') - (x_G'' - N_v'') (Y_{ur}' - 1) \right]}{\left[(1 - Y_v'') (k_{zz}'' - N_r'') - (x_G'' - Y_r'') (x_G'' - N_v'') \right]}$$

$$b_{11} = \frac{c|_C| \left[(k_{zz}'' - N_r'') Y_{C|C|\delta}'' - (x_G'' - Y_r'') N_{C|C|\delta}'' \right]}{L \left[(1 - Y_v'') (k_{zz}'' - N_r'') - (x_G'' - Y_r'') (x_G'' - N_v'') \right]}$$

$$b_{21} = \frac{c|_C| \left[(1 - Y_v'') N_{C|C|\delta}'' - (x_G'' - N_v'') Y_{C|C|\delta}'' \right]}{L^2 \left[(1 - Y_v'') (k_{zz}'' - N_r'') - (x_G'' - Y_r'') (x_G'' - N_v'') \right]}$$

Systemmatriser och överföringsfunktioner för olika djupgående 10.5, 20 m och 25 m beräknas. Sista fallet anger vi för att se effekten av en instabil båt. Detta fall kan inte uppnås i verkligheten eftersom relingen bör vara ovanför vattenytan vid betryggande framfart av fartyget.

10.5

$$A = \begin{pmatrix} -0.01697 & -1.9802 \\ -0.0001161 & -0.06160 \end{pmatrix} \quad B = \begin{pmatrix} 0.02363 \\ -0.0004771 \end{pmatrix}$$

$$G_r(s) = \frac{-0.0133(1+44.0s)}{(1+81.1s)(1+15.1s)} \quad G_v(s) = \frac{2.94(1+9.84s)}{(1+81.1s)(1+15.1s)}$$

20

$$A = \begin{pmatrix} -0.009852 & -1.8489 \\ -0.0001487 & -0.03175 \end{pmatrix} \quad B = \begin{pmatrix} 0.01456 \\ -0.0002913 \end{pmatrix}$$

$$G_r(s) = \frac{-0.133(1+57.9s)}{(1+1073s)(1+24.6s)} \quad G_v(s) = \frac{26.4(1+14.5s)}{(1+1073s)(1+24.6s)}$$

25

$$A = \begin{pmatrix} -0.007773 & -1.7669 \\ -0.0001566 & -0.02356 \end{pmatrix} \quad B = \begin{pmatrix} 0.01185 \\ -0.0002418 \end{pmatrix}$$

$$G_r(s) = \frac{0.0399(1+64.7s)}{(1+29.3s)(1-362s)} \quad G_v(s) = \frac{-7.55(1+16.7s)}{(1+29.3s)(1-362s)}$$

Systemet kan nu skrivas på följande sätt:

$$\begin{pmatrix} \dot{v}'' \\ \dot{r}'' \end{pmatrix} = \begin{pmatrix} \alpha_{11} & \alpha_{12} \\ \alpha_{21} & \alpha_{22} \end{pmatrix} \begin{pmatrix} v'' \\ r'' \end{pmatrix} + \begin{pmatrix} \beta_{11} \\ \beta_{21} \end{pmatrix} \delta''$$

$$\alpha_{11} = \frac{a_{11}}{\sqrt{g/L}} \quad \alpha_{12} = \frac{a_{12}}{\sqrt{gL}}$$

$$\alpha_{21} = \frac{a_{21}}{\sqrt{g/L^3}} \quad \alpha_{22} = \frac{a_{22}}{\sqrt{gL}}$$

$$\beta_{11} = \frac{b_{11}}{g} \quad \beta_{21} = \frac{b_{21}}{gL}$$

Alla parametrar och variabler är dimensionslösa. Nedan följer en förteckning över parametrarna vid gjupgående 10.5, 20 och 25 meter. Överföringsfunktionerna från rodervinkel till girkinkelhastighet och från rodervinkel till tvärshastighet redovisas också.

10.5

$$A'' = \begin{pmatrix} -0.09832 & -0.03485 \\ -0.2214 & -0.3569 \end{pmatrix} \quad B'' = \begin{pmatrix} 0.002410 \\ -0.01601 \end{pmatrix}$$

$$G_r''(s) = \frac{r''(s)}{\delta''(s)} = \frac{-0.0770(1+7.6s)}{(1+14.0s)(1+2.6s)} \quad G_v''(s) = \frac{v''(s)}{\delta''(s)} = \frac{0.0517(1+1.7s)}{(1+14.0s)(1+2.6s)}$$

20

$$A'' = \begin{pmatrix} -0.05708 & -0.03253 \\ -0.2832 & -0.1840 \end{pmatrix} \quad B'' = \begin{pmatrix} 0.001485 \\ -0.009779 \end{pmatrix}$$

$$G_r''(s) = \frac{-0.770(1+10.0s)}{(1+185s)(1+4.25s)} \quad G_v''(s) = \frac{0.465(1+2.50s)}{(1+185s)(1+4.25s)}$$

25

$$A'' = \begin{pmatrix} -0.04503 & -0.03110 \\ -0.2986 & -0.1365 \end{pmatrix} \quad B'' = \begin{pmatrix} 0.001209 \\ -0.008115 \end{pmatrix}$$

$$G_r''(s) = \frac{+0.231(1+11.1s)}{(1+5.06s)(1-62.5s)} \quad G_v''(s) = \frac{-0.133(1+2.88s)}{(1+5.06s)(1-62.5s)}$$

4.8 HASTIGHETSPROV

För att bestämma det κ -värde som ger marschfarten 16 knop, har vi gjort hastighetsprov, det vill säga bestämt värden på framåthastigheten vid olika ångpådrag.

Resultatet av dessa prov ges i fig 4.6 där också stationära värden på propelleravtalet medtagits.

I alla standardprov i nästa avdelning ges κ -värdet 0.8, som vi låter motsvara full fart framåt.

Observera dock att dessa stationära värden inte beror på djupgåendet vilket är en approximation.

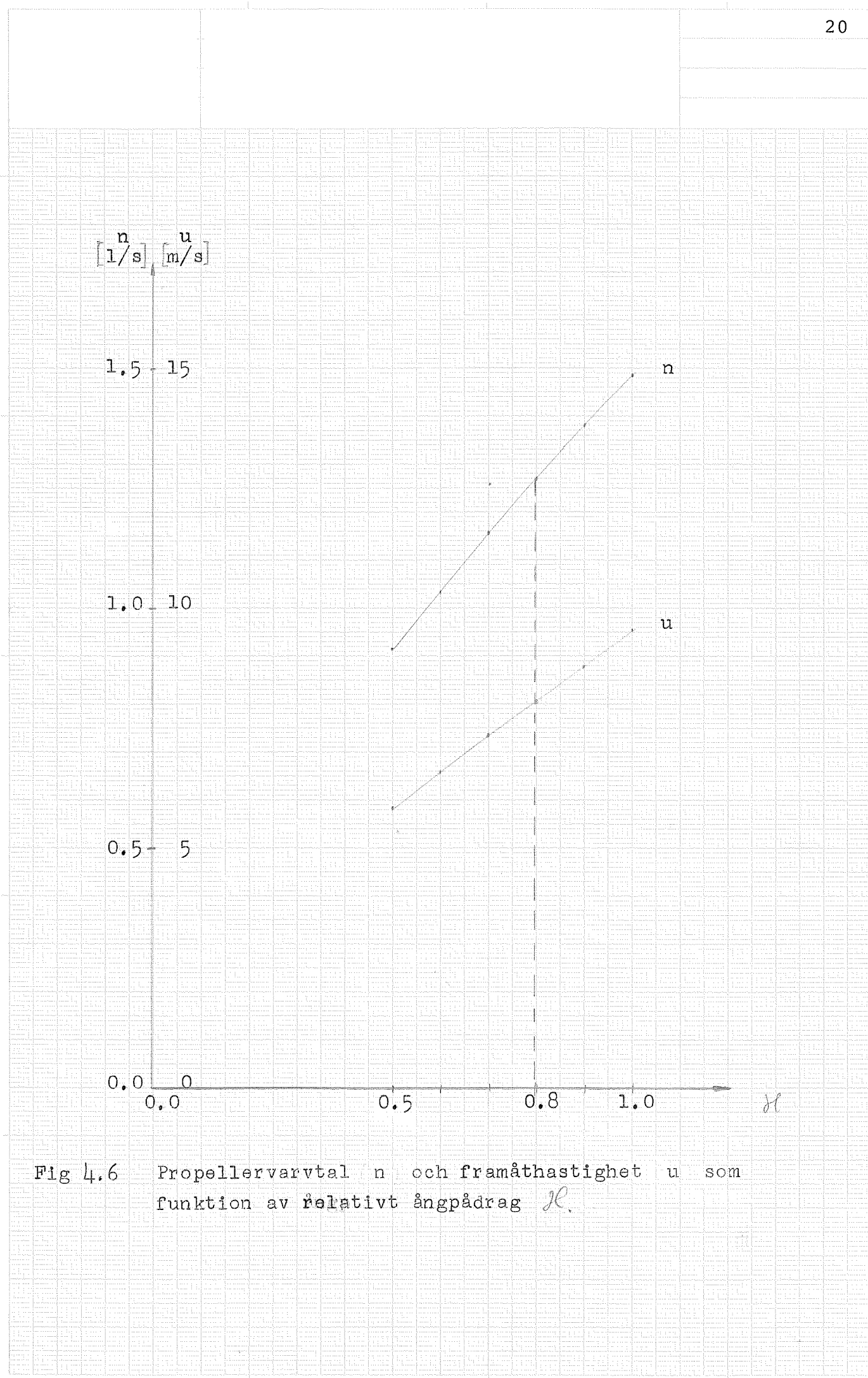


Fig 4.6 Propellervarvtal n och framåthastighet u som funktion av relativt ångpådrag H .

4.9 STANDARDPROV

För att se hur bra modellen stämmer överens med verkligheten har vi gjort en serie standardprov bestående av spiralprov, cirkelprov, zig-zag-prov, impulssvar och "crash-stop"-prov. "Crash-stop" innebär fullt roderutslag och full back.

Vi har sedan jämfört dessa prov med motsvarande prov utförda med verklig båt, och vidtagit de justeringar av parametervärdena i modellen som behövdes för en god överensstämelse mellan simulering och verklighet. Observera dock att dessa simuleringar är gjorda utan påverkan av störningar från vind och vågor, något som inte gäller för de verkliga proven.

För att se hur en instabil båt reagerar, har även djupgåendet 25 m medtagits.

Alla proven finns samlade i appendix A.

5. MANUELL STYRNING

5.1 BESKRIVNING AV PROGRAM

Vid manuell styrning av fartygsmodellen användes följande program:

BOAT3	"Fartygsmodell	se appendix D
NABOT	"Totalsystem	se appendix D
NOISE	"Brusgenerator (standardsystem i SIMNON)	
NOISL	"Kopia av NOISE	
LPFIL	"Lågpassfilter	se appendix D
LPFI2	"Kopia av LPFIL	
ANIN	"Analog in- och ut-matning	se appendix D
FIG	"Genererar fartygsbild	se appendix D
BANA	"Genererar bana	se appendix D

För simuleringen genererar BANA en av de två standardbanorna, som finns i programmet, på dataskärmen. Banorna kan lätt ändras om så önskas.

Vid simuleringsläge läser ANIN in spänningar som motsvarar önskat roderläge och ångventilinställning.

NOISI genererar brus, som filtreras i LPFI1 för att efterlikna störningar från vind och vågor.

Totalsystemet NABOT ger alla dessa signaler till fartygsmodellen BOAT3 samt ger utsignalerna från BOAT3 till ANIN och FIG. De utsignalerna som antas erhållna från mätinstrument, förses med mätbrus från NOISE.

ANIN omvandlar signalerna som motsvarar hastighet, kurs och girvinkelhastighet till lämpliga spänningar och ställer ut dessa.

FIG genererar en fartygsbild, som är skalriktig mot de axlar som finns på dataskärmen.

5.2 HUR SIMULATORN ANVÄNDES

Simulatorn består av följande delar:

Display Tektronix

En digitalvoltmeter 0-20 V DC

TVÅ ST VOLTMETRAR 0-10 V DC

"Kontrollbox" för inställning av rodervinkel och ångpådrag.

En speciell version av SIMNON (dectape 7.1) används.

Instrument	Signalen anger	Kopplas till	Kanal	Spänning-signal
DVM	Hast. framåt	Analog out	2	0 V - 0 m/s 5 V - 5 m/s 10 V - 10 m/s
VM	Girvinkelhast.	Analog out	1	0 V - -0,75 grad/s 5 V - 0 10 V - +0,75 grad/s
VM	Kurs	Analog out	3	0 V - -180°+360° 5 V - 0 10 V - +180°+360°
Kontroll-box	Rodersignal Ångpådrag Referens	Analog in Analog in -10 V	0 1	Se märkning på sladdarna

Inläsning av programmen

De erforderliga programmen läses in från dectape 7.1 enl. följande. Utgångspunkt är monitorn i DOS.

```

§ PIP
DOSPIP V6C
>T DK<-DT2 SIMNON XXX(D)
>T DK<-DT2 SIMNON XCT(B)
>T DK,<-DT2 BOAT3, NABOT (A)
>T DK,<-DT2 LPFIL, LPFI2 (A)
>↑C
§ A DK 3/NONE 4,5,7
§ E SIMNON
>

```

Kommandon före simulering

Följande kommandon i SIMNON förbereder simulering i svag vind, med djupgåendet 20 m, standardbana nr 1 och initialhastighet 8.2 m/s. 15 st variabler mätes varannan sekund och lagras på en fil EXP. Efter simuleringen kan dessa variabler plottas på dataskärmen. Varje ny simulering påverkas av samma brus.

```

>SET NOUT:15
>SET NNOI:4
>SET NNOIL:2
>TURN WARN OFF
>SYST NOISE NOIS1 BOAT3 LPFIL LPFI2 CFILE ANIN FIG NABOT
>SET FILEO:EXP
>PAR DT [CFILE]:2
>PAR R11 [NOIS1]:1.E-9
>PAR R22 [NOIS1]:1.E-11
>PAR K [BOAT3]:0.002
>PAR R11 [NOISE]:0.0025
>PAR R22 [NOISE]:0.0025
>PAR R33 [NOISE]:0.0004
>PAR R44 [NOISE]:0.0025
>PAR DT [NOIS1]:5
>PAR DT [NOISE]:5

```

```
>PAR SAME [NOIS1]:1  
>PAR SAME [NOISE]:1  
>PLOT C7 (C8)  
>AXES H -500 4000 v -500 3000
```

Simulering kan nu startas med kommandot

```
>SIMU 0 2000
```

och avbrytas genom att "l-ställa" data-switcharna 0 och 1.

Ändring av simuleringsförhållanden

Önskat tillstånd	Kommando
Hård vind	>PAR R11 [NOIS1]:4.E-9 >PAR R22 [NOIS1]:4.E-11 >PAR K [BOAT3]:0.004
Svag vind	>PAR R11 [NOIS1]:1.E-9 >PAR R22 [NOIS1]:1.E-11 >PAR K [BOAT3]:0.002
Standardbana nr 1	>PAR BAN:1 >AXES H -500 4000 V -500 3000 >PLOT C7 (C8)
Standardbana nr 2	>PAR BAN:2 >AXES H -500 6000 V -500 4000 >PLOT C7 (C8)
Ingen bana	>PAR BAN:0
Asterisk/ingen asterisk (i bildens tyngdpunkt)	>PAR AST:1/ PAR AST:0
Fartygets djupgående x m	>PAR TT:x
Fartygets initialhastighet x m/s	>INIT U:x
Tid mellan generering av fartygsbilder x s	>PAR DT [FIG]:x
Fartygsbildens roderstorl. x m (standardvärde 50 m)	>PAR LANGD:x

5.3 ÄNDRING AV BANANS UTSEENDE

Om en speciell bana skall genereras på dataskärmen måste källkoden till programmet BANA hämtas från dectape 7.1.

De inledande DATA-satserna i BANA anger, i sorten km, koordinaterna för banans hörn, i förhållande till axelgraderingen på dataskärmen.

Beroende på parametern BAN's värde vid simuleringen, 1 resp 2, genereras banan av vektorerna XB, YB resp XC, YC.

Efter editering av BANA länkas en ny version av simulatorn enligt SIMNON's anvisningar.

Listningar av SIMBAT och SYSTS finns i appendix D.

Följande program skall finnas på disken vid länkningen:

```
.LIBR5  SIMNON  SETNAM  SETVAR  SYSTS  ANIN  MNODI3  
ADREAD  DARITE  BANA  FIG  MRK  PLOT  PLOT1  NOIS1
```

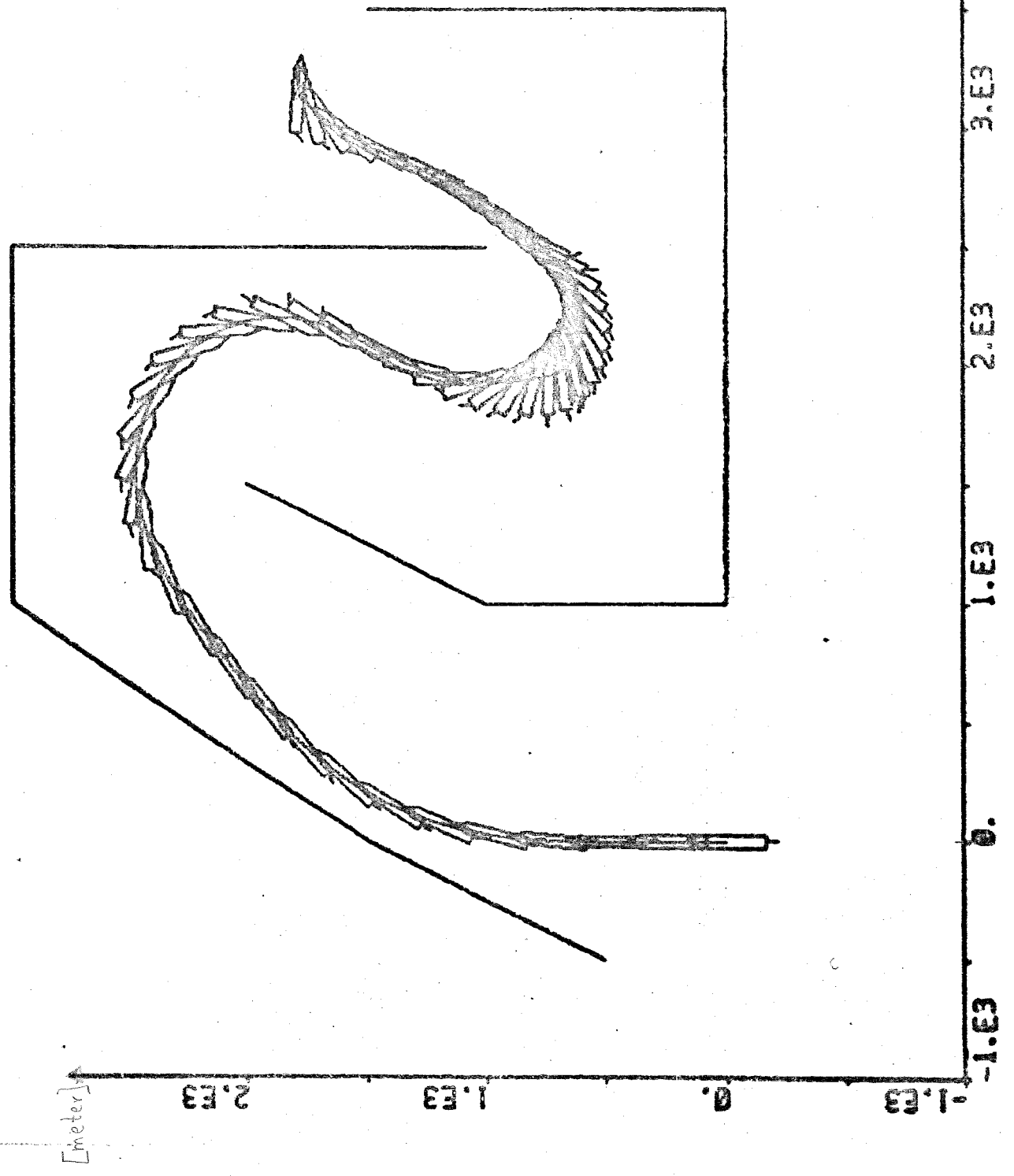
5.4 EXEMPEL

Följande sidor visar vilka bilder som växer fram vid användning av simulatorn med standardbanor.

Observera att fartygsbildens storlek är proportionell mot axelgraderingen och att bilden av rodret anter rodrets läge i det ögonblick bilden genereras.

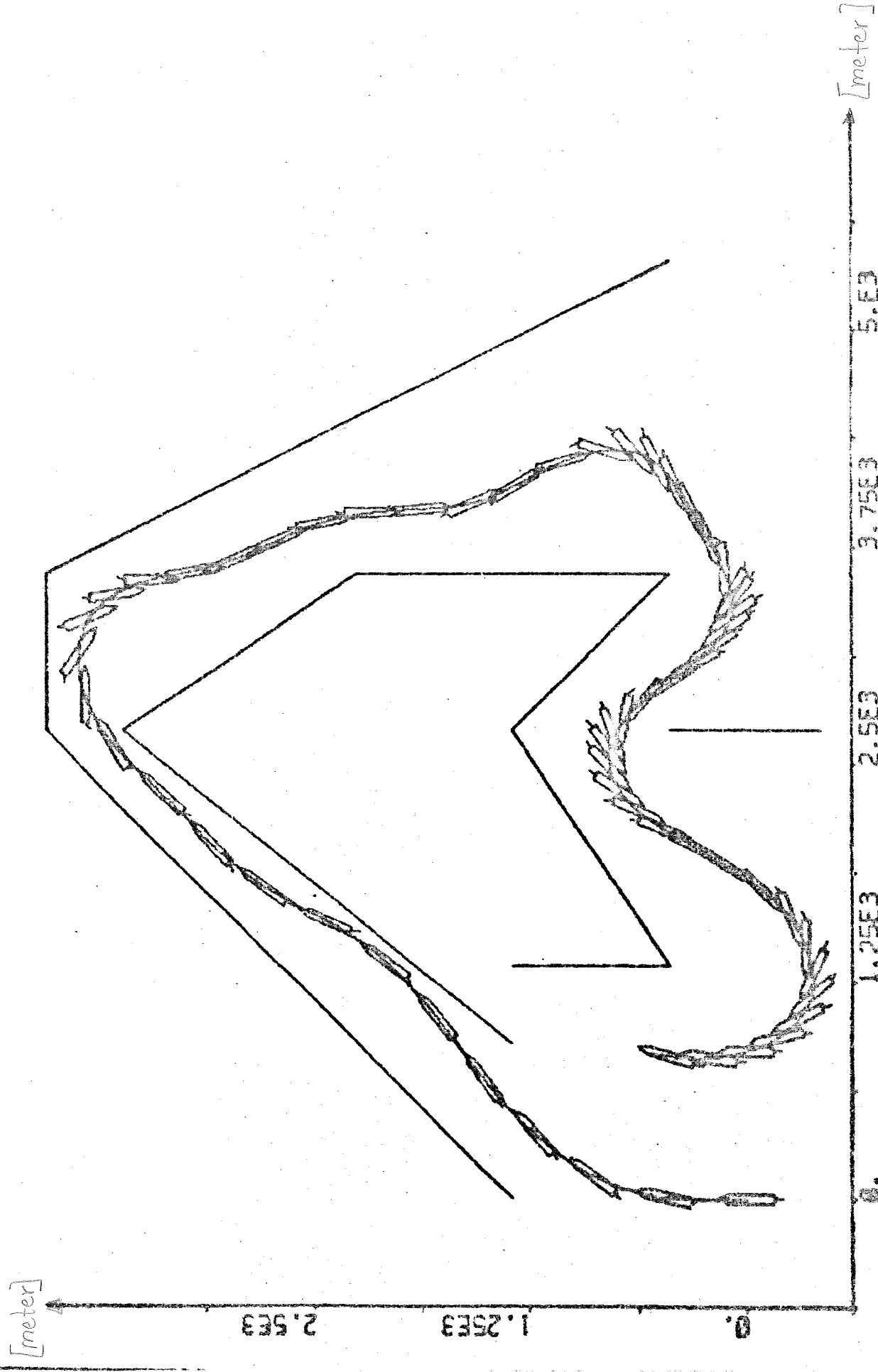
PLOT C7(C8)

BAN=1 DT[FIG]=30



PLOT C7 (CS)

BAN=2 DT [FIG] =60



6. STYRNING MED PID-REGULATOR

6.1 BESKRIVNING AV PROGRAM

Vid simulerings med PID-regulatorstyrning av fartygsmodellen användes följande program:

BOAT4	"Fartygsmodell	se appendix E
RTOT	"Totalsystem	se appendix E
REG	"Regulator	se appendix E
LOSS	"Beräknar förluster	se appendix E
NOISE och NOIS1	"Brusgenerator (standardsystem i SIMNON)	
LPF1 och LPF2	"Lågpassfilter	se appendix E

Fartygsmodellen BOAT4 är något förenklad jämfört med BOAT3. Sålunda har t ex varvtal och framåthastighet konstanta värden för att minska simulerings tiden. REG innehåller förutom en komplett diskret PID-regulator.

$$\left\{ \begin{array}{l} \delta_s(t_k) = K_1 [\psi_m(t_k) - \psi_{ref}] + K_2 r_m(t_k) + K_3 T_s \sum_{n=0}^k [\psi_m(t_n) - \psi_{ref}] \\ k = 0, 1, 2, 3, \dots \end{array} \right.$$

där T_s är samplingsintervallet,
även för anrop av STURE nödvändiga satser. Se kap. 7.
LOSS beräknar förlustfunktionen ur kursavvikelse och roderutslag, samt beräknar medelvärde och standardavvikelse av flera variabler.

6.2 KRITERIER FÖR OPTIMERING

Vi använde en förlustfunktion

$$\mathcal{V} = \frac{1}{\tau} \cdot \int_0^\tau [(\psi_m(s) - \psi_{ref})^2 + \lambda \cdot \delta_m^2(s)] ds$$

vilken vi approximerade med

$$\mathcal{V} = \frac{1}{N} \cdot \sum_{n=0}^{N-1} [(\psi_m(t_0 + n \cdot T_s) - \psi_{ref})^2 + \lambda \cdot \delta_m^2(t_0 + n \cdot T_s)]$$

där T_s är samplingsintervallet för regulatorn och $\lambda=1/8$.

I de fall då regulatorn innehåller en integrerande term användes förutom förlustfunktionen även medelvärdet av kursavvikelsen som kriterium för optimeringen, ty det är väsentligt att i medeltal hålla korrekt kurs.

6.3 BESKRIVNING AV PROVSERIEN

Samplingsintervall

Först bestämdes lämpligt samplingsintervall T_s genom att regulatorn ställdes in på standardvärdet, varefter T_s varierades. Se Fig. 6.1 och Tabell 6.1. Eftersom kortare samplingsintervall ger större slitage på rodermaskineriet, valdes $T_s=10$ s för de fortsatta undersökningarna trots att $T_s=5$ s gav något mindre värde på förlustfunktionen.

Struktur

Med samplingsintervallet 10 s enl ovan optimerades följande regulatorer med olika struktur för ett fartyg med 20 m djupgående, utsatt för hård vind.

- la P-regulator
- lb PD-regulator
- lc PD-regulator, där den uppmätta girvinkelhastigheten filtrerats enligt:

$$r_{filt}^{(t+1)} = r_{filt}^{(t)} + (b + S(t)) \cdot (r_m^{(t)} - r_{filt}^{(t)})$$

$$\text{där } S(t+1) = \frac{(1-b) \cdot S(t)}{1-b+S(t)}$$

$$S(1) = 1-b$$

$$b=0,7$$

- ld PD-regulator, där ett approximativt värde på girvinkelhastigheten beräknats enligt:

$$r_{ber} = \frac{\psi_m(t) - \psi_m(t-T_s)}{T_s}$$

le PD-regulator som i 1d, men med sämre noggrannhet i mätningen av kursern dvs
 $R_e(4,4)$ ändras från 0.0025 till 0.01.

lf Samma som 1b men även integrerande del
 lg Samma som 1c men även integrerande del
 lh Samma som 1d men även integrerande del
 li Samma som le men även integrerande del

Resultaten redovisas i tabell 6.2 och i appendix B.

6.4 OPTIMAL REGULATOR

Den optimala regulatorn, med hänsyn tagen både till förlustfunktion och kursavvikelsens medelvärde, var enligt provserien i föregående avsnitt, en PID-regulator där ett beräknat värde på girvinkelhastigheten används i stället för det uppmätta, dvs struktur enl lh.

Parametrarna i denna regulator ställdes in för olika värden på båtens djupgående (TT) och vindens styrka.

Resultaten redovisas i tabell 6.3 och i appendix B.

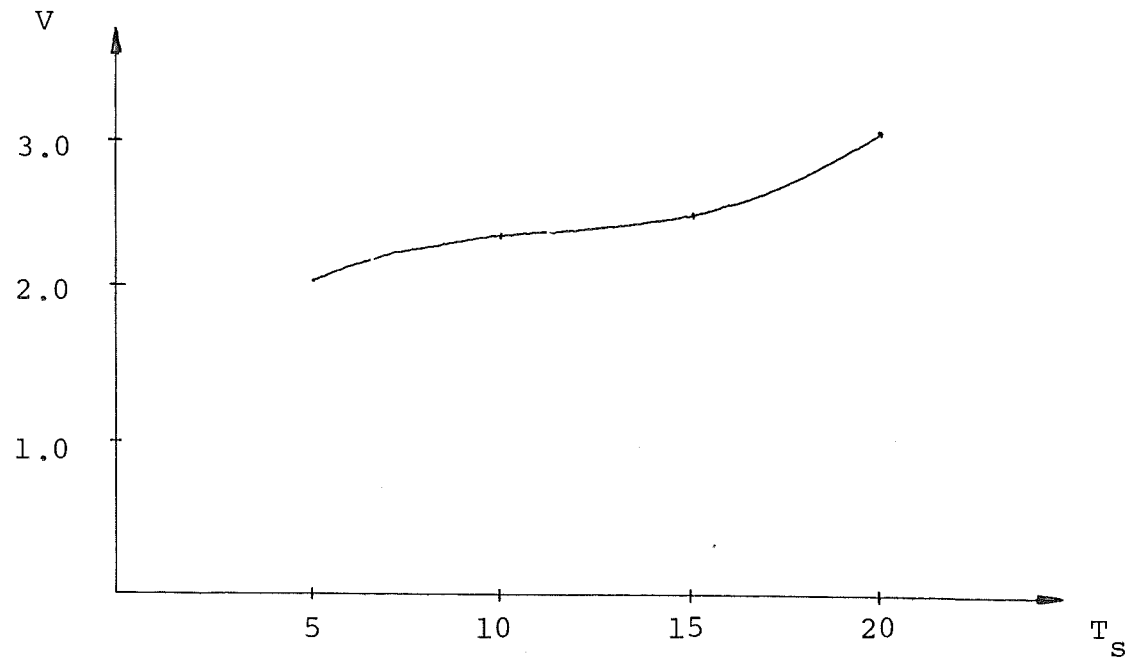


Fig. 6.1

Förlustfunktionen V som funktion av samplingsintervall T_s

T_s	V
5	2.06
10	2.40
15	2.50
20	3.02

Tabell 6.1

Tabell 6.2

Olika regulatorers optimala inställning
Simuleringstid 30 min

Bet.	Girv. hast.	Mät nogg.*	Regulator			Förl. funk. V	Kurs medel värde avv.	Roder medel värde avv
			D	I	V			
1a	uppmätt	god	5	0	0.0	2.86	0.339	1.695
1b	uppmätt	god	4	60	0.0	2.07	0.459	0.612
1c	filtrerad	god	4	70	0.0	2.11	0.461	0.600
1d	beräknad	god	4	60	0.0	2.11	0.442	0.639
1e	beräknad	dålig	4	60	0.0	2.20	0.440	0.646
1f	uppmätt	god	4	100	0.04	2.53	0.023	0.634
1g	filtrerad	god	4	100	0.04	2.53	0.022	0.647
1h	beräknad	god	4	100	0.04	2.52	0.014	0.675
1i	beräknad	dålig	4	100	0.04	2.73	0.013	0.689

$$\begin{aligned}
 * \text{ god} - R_E(4,4) &= 0.0025 \\
 \text{dålig} - R_E(4,4) &= 0.01
 \end{aligned}$$

Tabell 6.3

Den optimala PID-regulators optimala inställning
vid olika djupgående (TT) och vindstyrka

Regulator av typ lh enl föregående

Simuleringstid 30 min

Djup- gående	Vind	Regulatorer parametrar			Försl. funk.			Kurs medel värde			Röder medel värde		
		P	D	I	V	medel värde	stand avv.	medel värde	stand avv.	medel värde	stand avv.	medel värde	stand avv.
10.5 m	svag	4		20		0.02	0.427	0.00793	0.347	0.492		1.492	
10.5 m	hård	4		30		0.02	1.636	0.0213	0.658	1.084		2.917	
20 m	svag	4		80		0.02	0.581	0.0167	0.341	0.800		1.760	
20 m	hård	4		100		0.04	2.525	0.0146	0.675	1.748		3.688	
25 m	svag	4		100		0.02	0.703	0.0204	0.362	0.932		1.932	
25 m	hård	4		120		0.02	2.581	0.0504	0.638	2.055		3.639	

7. STYRNING MED ADAPTIV REGULATOR

7.1 BESKRIVNING AV DEN ADAPTIVA REGULATORN

Den använda regulatorn finns beskriven i Wittenmark (1973). Grundidén är i korthet att göra en minsta-kvadrat-estimering av parametrarna i en minimalvariansstyrslag. Följande modell används:

$$(\psi(t) - \psi_{ref}) + a_1 (\psi(t-k-1) - \psi_{ref}) + \dots + a_{NA} (\psi(t-k-NA) - \psi_{ref}) = \\ b_0 (\nabla \delta(t-k-1) + b_1 \nabla \delta(t-k-2) + \dots + b_{NB} \nabla \delta(t-k-NB-1)) + \\ c_1 r(t-k-1) + \dots + c_{NC} r(t-k-NC) + \varepsilon(t)$$

Minimalvariansstyrlagen blir då

$$\nabla_s \delta(t) = \hat{a}_1 (\psi(t) - \psi_{ref}) + \dots + \hat{a}_{NA} (\psi(t-NA+1) - \psi_{ref}) - \\ \hat{b}_1 \nabla_s \delta(t-1) - \dots - \hat{b}_{NB} \nabla_s \delta(t-NB) - \\ \hat{c}_1 r(t) - \dots - \hat{c}_{NC} r(t-NC+1)$$

där $\nabla_s \delta(t) = (\delta(t) - \delta(t-1)) b_0$ och

där r är den framkopplade girvinkelhastigheten.

$\hat{a}_1, \dots, \hat{a}_{NA}$, $\hat{b}_1, \dots, \hat{b}_{NB}$, $\hat{c}_1, \dots, \hat{c}_{NC}$ är estimerade värden av
 a_1, \dots, a_{NA} , b_1, \dots, b_{NB} , c_1, \dots, c_{NC} .

Då minimalvariansstyrlagen endast minimerar kursfelet i kvadrat, kan roderutslagen bli alltför stora. Detta kan avhjälpas genom att införa några extra tidsfördröjningar k i regulatorn.

7.2 BESKRIVNING AV PROGRAM

Samma program REG används vid simulering med självinställaren som med PID-regulatorn. Vilken regulator som används bestäms av en switch som man själv bestämmer värde på innan simuleringen börjar. Kursen och girvinkelhastigheten lägges i bestämda element i en vektor kallad DAT och man får ut roder-

signalen i ett annat element i samma vektor. Detta sker genom att anrop till subrutinen STURE. Denna får all information om kurser, framkopplingstermer, parametrar, P-matris för minstakvadrat identifiering och självinställarens struktur via namn-anrop.

Rodersignalinkrementet förs tillbaka till huvudprogrammet REG, där det adderas till föregående rodersignal. Här sätter vi också in en begränsning på 20 grader. I praktiken styr man nogärna ut rodret mer än till denna vinkel vid full fart ty materialpåkänningarna skulle bli för höga och slitaget på rodermaskineriet bli för stort.

För övrigt hänvisas till appendix E.

7.3 KRITERIER FÖR OPTIMERING

Samma förlustfunktion V som vid PID-regulering används.

$$V = \frac{1}{N} \sum_{n=0}^{N-1} \left[(\psi_m(t_o + nT_s) - \psi_{ref})^2 + \lambda \delta_m^2(t_o + nT_s) \right]$$

Medelvärdet på kurser hålls i alla simuleringar inom tillåtna gränser dvs 0.04-0.07 grader. Dessa gränser har erhållits under långtidstest 10000 sekunder (3 timmar). För att utvärdera styrningen ses främst på förlustfunktionen men intressanta storheter är även standardavvikelse för kurs och rodersignal.

7.4 BESKRIVNING AV STRUKTURVARIABLER OCH PROVSERIER

Den adaptiva regulatorn anpassar själv parametrar för optimal styrning av fartyget. Det återstår dock flera parametrar. Dessa måste förutbestämmas, t ex antalet A,B,C-parametrar, samplingsintervall och tidsfördröjningar. Då systemet är olinjärt, framtages strukturen på regulatorn bäst genom så verkligetstroga simuleringar som möjligt.

Dessa har utförts med användandet av programpaketet SIMNON be-

skriven i H. Elmquist (1975).

Båtmodell, regulator och reglersignaler visas i nedanstående figur 7.1

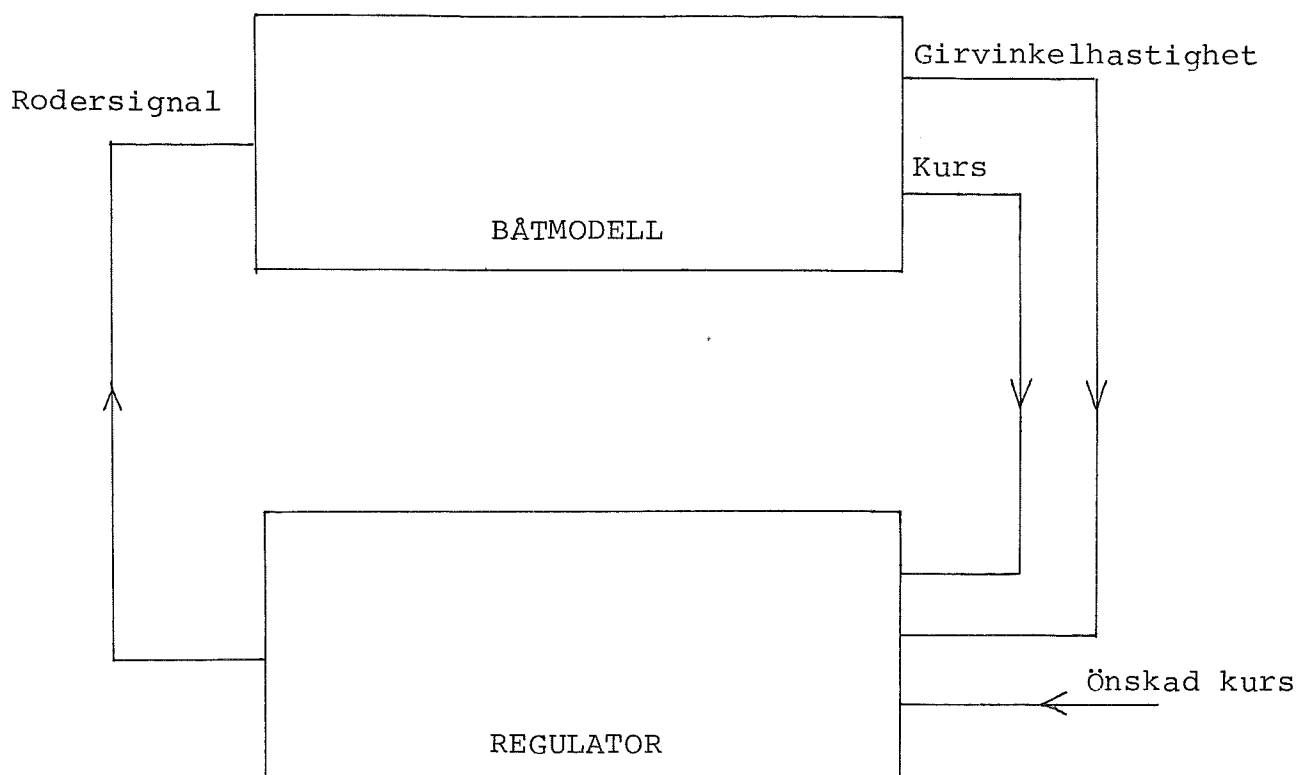


Fig. 7.1

Utöver ovannämnda parametrar, som måste förutbestämmas, finns det en exponentiell glömskefaktor och en skalfaktor, parametrar som indikerar huruvilda vi vill ha filtrering och differenssignaler. Här följer en sammanfattning över nödvändiga parametrar.

NA	antal A-parametrar
NB	" B "
NC	" C "
IRDIF	{ 0 ej differenssignaler på framkopplingen 1 differenssignaler
FIL	{ 1 ej filtrering 2 filtrering 3 derivering av kurs som ger girvinkelhastigheten

K	antal tidsfördröjningar
T _s	samplingsintervall
λ	exponentiell glömskefaktor vid processidentifiering
BO	skalfaktor

Transponera denna kolonnvektor så får strukturvektorn
 $S = (NA, NB, NC, IRDIF, FIL, K, Ts, \lambda, BO)$. Detta för att underlätta
framställningen nedan.

Sökandet efter en optimal kombination kan liknas vid en teknologs vandring i tät dimma utför ett berg i nio dimensioner (9 st parametrar) ivrigt sökande efter lägsta punkten. Se fig. 7.2.

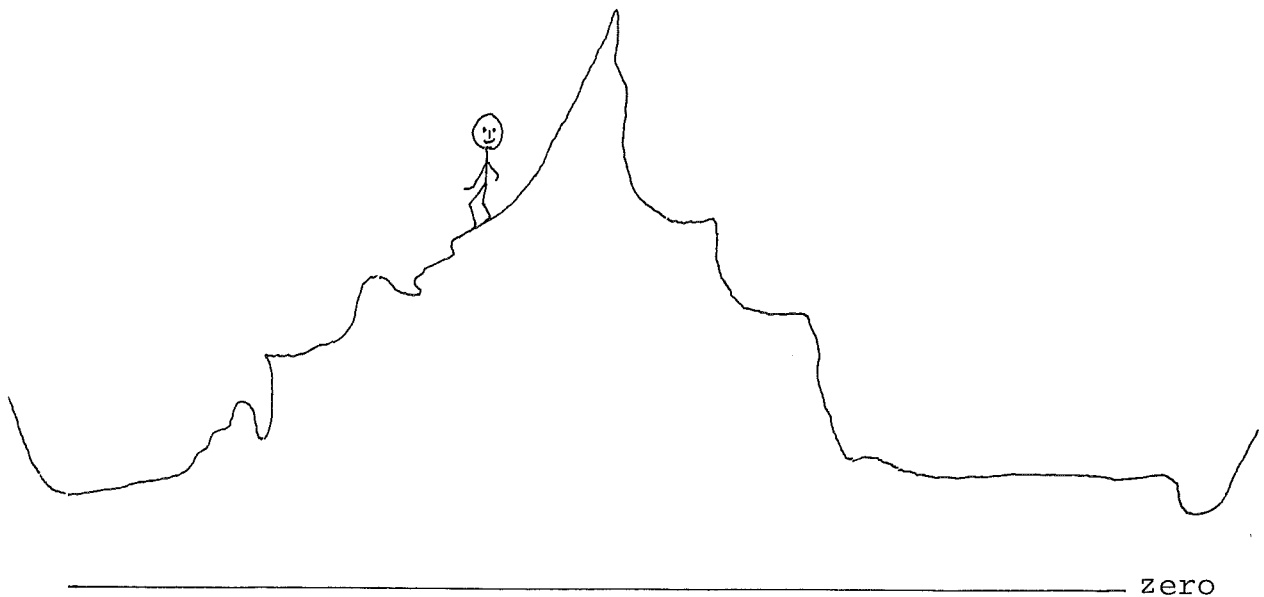


Fig. 7.2

De parametrar som estimeras av regulatorn är NA st A-parametrar, NB st B-parametrar och NC st C-parametrar. Till dessa är knutna en symmetrisk P-matris av ordning $(NA+NB+NC) \times (NA+NB+NC)$, som anger osäkerheten i parametrarna.

För att ha någonstans att börja gissar vi en startstruktur $S_{start} = (3, 2, 3, 0, 1, 2, 10, 0.99, -1)$. Vid alla simuleringars början sättes P-matrisen lika med $100 \cdot I$, där I är enhetsmatrisen. Detta får till följd att parametervärdena svänger relativt snabbt i början, vilket är önskvärt för att få hög konvergenshastighet. A,B,C-parametrarna sättes lika med noll, vilket kan tolkas som att regulatorn inte vet någonting om den processen skall reglera.

Mätbruset och regulatorn sampas samtidigt vilket medför att regulatorn får samma sekvens brussignalen oberoende av samlingsintervall.

Vi startar med alla tillstånden lika med noll utom varvtal och fart framåt som sättes till 77 rpm resp 16 knop (full fart). Djupgåendet är i standardfallet 20 meter (motsvarar fullt lastad båt) och båten seglar slör för styrbords halsar i hård vind (16-19 m/s). Se fig. 7.3.

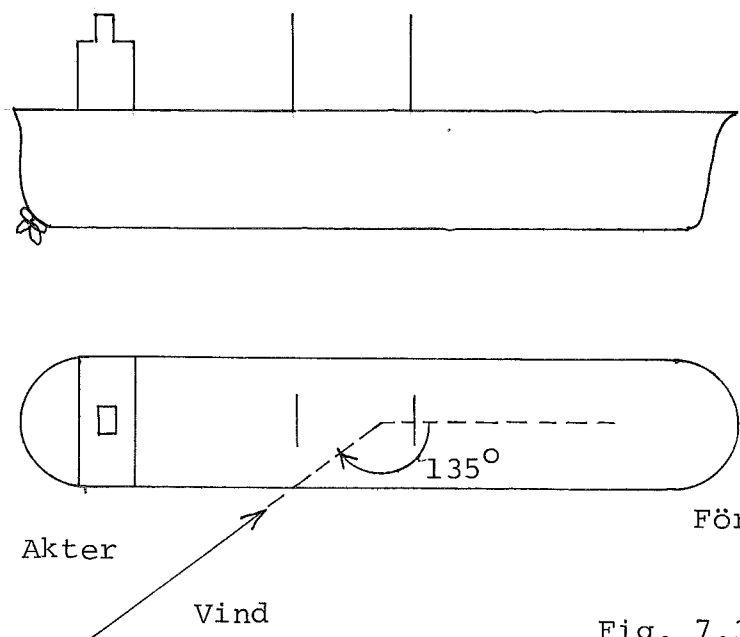


Fig. 7.3

Simuleringarna körs 1000 sek varefter vi startar om igen från början dock med nya parametervärden och ny P-matris. Denna procedur upprepas två gånger till. Sammanlagt köres alla test i 3000 sek där alla delkörningar har exakt samma brus. Alla test kan därför jämföras med varandra. Dock krävs försiktighet vid jämförelse mellan test av olika samlingsintervall. Vid $T_s = 15$ och 20 sekunder är konvergenshastigheten något lägre varför parametrarna ej hunnit växa upp till full storlek på 3000 sek och dessa har därför givit för små rodersignaler. Detta har medfört att förlustfunktionen blivit något mindre än den borde. Detsamma gäller för simuleringarna utan framkoppling men alla dessa kan alltid jämföras sinsemellan.

Under simuleringens gång beräknar vi en förlustfunktion, som nollställs vid varje simuleringens början. Denna funktion visar alltså kvalitén på regleringen, ju lägre ju bättre. Förlustfunktionen hinner dock ej konvergera på 1000 sek även om para-

metrarna är injusterade. Efter 1000 sek befinner den sig i en svacka men alla 3×1000 sek testen kan jämföras med varandra med undantag av ovan sagda.

Bestämning av K, T_s, λ, BO går till på följande sätt.

1) Bestämning av antalet tidsfördröjningar K .

Båtmodellen har ej några tidsfördröjningar men då systemet är olinjärt måste vi införa fiktiva tidsfördröjningar i regulatorn. Regulatorn vill slå ned reglerfelet på ett samplingsintervall t ex 10 sek om $K=0$, vilket medför enorma rodersignaler och initierar självsvängningar i båtens rörelser. För att uppnå moderata rodersignaler ökas värdet på K .

2) Bestämning av samplingsintervallet T_s .

T_s sättes till 5, 10 och 15 sekunder och K varieras på så sätt att dead-beat tiden $DB=(K+1)=\text{konst}$.

3) Bestämning av exponentiell glömskefaktor.

Man vill att regulatorn skall "komma ihåg" vind-, last- och andra avgörande förhållanden till $1/10$ efter 20-30 min. Vid $T_s=10\text{s}$ måste därför λ vara större än 0.98. Regulatorn minns då i 19 minuter.

4) Bestämning av skalfaktor BO .

Simuleringar körs med $BO = -0.1, -1, -10$. Minutecknet härrör från teckenkonventionen negativt roderutslag för att få positiv kurs.

Resultatet från dessa bestämningar finns på följande sidor.

$\sigma(\psi)$ = Standardavvikelse på kurserna utan mätbrus

$\sigma(\delta_s)$ = Standardavvikelse på rodernas signaler

V = Förlustfunktionen

Bästa regulatorn är hitintills $(3, 2, 3, 0, 1, 6, 10, 0.98, -1)$.

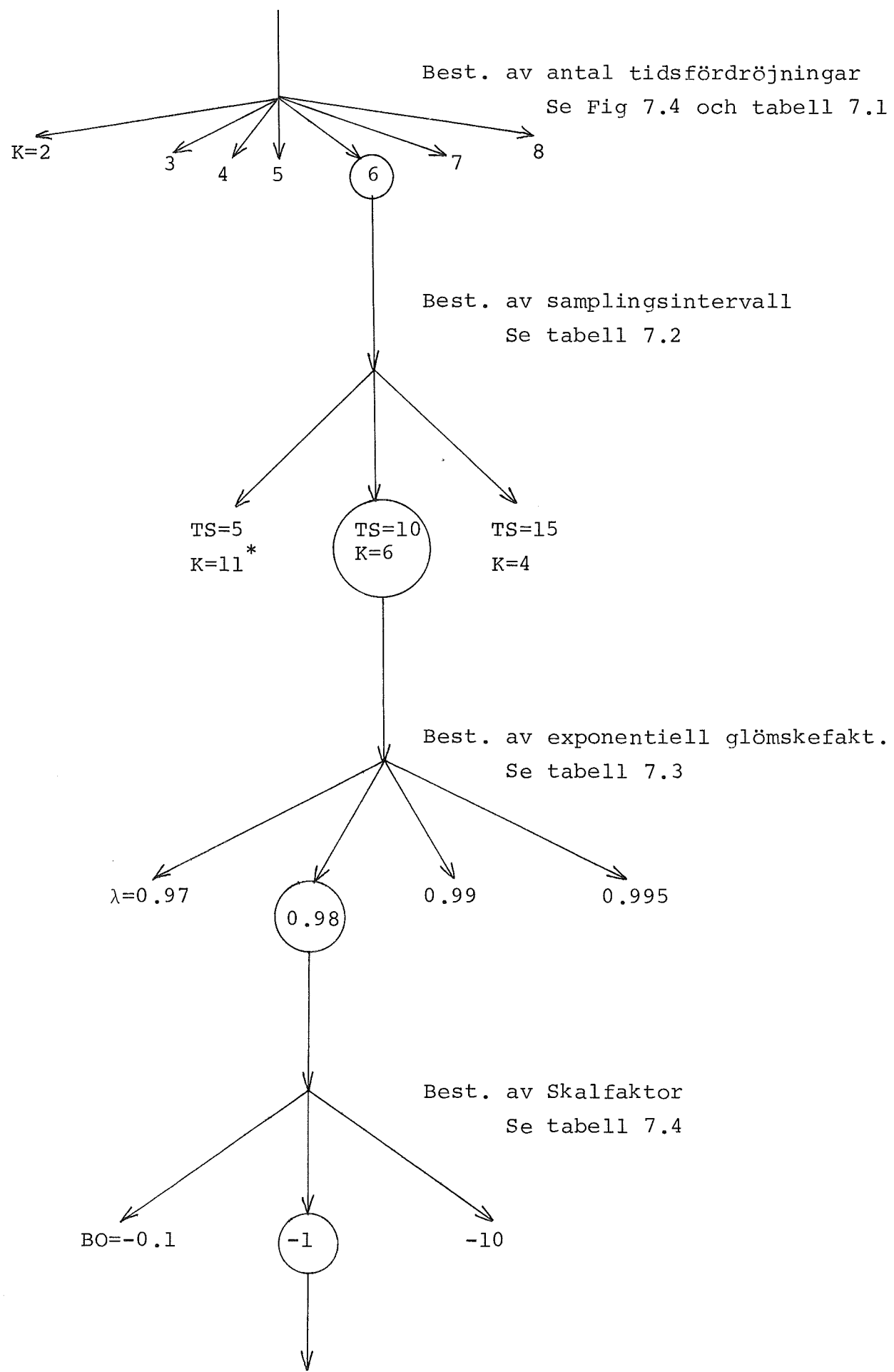
Ett schema över tillvägagångssättet visas på nästa sida.

Tabell 7.1 visar testkörningen.

Fig. 7.4 underlättar utvärderingen av testen.

$$S_{start} = (3, 2, 3, 0, 1, 2, 10, 0.99, -1)$$

41



* K skulle egentligen vara 13 men begränsningar i subrutinen STURE maximerar i detta fall K till 11.

$$S = (3, 2, 3, 0, 1, 6, 10, 0.98, -1)$$

Tabell 7.1

K	$\sigma(\psi)$	$\sigma(\delta_s)$	V	(3,2,3,0,1,x,10,0.99,-1)
2	0.77	10.22	12.78	
3	0.741	5.57	4.42	
4	0.555	5.11	3.28	
5	0.567	4.45	2.84	
6	0.526	4.31	2.63	
7	0.483	4.56	2.76	
8	0.626	4.46	2.79	

Tabell 7.2

K	T _s	$\sigma(\psi)$	$\sigma(\delta_s)$	V	(3,2,3,0,1,x,x,0.99,-1)
11	5	0.45	5.63	3.69	
6	10	0.526	4.31	2.63	
4	15	1.036	4.57	3.73	

Tabell 7.3

λ	$\sigma(\psi)$	$\sigma(\delta_s)$	V	(3,2,3,0,1,6,10,x,-1)
0.98	0.530	4.13	2.44	
0.99	0.526	4.31	2.63	
0.995	0.53	4.36	2.70	
0.97	0.52	4.15	2.44	

Tabell 7.4

BO	$\sigma(\psi)$	$\sigma(\delta_s)$	V	(3,2,3,0,1,6,10,0.98,x)
-0.1	0.689	13.2	12.97	
-1.0	0.530	4.13	2.44	
-10.0	0.962	5.46	4.76	

Vi vill nu bestämma strukturen på framkopplingen och har att välja på att använda girvinkelhastigheten direkt eller differenser på girvinkelhastigheten mellan samplingarna. För att få jämförbara test, tages en (1 st) mindre framkopplingsterm i fallet differenser. Vi testar alltså (3,2,3,0,---) mot (3,2,2,1,---) och finner en mycket liten minskning av förlustfunktionen varför vi väljer att i fortsättningen arbeta med differenser. Resultatet återfinns i tabell 7.5.

Vidare undersöker vi hur en filtrering av girvinkelhastigheten inverkar på förlustfunktionen. Filtret består av beräkning av glidande medelvärde med glömskefaktor lika med (1-B). Försöken visar att en mycket liten förbättring erhålls vid filtrering med $B=0.9$, som betyder mycket liten filtrering av den ursprungliga signalen. I fortsättningen blundar vi för detta faktum och använder inga filtrerade signaler vid regleringen. Resultatet återfinnes i tabell 7.6.

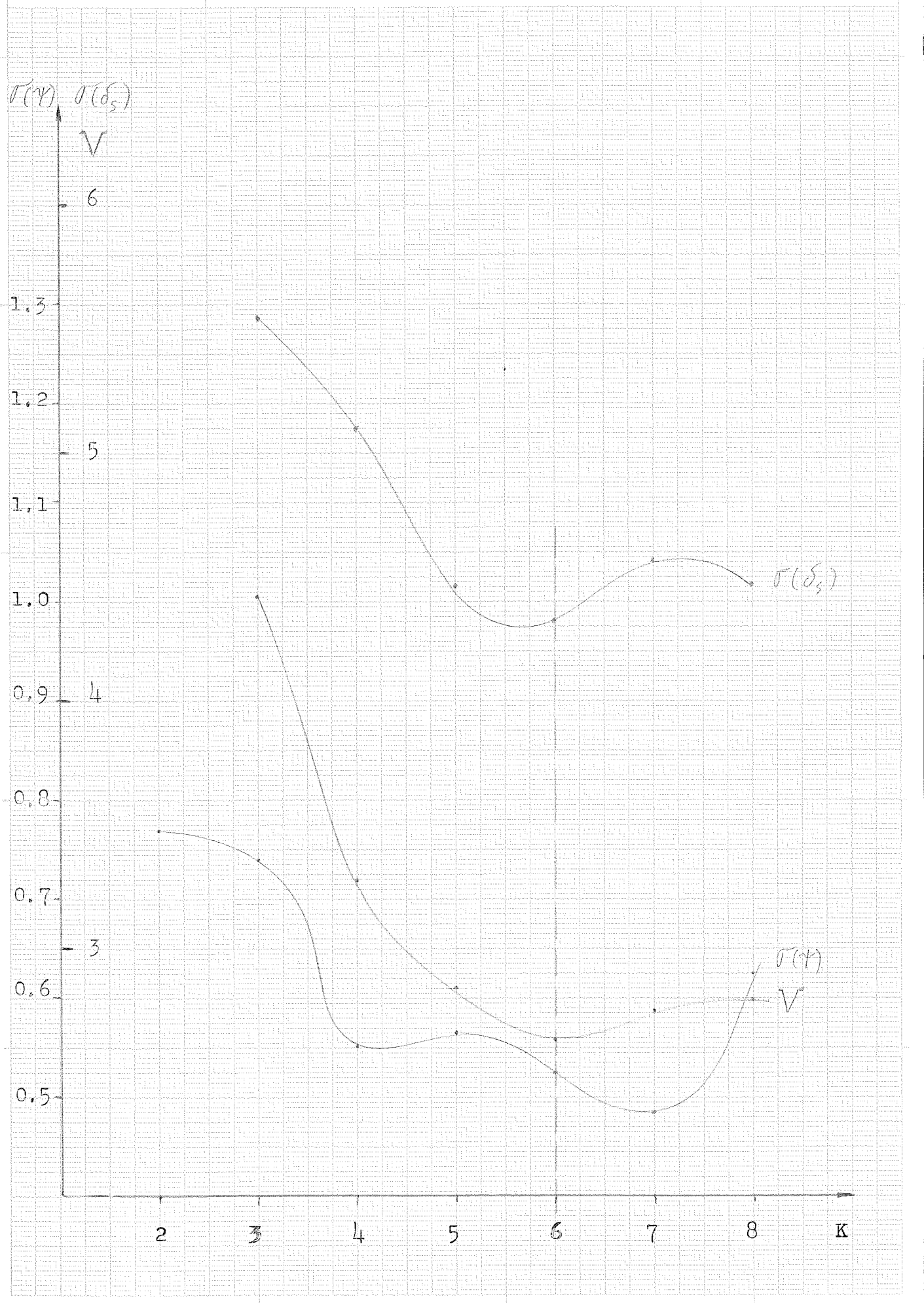
Vi testar också självinställaren med beräknad girvinkelhastighet ur kurser. Derivatan av kurser blir ju girvinkelhastigheten. Kurserna har ju relativt liten varians och en derivering bör ge bra resultat vilket framgår av tabell 7.7. Låter man kurserna ha större varians (sämre mätapparatur) får naturligtvis sämre reglering. Resultatet finns i tabell 7.7.

Tabell 7.5

(3,2,x,x,1,6,10,0.98,-1)

NA	NB	NC	IRDIF	$\sigma(\psi)$	$\sigma(\delta_s)$	V
3	2	3	0	0.53	4.13	2.44
3	2	2	1	0.51	4.17	2.41

Figur 7.4



Tabell 7.6

(3,2,2,1,x,6,10,0.98,-1)

FIL	B	$\sigma(\psi)$	$\sigma(\delta_s)$	V
1	-	0.51	4.17	2.41
2	0.7	0.53	4.11	2.45
2	0.8	0.52	4.08	2.40
2	0.9	0.51	4.10	2.38
2	0.95	0.51	4.13	2.39

Tabell 7.7

(3,2,2,1,x,6,10,0.98,-1)

FIL	B	$\sigma(\psi)$	$\sigma(\delta_s)$	V
3	-	0.58	4.16	2.53
*	-	0.68	5.64	4.10

* Stort mätbrus på kursen: $Re(4,4)=0.01 \text{ grad}^2$

Vi har alltså kommit fram till strukturen (3,2,2,1,1,6,10,0.98,-1). Nu återstår bestämning av antalet NA,NB,NC-parametrar. Vi ser av resultatet på nästa sida att detta inte är kritiskt för regleringen. Tilläggas kan att de fall där NA=4 visar genomgående större förluster än övriga. Detta beror på att en A-parameter är överflödig. Simulerar vi under längre tid, bör 4:e parametern bli relativt liten så att den inte bidrar till rodersignalen. Dessa fall kommer då att likna de fall då NA=3. Vi ser att strukturen (3,1,1,1,1,6,10,0.98,-1) är bättre än den hittills optimala. Resultatet visas i tabell 7.8.

Vi börjar nu om igen och undersöker om K och T_s är optimala även för denna struktur. Resultatet av dessa test återfinns i tabell 7.9 och 7.10.

Av tabell 7.8 ser vi att (3,1,1,---) och (3,2,2,---) är ganska lika varandra varför vi även här testar om K och T_s . Resultatet finns i tabell 7.11 och 7.12.

Tabell 7.8

(x,x,x,1,1,6,10,0.98,-1)

NA	NB	NC	$\sigma(\psi)$	$\sigma(\delta_s)$	V	
2	1	1	0.58	4.30	2.67	
2	1	2	0.55	4.23	2.58	
3	2	1	0.50	4.18	2.41	
3	2	2	0.51	4.17	2.41	
3	2	3	0.54	4.98	3.27	
3	1	1	0.54	4.04	2.37	
4	3	3	0.54	5.04	3.23	
4	3	4	0.60	5.52	3.85	
4	2	2	0.50	5.90	4.36	
4	1	1	0.58	6.41	5.16	
3	1	2	0.67	4.70	3.24	IRDIF=0
3	1	1	0.53	4.08	2.40	FIL=2 B=0.9

Tabell 7.9

(3,1,1,1,1,x,10,0.98,-1)

K	$\sigma(\psi)$	$\sigma(\delta_s)$	V
5	0.49	4.97	3.30
6	0.54	4.04	2.37
7	0.46	4.74	2.94
8	0.51	5.86	4.43

Tabell 7.10

(3,1,1,1,1,x,x,0.98,-1)

K	T _s	$\sigma(\psi)$	$\sigma(\delta_s)$	V
6	10	0.54	4.04	2.37
4	15	0.80	5.04	3.65
3	20	0.81	4.64	3.47
5	15	0.57	4.25	2.68
4	20	0.69	4.15	2.79
6	15	0.61	4.87	3.37
5	20	0.69	4.75	3.43

Tabell 7.11 (3,2,2,1,1,x,10,0.98,-1)

K	$\sigma(\psi)$	$\sigma(\delta_s)$	V
5	0.54	4.19	2.57
6	0.51	4.17	2.41
7	0.46	4.87	3.06

Tabell 7.12 (3,2,2,1,1,x,x,0.98,-1)

K	T _s	$\sigma(\psi)$	$\sigma(\delta_s)$	V
4	15	0.86	4.33	3.16
3	20	0.89	5.72	4.87
3	15	0.60	4.50	3.01
2	20	0.95	6.78	6.50
5	15	0.56	4.35	2.76
4	20	1.12	4.59	4.02

Vi har också tagit fram optimal struktur på den adaptiva regulatorn där framkopplingen har slopats. I teorin tillkommer egentligen inte mer information om systemet vid framkoppling eftersom denna kan beräknas ur kursern. Informationen blir möjligens något säkrare. I tabellerna 7.13, 7.14 och 7.15 ses resultatet av dessa test.

I tabell 7.16 ges resultatet där framkopplingstermen beräknas ur kursern.

Tabell 7.13 (x,x,0,0,1,6,10,0.98,-1)

NA	NB	NC	$\sigma(\psi)$	$\sigma(\delta_s)$	V
2	1	0	0.85	5.08	4.00
3	2	0	0.59	4.13	2.50
4	3	0	0.56	5.30	3.75
5	4	0	0.70	5.30	3.95
3	1	0	0.58	4.27	2.59

Tabell 7.14

(3,2,0,0,1,x,10,0.98,-1)

K	$\sigma(\psi)$	$\sigma(\delta_s)$	V
5	0.58	4.42	2.81
6	0.59	4.13	2.50
7	0.47	5.04	3.24
10	0.55	4.43	2.74
12	0.75	7.80	7.93
9	0.56	4.56	2.92

Tabell 7.15

(3,2,0,0,1,x,x,0.98,-1)

K	T _s	$\sigma(\psi)$	$\sigma(\delta_s)$	V
6	10	0.59	4.13	2.50
4	15	0.93	4.13	3.12
5	15	0.59	4.64	3.07

Tabell 7.16

(x,x,x,1,3,6,10,0.98,-1)

NA	NB	NC	$\sigma(\psi)$	$\sigma(\delta_s)$	V
3	2	1	0.59	4.13	2.50
3	2	2	0.58	4.16	2.53
3	1	1	0.58	4.27	2.59

7.5 OPTIMAL OCH SUBOPTIMAL REGULATOR

Optimal regulator är alltså (3,1,1,1,1,6,10,0.98,-1). Då mätapparaturen för girvinkelhastigheten har en relativt hög kostnad, har även suboptimal regulator utan framkoppling tagits fram. Denna är (3,2,0,0,1,6,10,0.98,-1).

Vi simulerar nu olika lastfall och vindstyrkor och beräknar standardavvikelse och medelvärde för kursfelet och rodernsignalen. Dessutom beräknas förlustfunktionen.

Ovanstående två regulatorer har före dessa standardtest simulerats under långtidstest om 10000 sekunder (ca 3 timmar) för att parametrarna skall ha ställt in sig. Under långtidstestet var vinden hård och djupgåendet 20 meter.

Vi har också tagit fram en regulator som beräknar girvinkelhastigheten ur kursern. Denna regulator är $(3,2,1,1,3,6,10,0.98,-1)$.

Dessa simuleringsar med adaptiv regulator finns i appendix C och i tabell 7.17 och 7.18. I tabell 7.19 ges estimerade parametrar för optimal och suboptimal regulator vid olika vind- och lastförhållanden.

Tabell 7.19 Estimerade parametrar för adaptiv regulator.

Optimal regulator: $a_1 \ a_2 \ a_3 \ b_1 \ c_1$

10.5	m	svag	-19.32	+30.18	-11.47	0.2673
"		hård	-19.37	+30.12	-11.38	0.2723
20	m	svag	-19.20	+30.35	-11.42	0.2682
"		hård	-19.27	+30.51	-11.52	0.2660
25	m	svag	-19.34	+30.66	-11.44	0.2672
"		hård	-19.54	+31.09	-11.66	0.2610
						68.43
						68.30
						68.12
						68.94
						68.27
						69.76

Suboptimal regulator: $a_1 \ a_2 \ a_3 \ b_1 \ b_2$

10.5	m	svag	-22.42	+37.51	-15.48	$7.97 \cdot 10^{-3}$
"		hård	-22.54	+37.44	-15.30	$18.12 \cdot 10^{-3}$
20	m	svag	-22.10	+37.47	-15.52	$0.98 \cdot 10^{-3}$
"		hård	-22.19	+37.69	-15.68	$1.07 \cdot 10^{-3}$
25	m	svag	-22.20	+37.77	-15.60	$-2.18 \cdot 10^{-3}$
"		hård	-22.54	+38.45	-15.96	$-6.38 \cdot 10^{-3}$
						0.1443
						0.1443
						0.1435
						0.1426
						0.1447
						0.1461

Tabel 1 7.17

En jämförelse mellan adaptiv regulator och PID-regulator.
 Simuleringstid före prov med adaptiv regulator: 10 000 sek
 Simuleringstid 30 min/prov

Djupg.	Vind	Regulator	Förl.	Kurs	Röder
			funk. V	medel värde	medel värde
			stand. avv.	stand. avv.	stand. avv.
10.5 m	svag	AD(311---)	0.92	0.01	0.52
10.5 m	svag	AD(320---)	1.11	0.01	0.50
10.5 m	svag	PID(4, 0.02, 20)	0.43	0.01	0.50
10.5 m	hård	AD(311---)	2.69	0.01	0.39
10.5 m	hård	AD(320---)	3.83	0.03	0.42
10.5 m	hård	PID(4, 0.02, 30)	1.64	0.02	0.66
20 m	svag	AD(311---)	0.95	0.01	0.24
20 m	svag	AD(320---)	0.92	0.02	0.23
20 m	svag	PID(4, 0.02, 80)	0.58	0.02	0.34
20 m	hård	AD(311---)	2.78	0.01	0.45
20 m	hård	AD(320---)	3.21	0.05	0.47
20 m	hård	PID(4, 0.04, 100)	2.53	0.01	0.67
25 m	svag	AD(311---)	1.02	0.01	0.26
25 m	svag	AD(320---)	0.91	0.02	0.25
25 m	svag	PID(4, 0.02, 100)	0.70	0.02	0.36
25 m	hård	AD(311---)	3.03	0.01	0.48
25 m	hård	AD(320---)	3.31	0.06	0.50
25 m	hård	PID(4, 0.02, 120)	2.58	0.05	0.64

Tabel 7.18

Simuleringsunder speciella förhållanden.

Simuleringstid 30 min. Djupgående 20 m. Hård vind.

Regulator	Förl. funk. V	Kurs medel värde avv.	Röder medel värde avv.
roder 5°			
Bias: girv.hast. 0.05°/s	AD(311---)	3.07	-0.1 0.50
Dito	AD(320---)	3.38	-0.1 0.49
Dito	PID(4,0.04,100)	2.76	-0.05 0.73
$R_E(4,4)=0.01$	AD(311---)	3.23	0.01 0.46
$R_E(4,4)=0.01$	AD(320---)	3.81	0.05 0.48
$R_E(4,4)=0.01$	AD(321---)	3.68	0.05 0.64
	AD(321---)	3.26	0.05 0.64
Sampningsintervall $T_s=20$ sek	AD(311---)	8.16	0.1 0.53
			1.78 7.94

8 SLUTSATSER

Våra simuleringar visade att en omsorgsfullt inställd PID-regulator genomgående gav lägre värde på förlustfunktionen än den typ av adaptiv regulator som vi studerade. PID-regulatorns inställning måste dock ändras så fort som vädret ändras, för att fortfarande vara den bättre av de båda. Dessutom kan den adaptiva regulatorn modifieras till att ta hänsyn till roderutslaget också i stället för att endast minima variansen på kursavvikelsen. Detta skulle emellertid kräva större minnesutrymme i datorn för regulatorn.

Den adaptiva regulator som vi studerat höll genomgående kurssen bättre än PID-regulatorn, men gav större roderutslag. Om konstanten λ i förlustfunktionen inte ges värdet $1/8$ som i våra simuleringar, utan ett mindre värde, skulle den adaptativa regulatorn hävda sig bättre. Vilket värde som är det lämpligaste för tankfartyg är inte helt klart, men $\lambda=1/12$ finns t ex föreslaget.

9 REFERENSER

- Elmqvist, H. (1975), "SIMNON - An interactive simulation program for nonlinear systems - Users guide." Division of Automatic Control, Lund Institute of Technology.
- Norrbin, N.H. (1971) "Theory and Observations on the use of a Mathematical Model for Ship Manoeuvring in Deep and Confined waters." Report no. 68. Swedish State Shipbuilding Experimental Tank, Gothenburg, Sweden.
- Wittenmark, B. (1973) "A Self-tuning Regulator." Report no. 7311. Division of Automatic Control, Lund Institute of Technology.
- Åström, K.J. and Källström, C. (1973) "Application of System Identification Techniques to the Determination of Ship Dynamics." Proc. 3rd IFAC symp. on Identification and System Parameter Estimation, the Hague/Delft, the Netherlands.

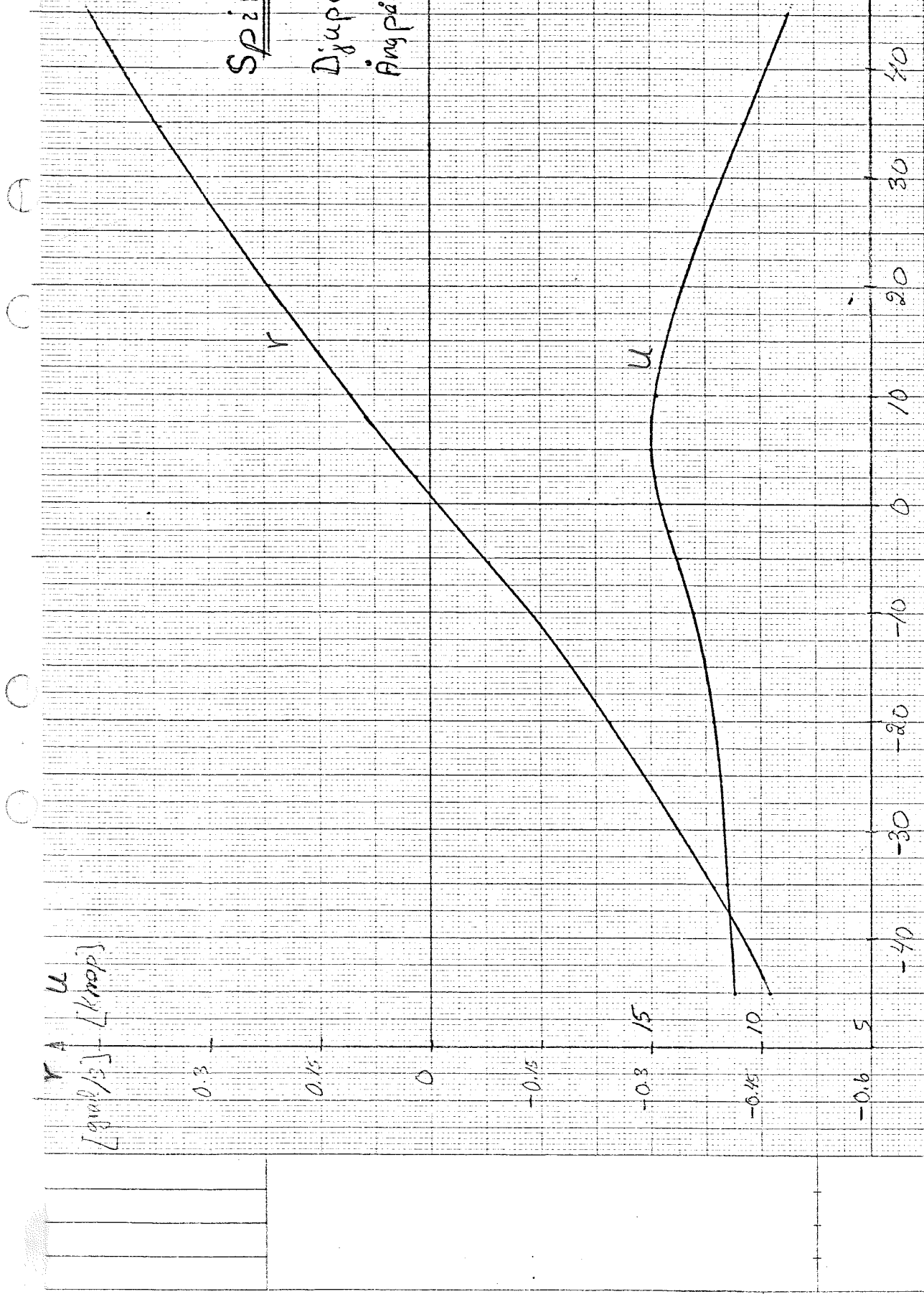
APPENDIX A

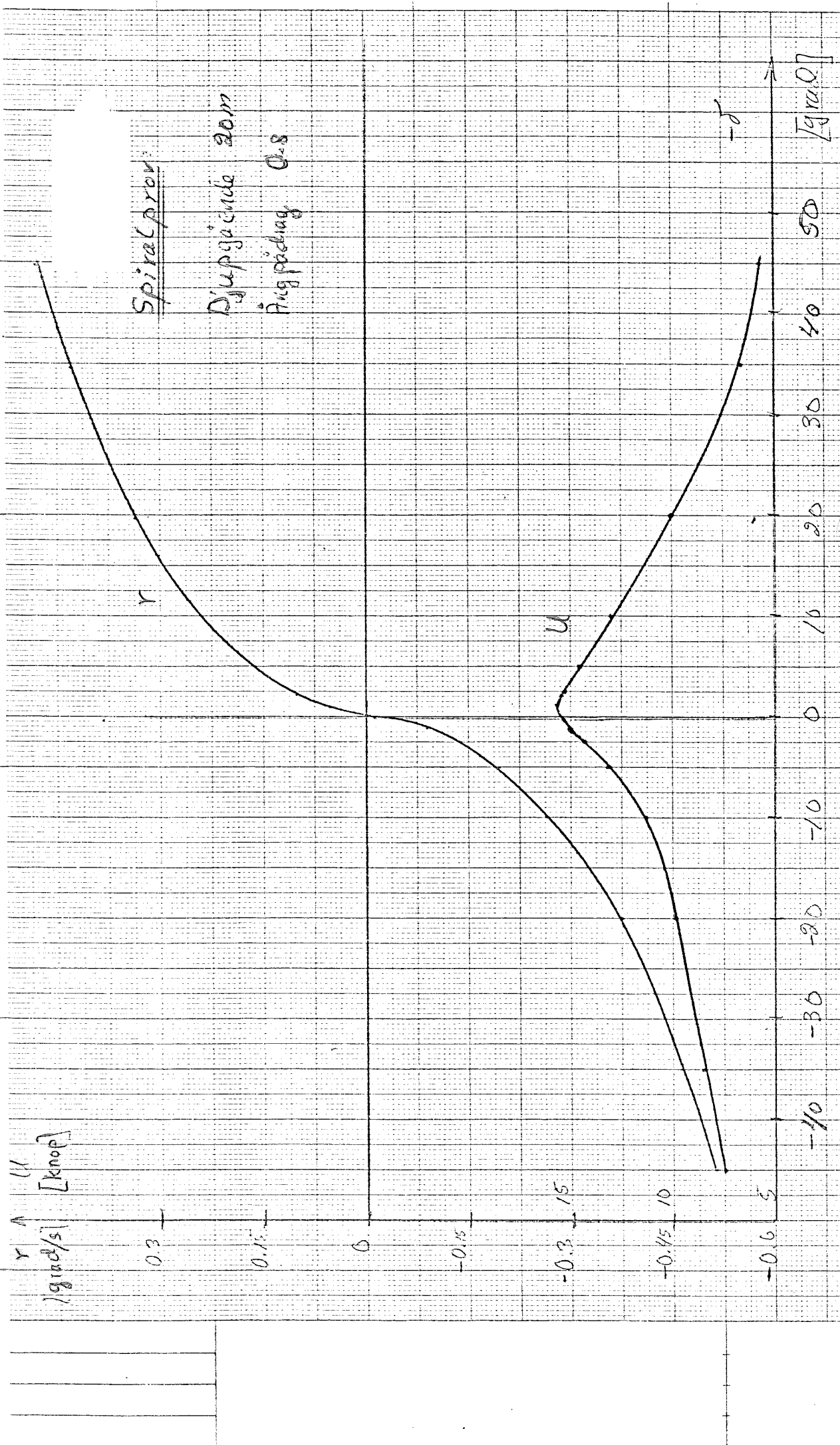
Standardprov

Spiralprov	Djupgående	10.5m	A2
"	"	20 m	A3
"	"	25 m	A4
"	"	20 m	verklig båt
Cirkelprov 35°	"	10.5m	A6
"	"	20 m	A8
"	"	25 m	A10
"	"	10.5m	verklig båt
"	"	20 m	verklig båt
Zig-zag-prov $10^\circ/10^\circ$	"	10.5m	A14
"	"	20 m	A16
"	"	25 m	A18
"	"	20 m	verklig båt
Zig-zag-prov $20^\circ/20^\circ$	"	20 m	A21
"	"	20 m	verklig båt
Impulssvar 20°	"	10.5m	A24
"	"	20 m	A25
"	"	25 m	A26
Crash-stop-prov	"	20 m	A27
"	"	20 m	verklig båt
			A28

Spiral prov:

Djupgående 10.5 m
Äng på rág Ø 8





[Knop]

-5

0 5 10 20 30 35 40 45

-0.6

-0.5 10

-0.3 15

-0.15

0

0.1

0.2

[Knop]

Spindeldreh-

Drehgeschwindigkeit

Ringbeschleunigung

n

Djupgående 20 m

SB %sec. 0.5

Port 30° 20

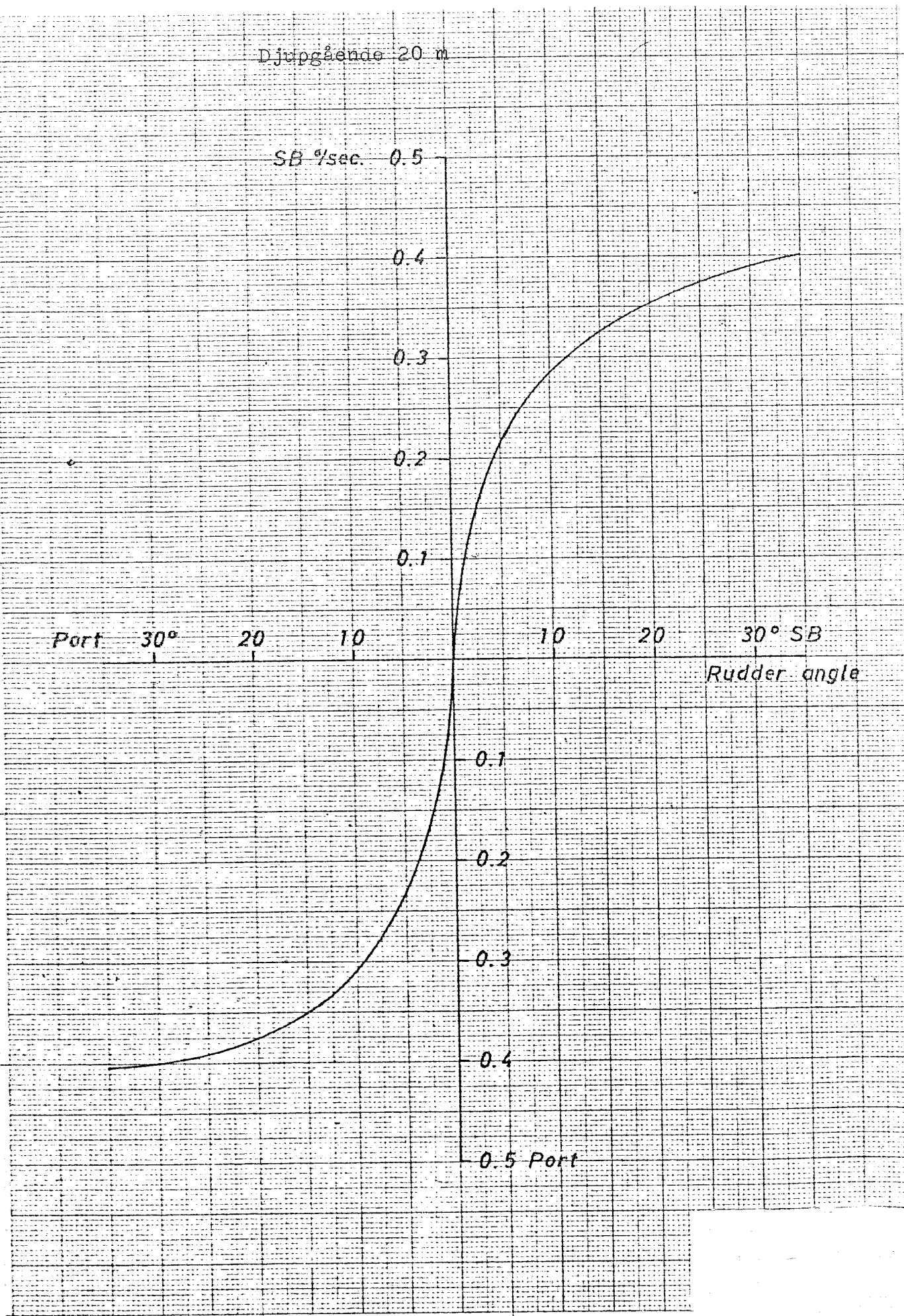
10

10

20

30° SB

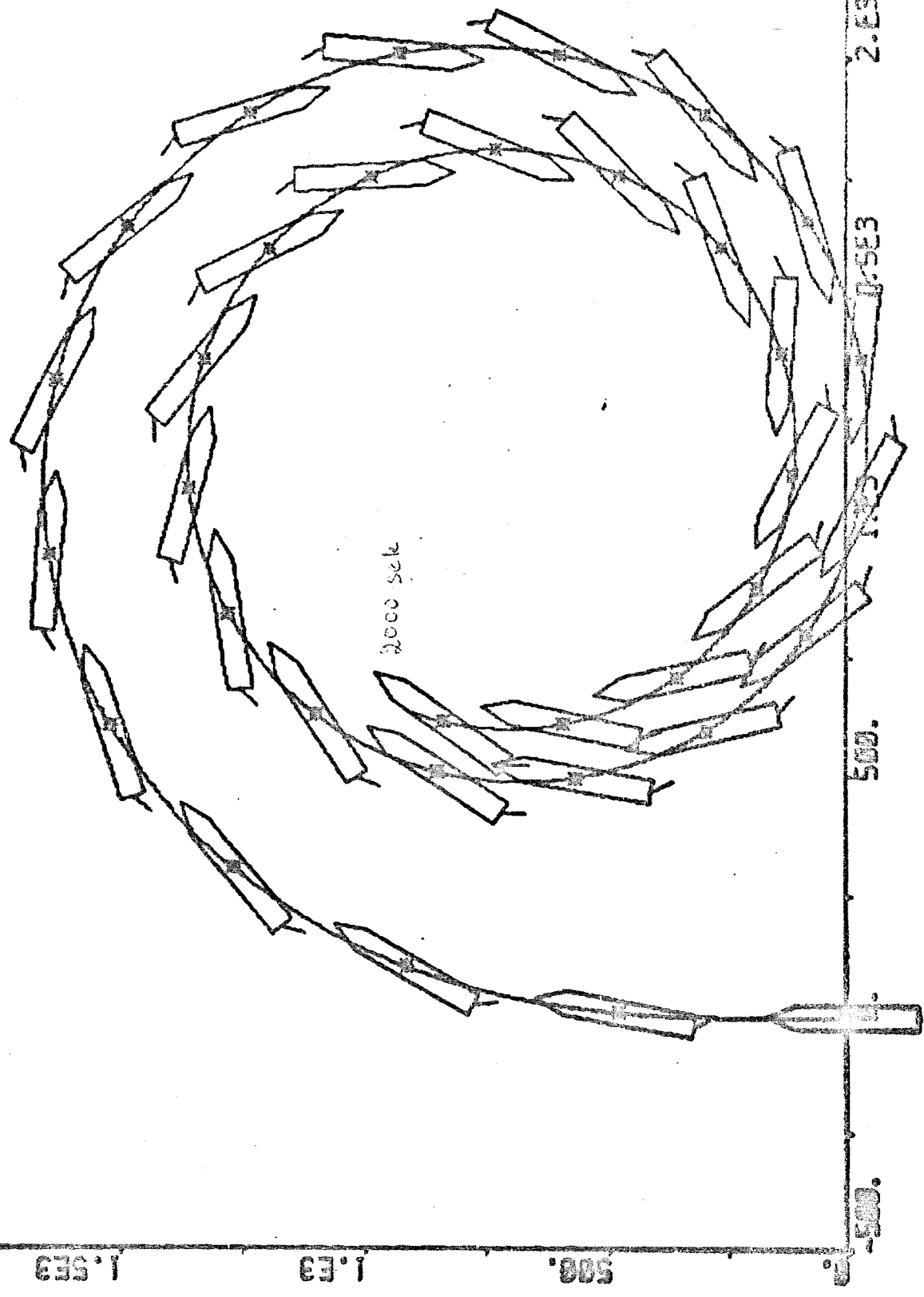
Rudder angle



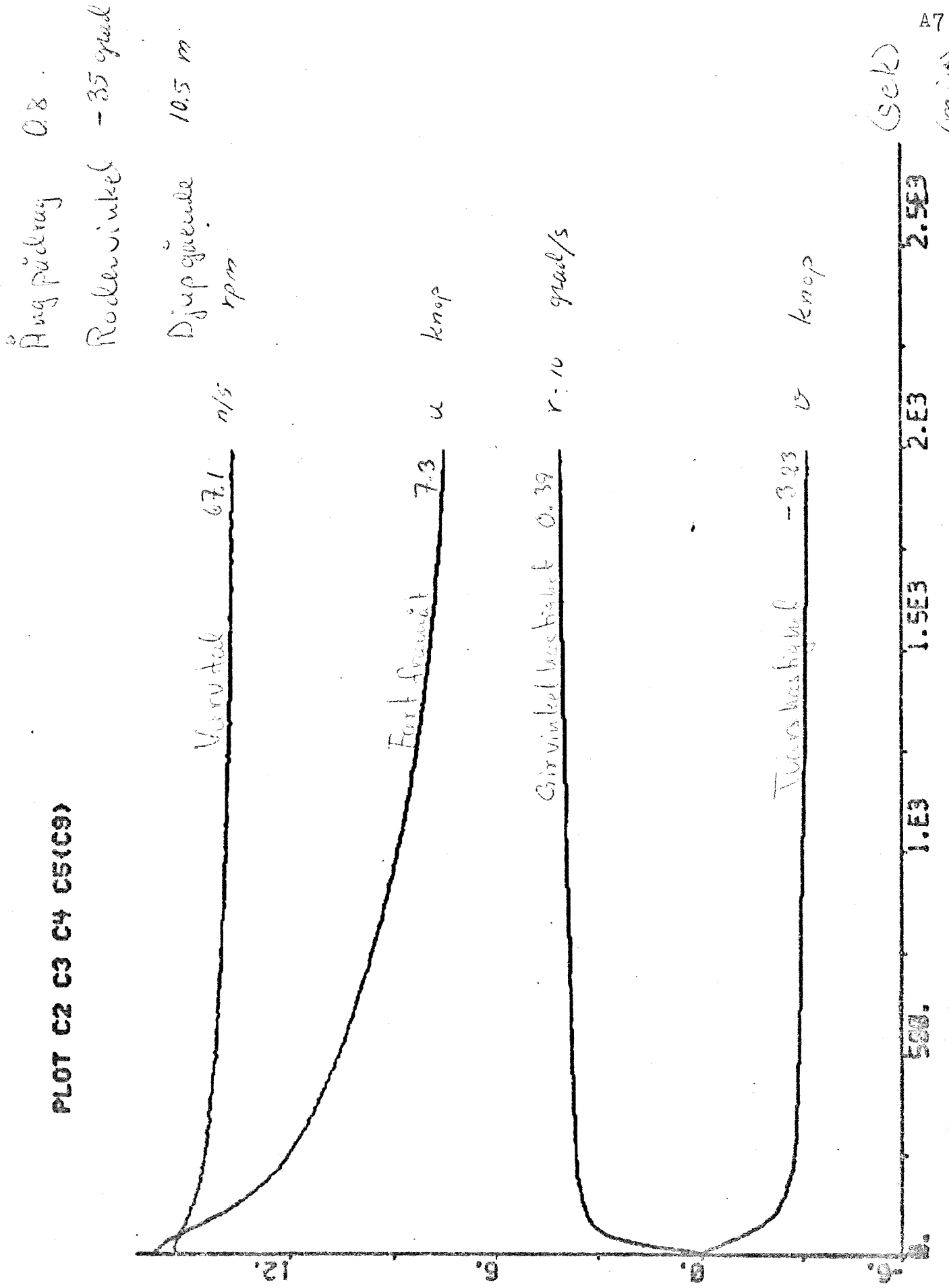
Cirkelprov

Avg pullout 0.8
Rocke vinkel -35 grad

Djupgående 10.5 m



PLOT C2 C3 C4 C5(C9)

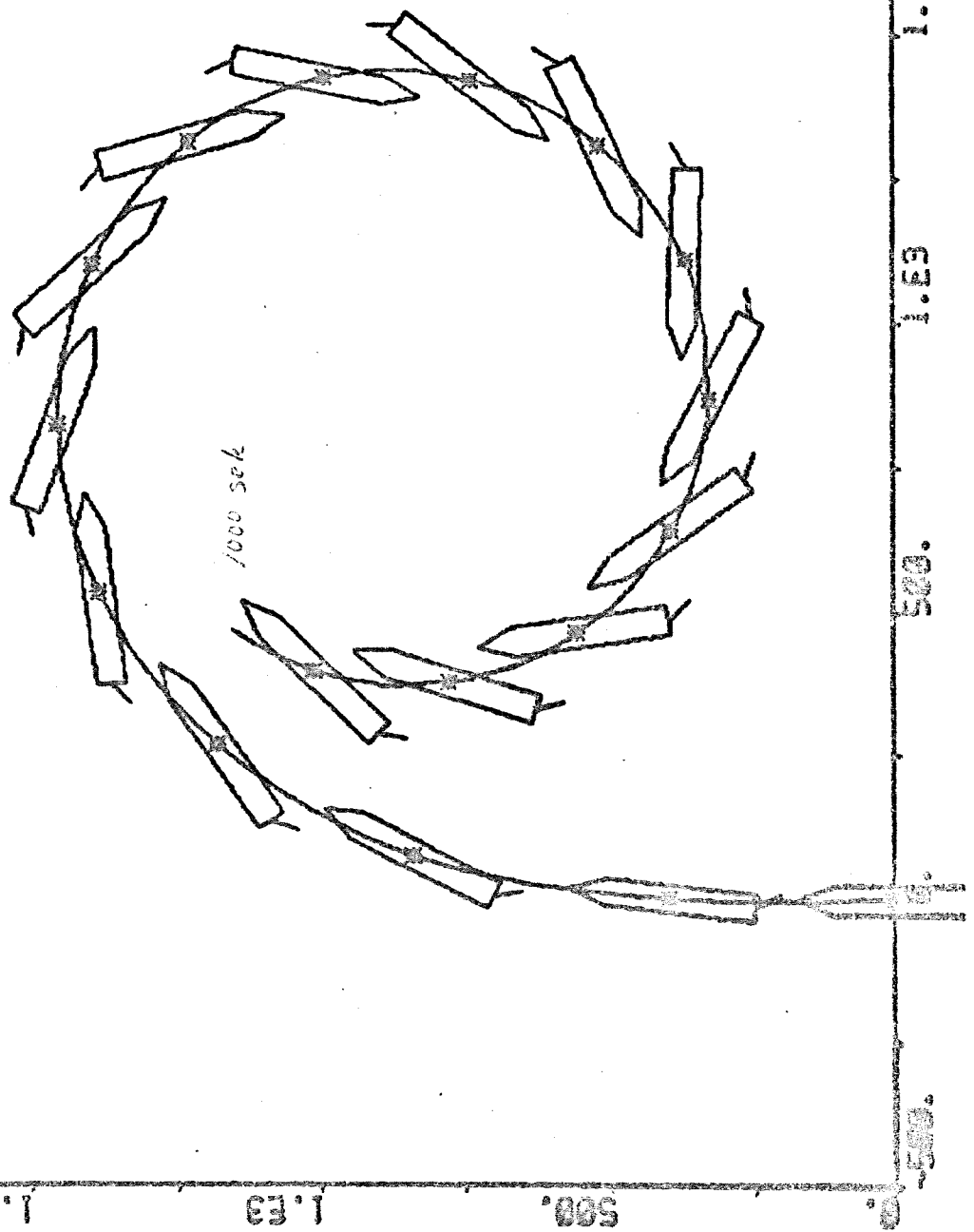


PLOT C7(CC8)

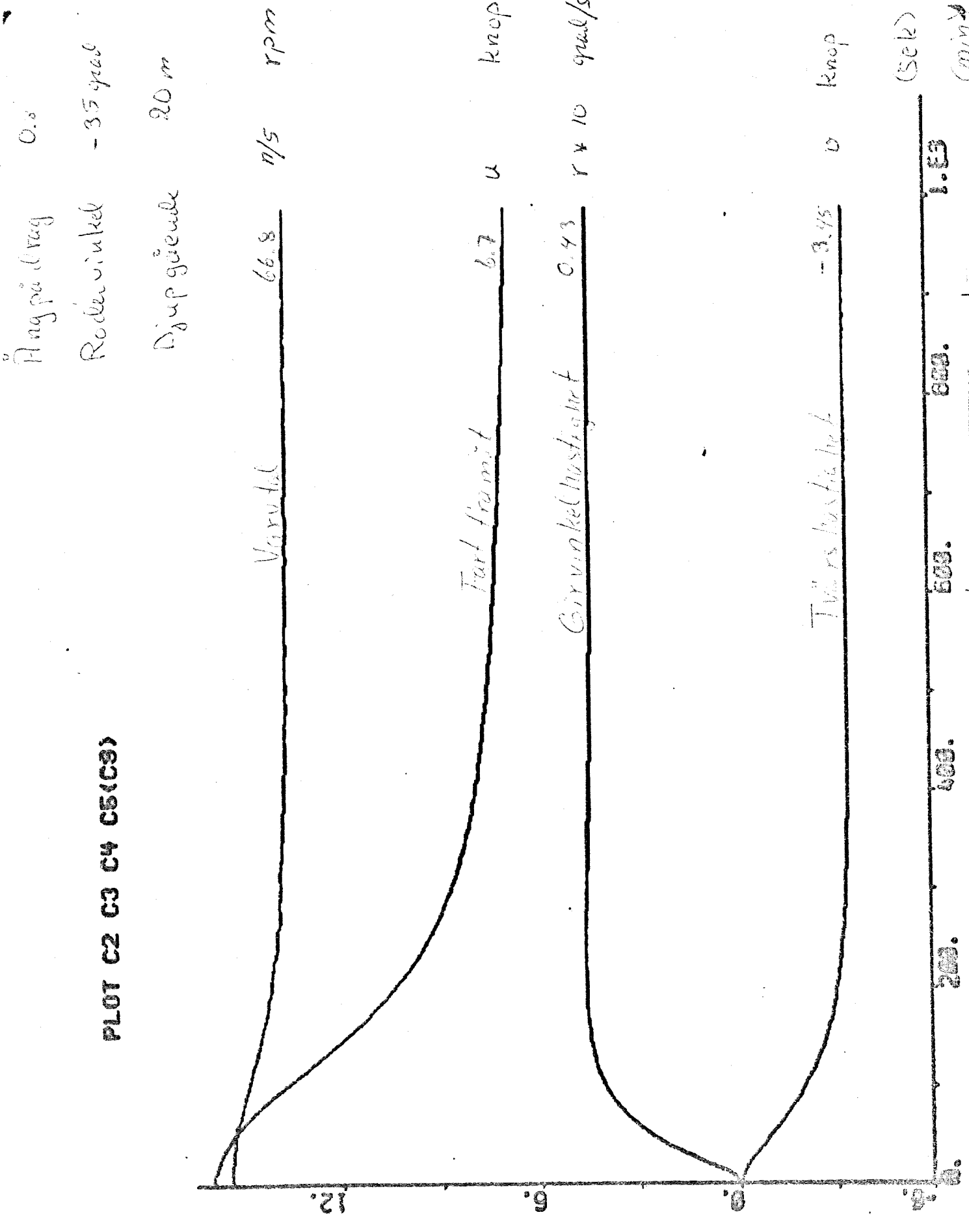
Cirkel prov

Ang på drag 0.8

Röder vinkel -35 grad
Djupgående 20 m



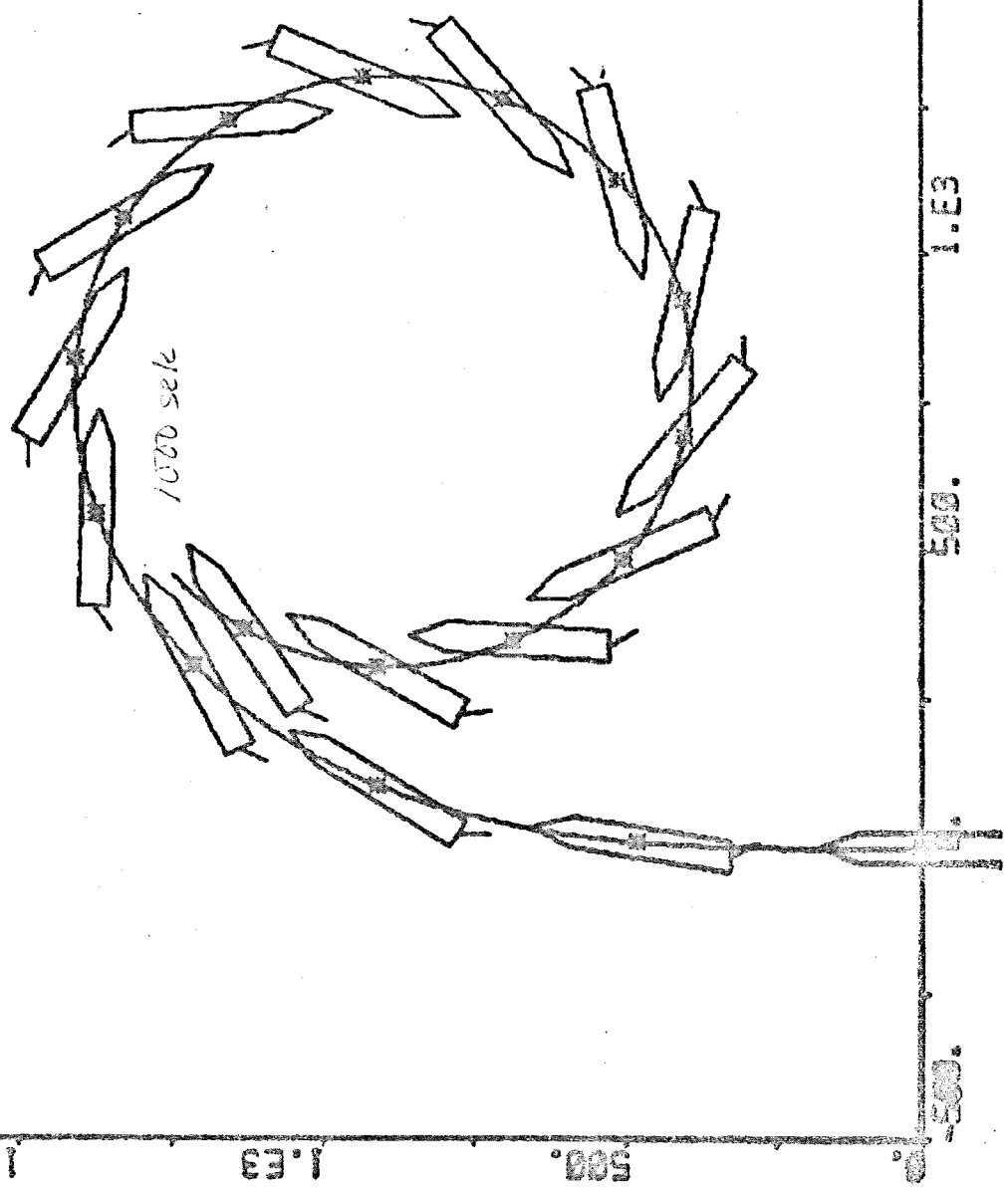
A9



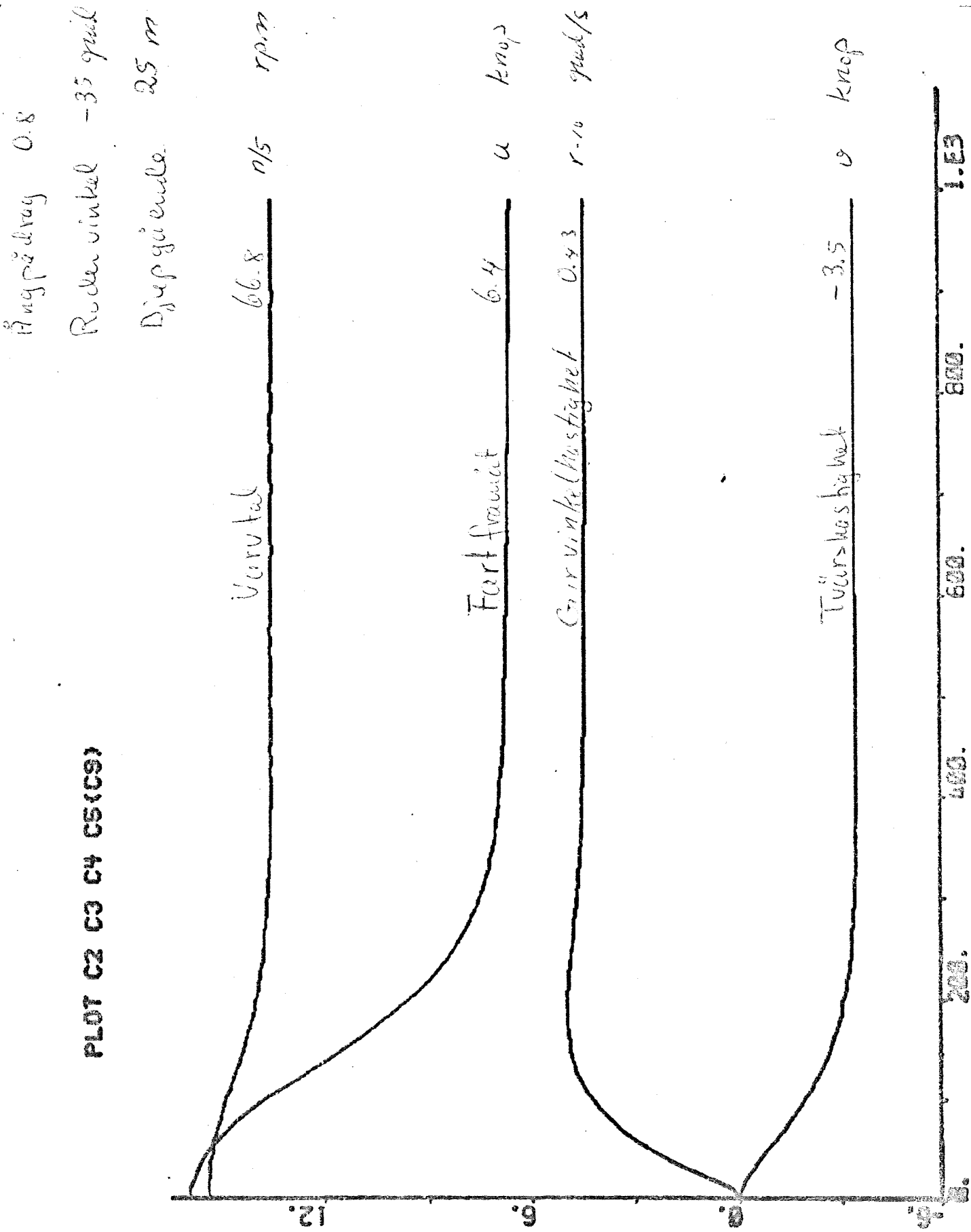
PLOT C7(C8)

Cirkelprov

Ängföldrag 0.8
Rödlinjinkel -35 grud
Öljupgående 25 m



PLOT C2 C3 C4 C5 C6



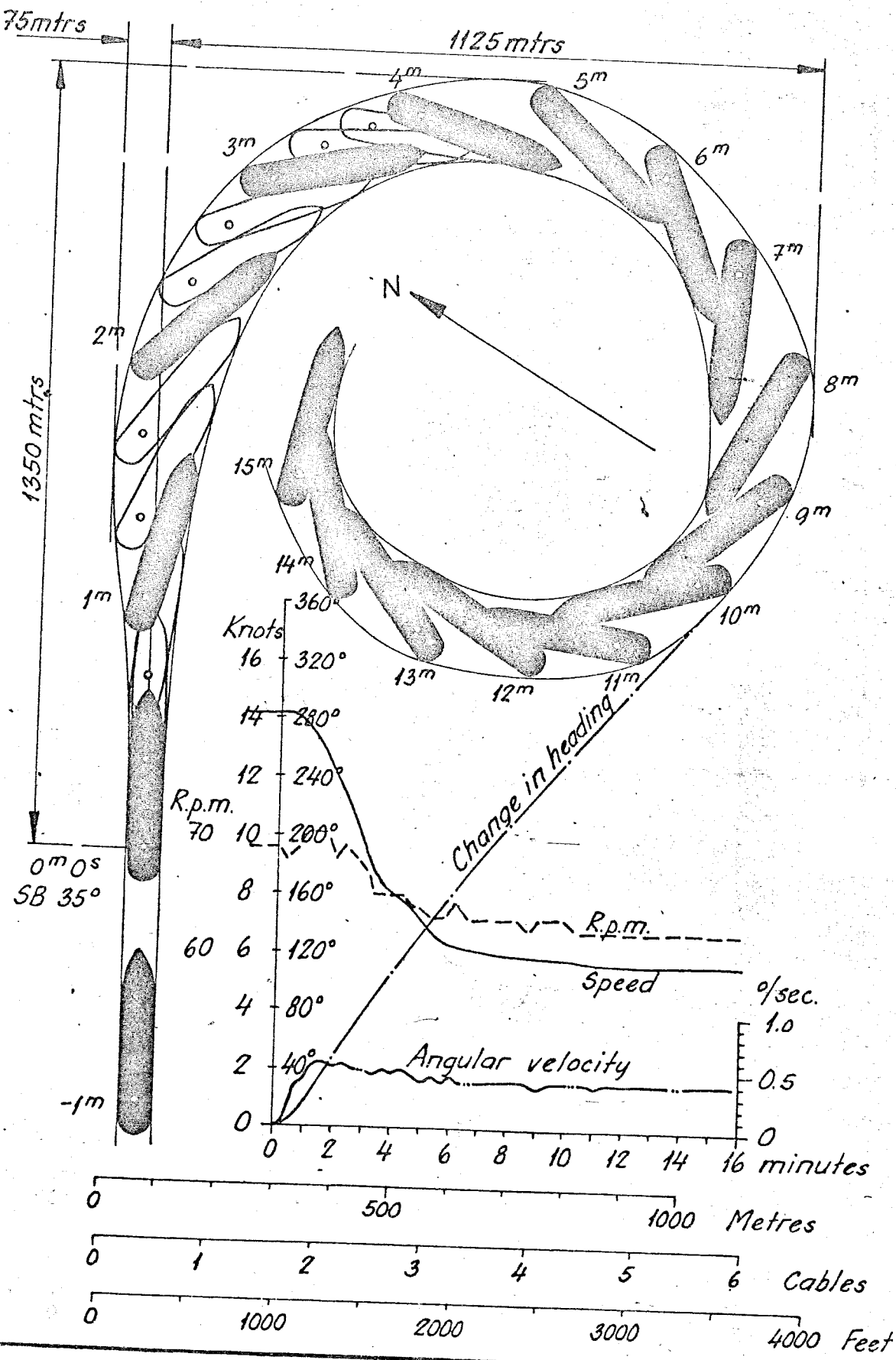
Waterdepth: 400 mtrs.

At 20²⁵ SB 35°

F: 30' 2"
A: 39' 2"

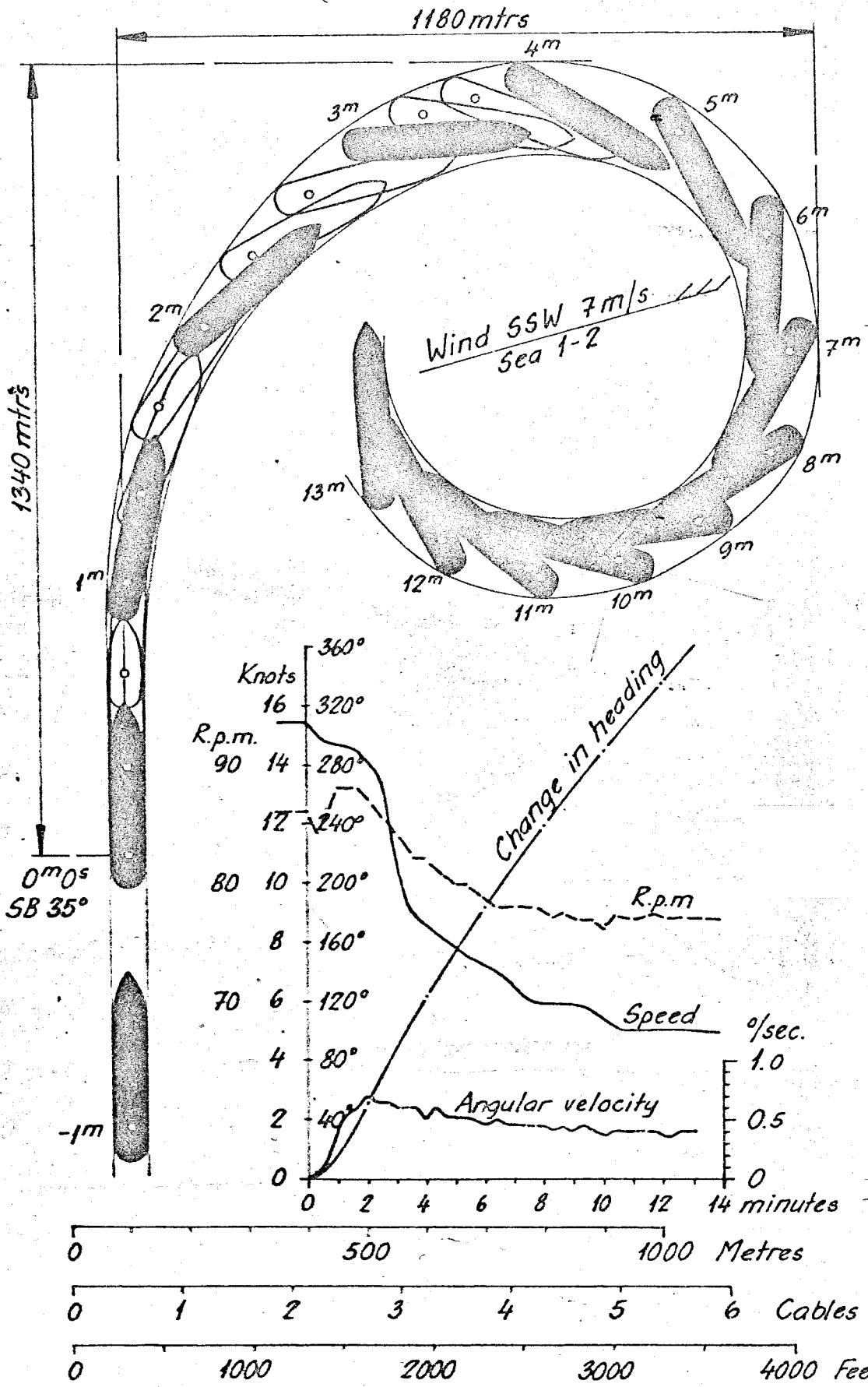
Djupgående 10.5 m

Wind: 0
Sea: 1



Waterdepth: 350 mtrs.
F: 65° 10 1/2".
A: 65° 10 1/2".

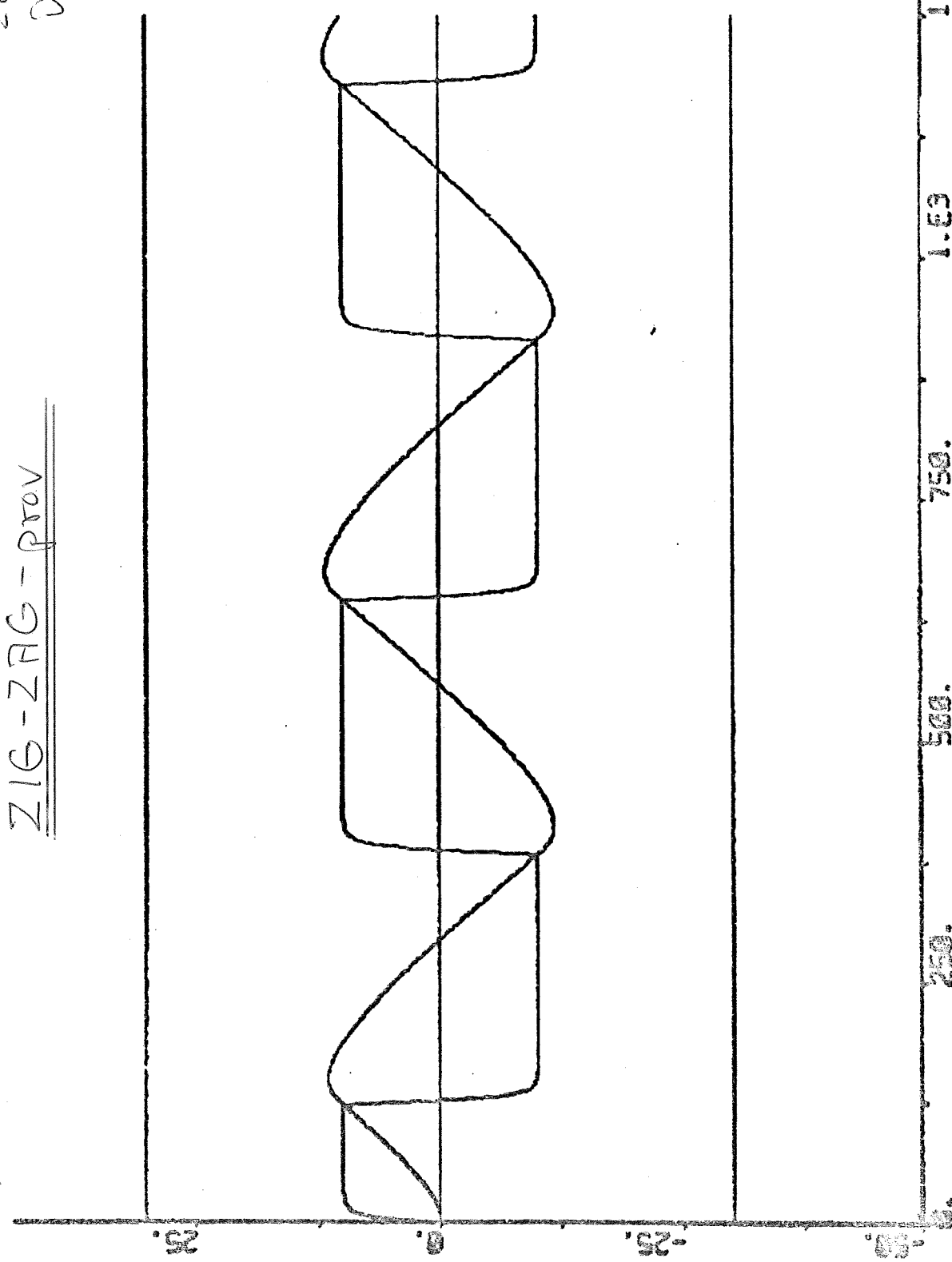
At 23¹⁵ SB 35°.
20.0 seconds to SB 40° rudder angle.
Djupgående 20 m



PLOT PSIN DELTA ZERO LINE1 LINE2

Z1G-ZAG-PROV

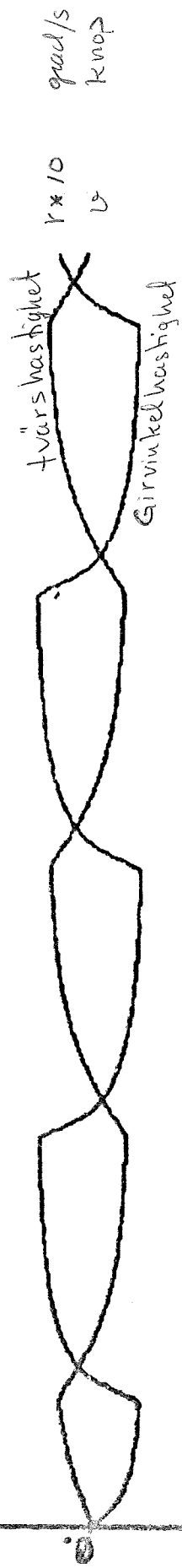
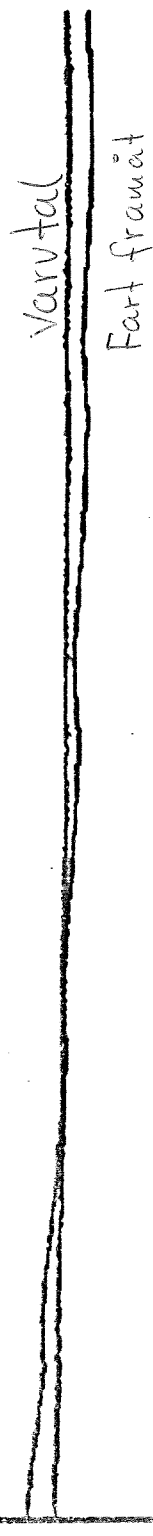
Ang pailang 0.8
216296 10°
Dijungglede 10.5 m



PLOT C2 C3 C4 C5(C9)

Äng på dryg 0.8
2162 AG 10°

Djupgående 10.5 m

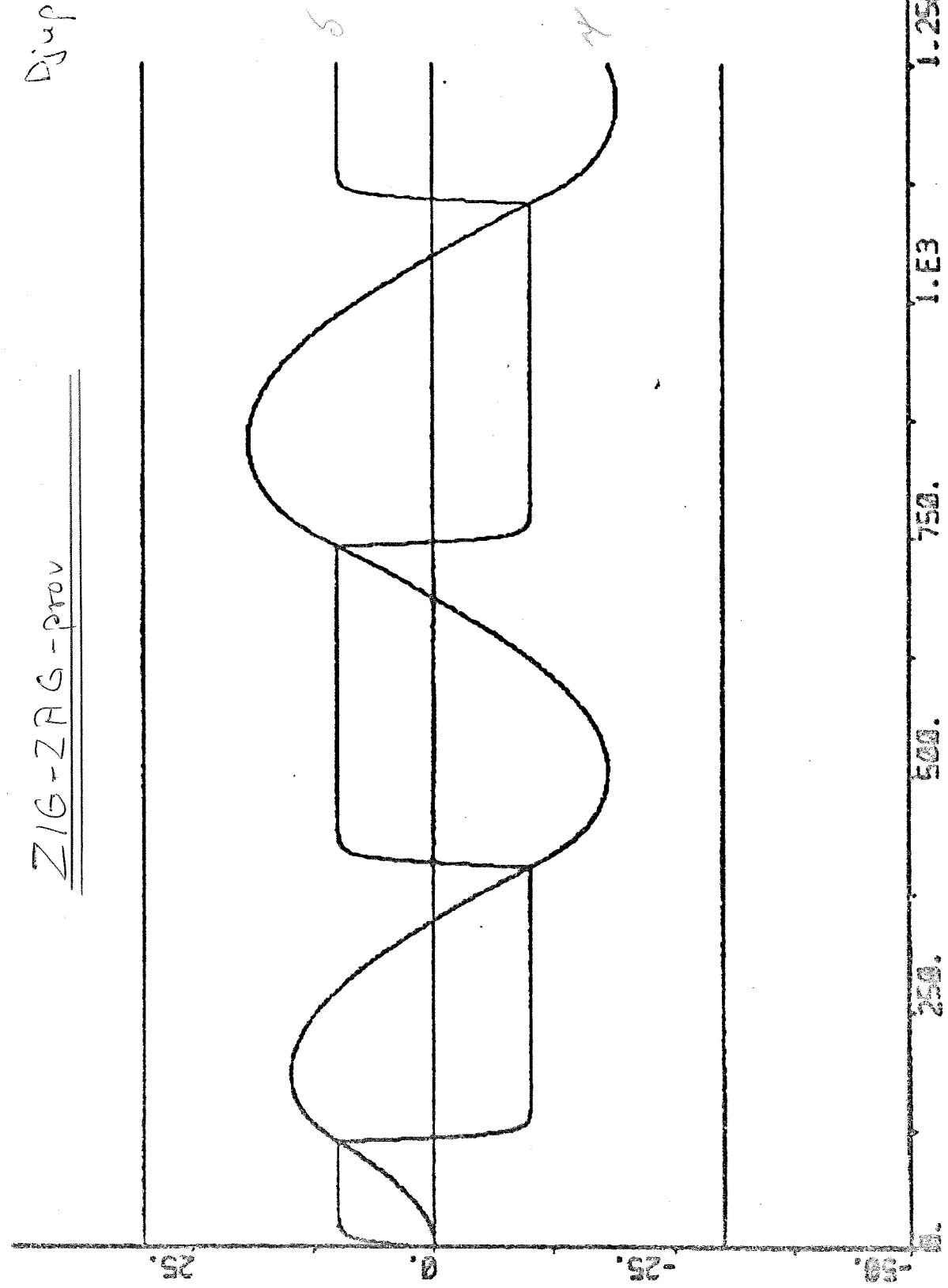


250.	500.	750.	1.03	1.25E3
8.	6.	0.	-6.	-8.

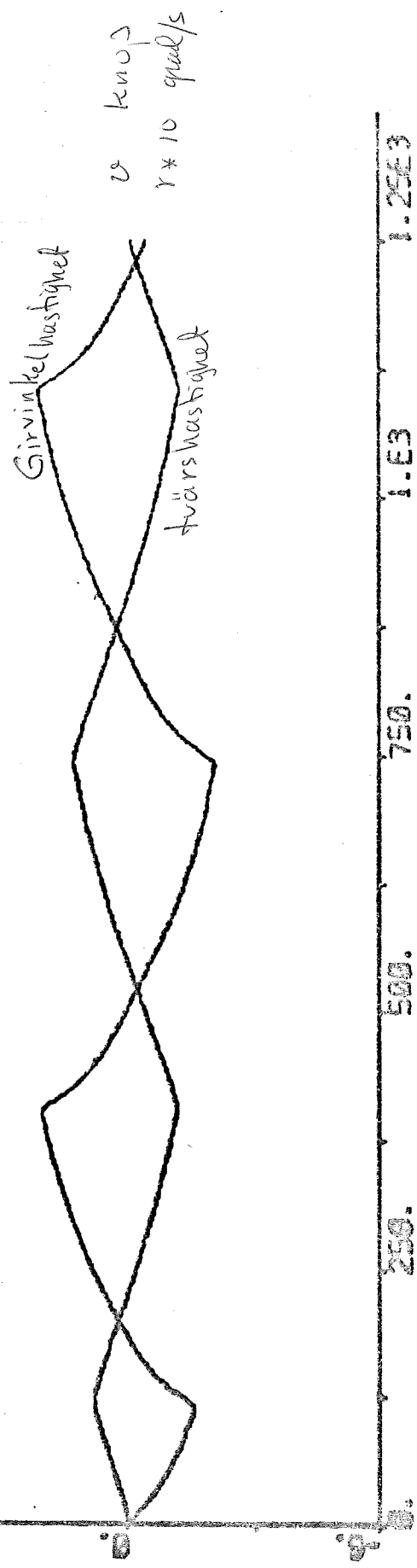
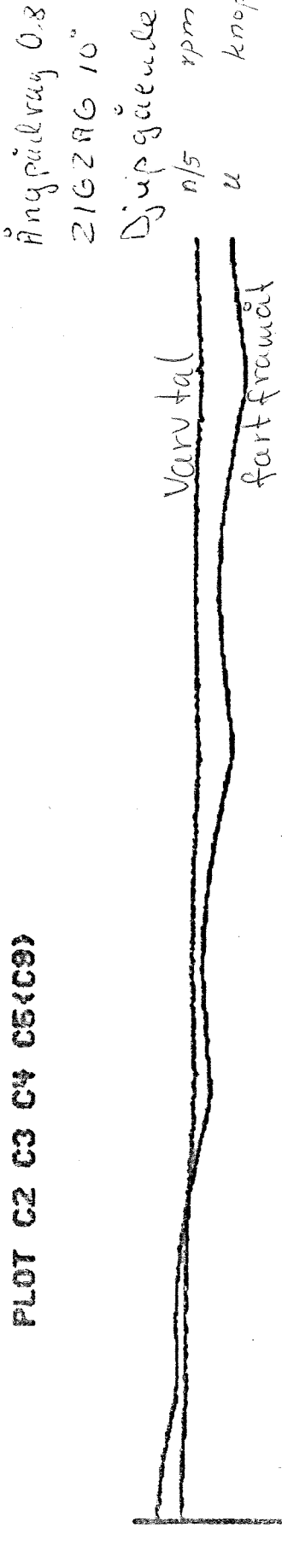
PLOT PSIN DELH ZERO LINE1 LINE2

ZIG-ZAG -prov

Angpilring 0.8
ZIG ZAG 10°
Dijupgauw 20m



PL07 C2 C3 C4 C5(C6)



1.25E3

1.1E3

750.

500.

250.

0.

1.25E3

1.1E3

750.

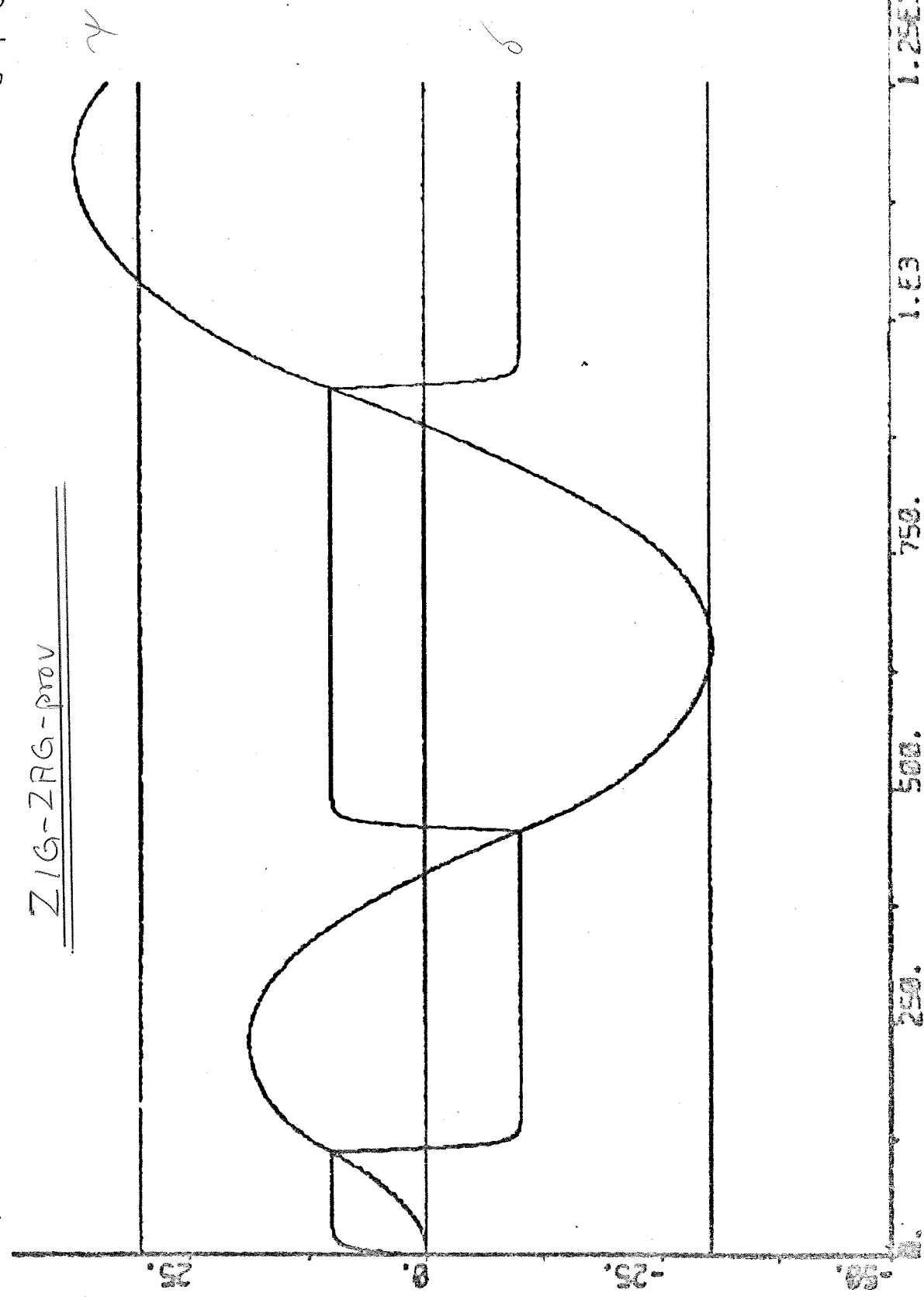
500.

250.

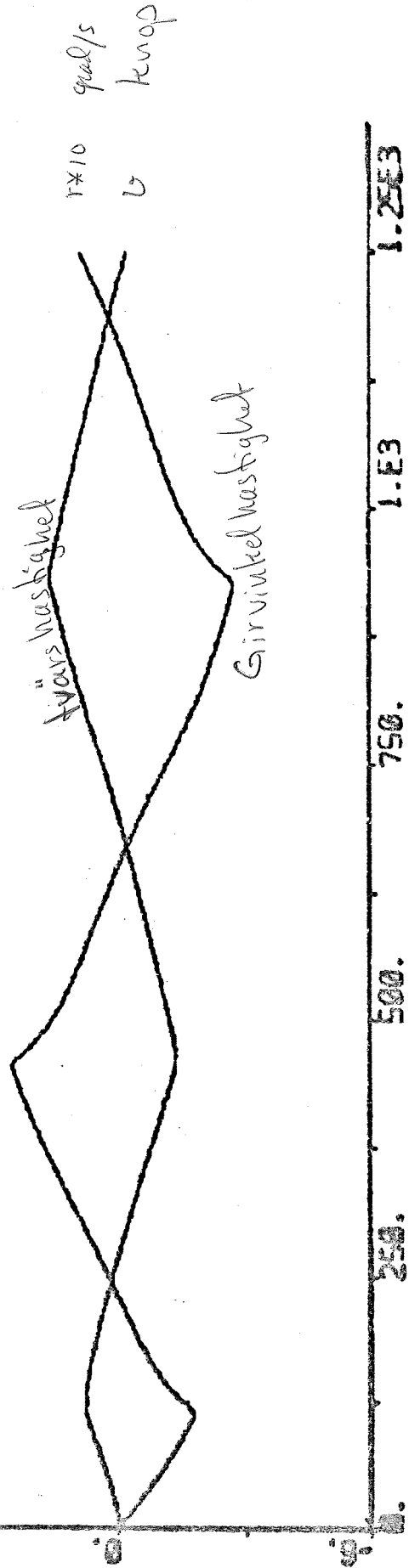
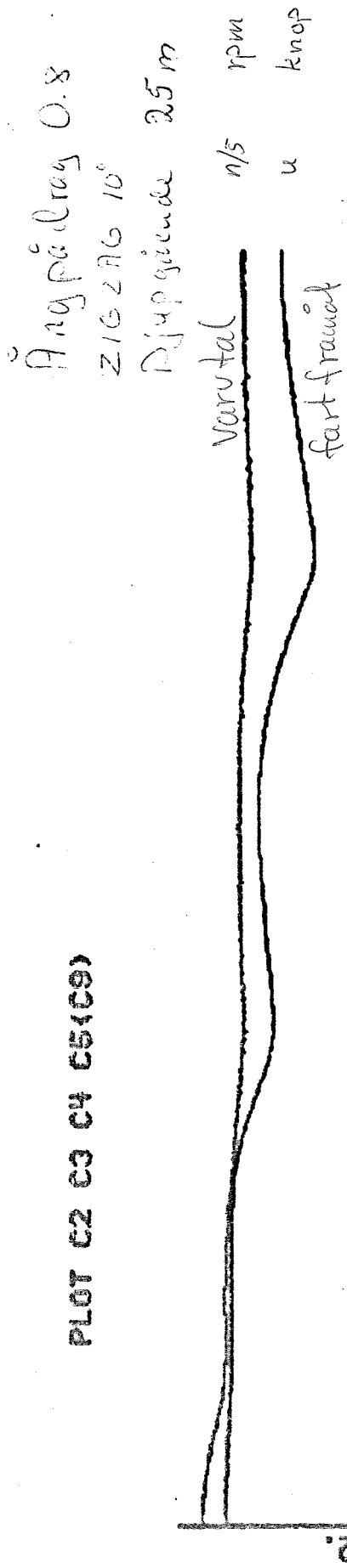
PLOT PSIN DELM ZERO LINE1 LINE2

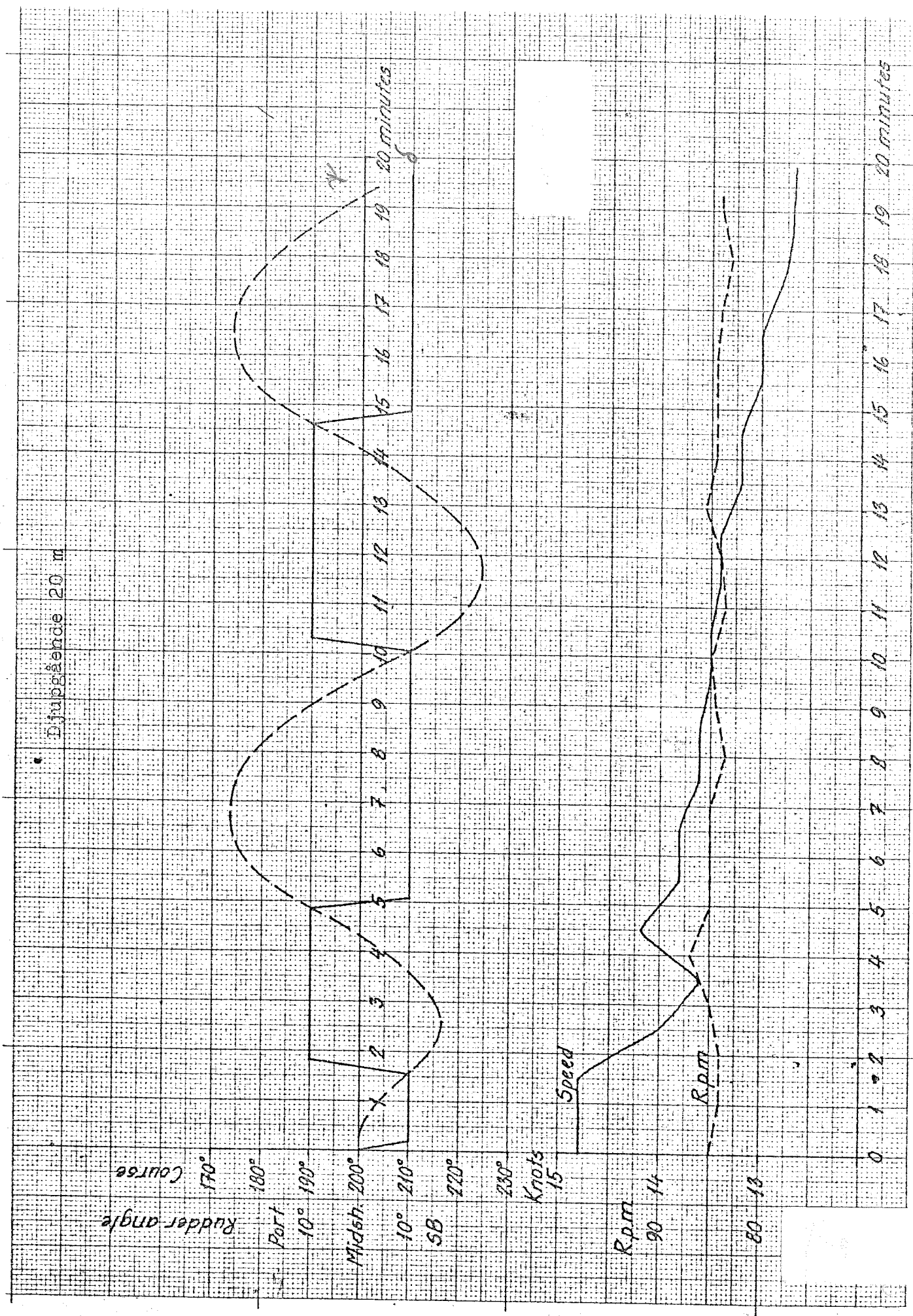
ZIG-ZAG-prov

Ang poldring 0.8
216 ZINC 10°
Dijup gamula 25m



PLOT C2 C3 C4 C5(CS)

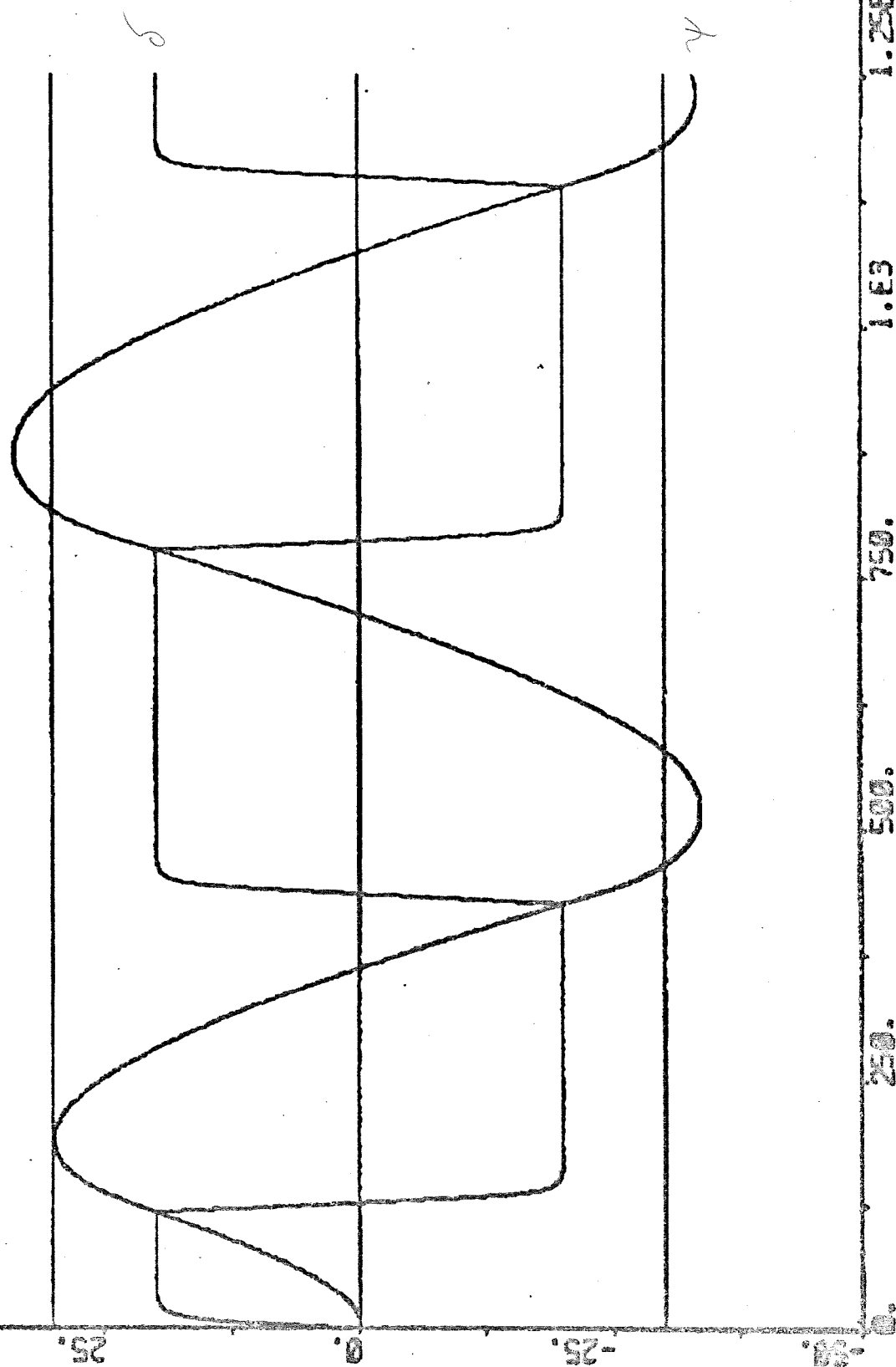




PLOT PSIM DELL'ZERO LINEI LINEE

ZIG-ZAG - PROV

Ang. salma 0.8
Z 162 296 20°
Dip. girella 20m



1.253

1.03

750.

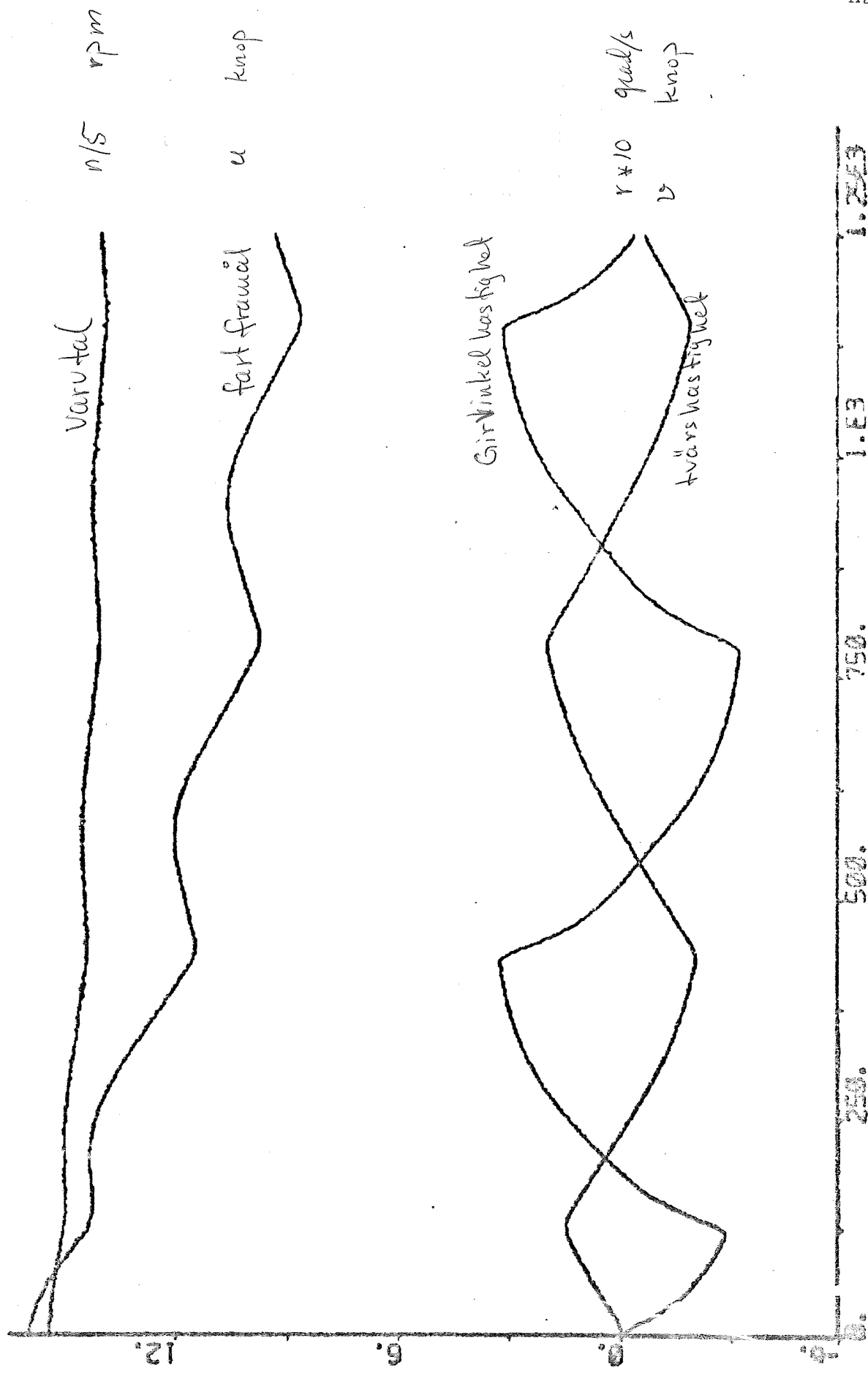
500.

350.

250.

PLOT C2 C3 C4 C5 (C9)

Ang pullang 0.8
216276 20°
Dijungjung 20m



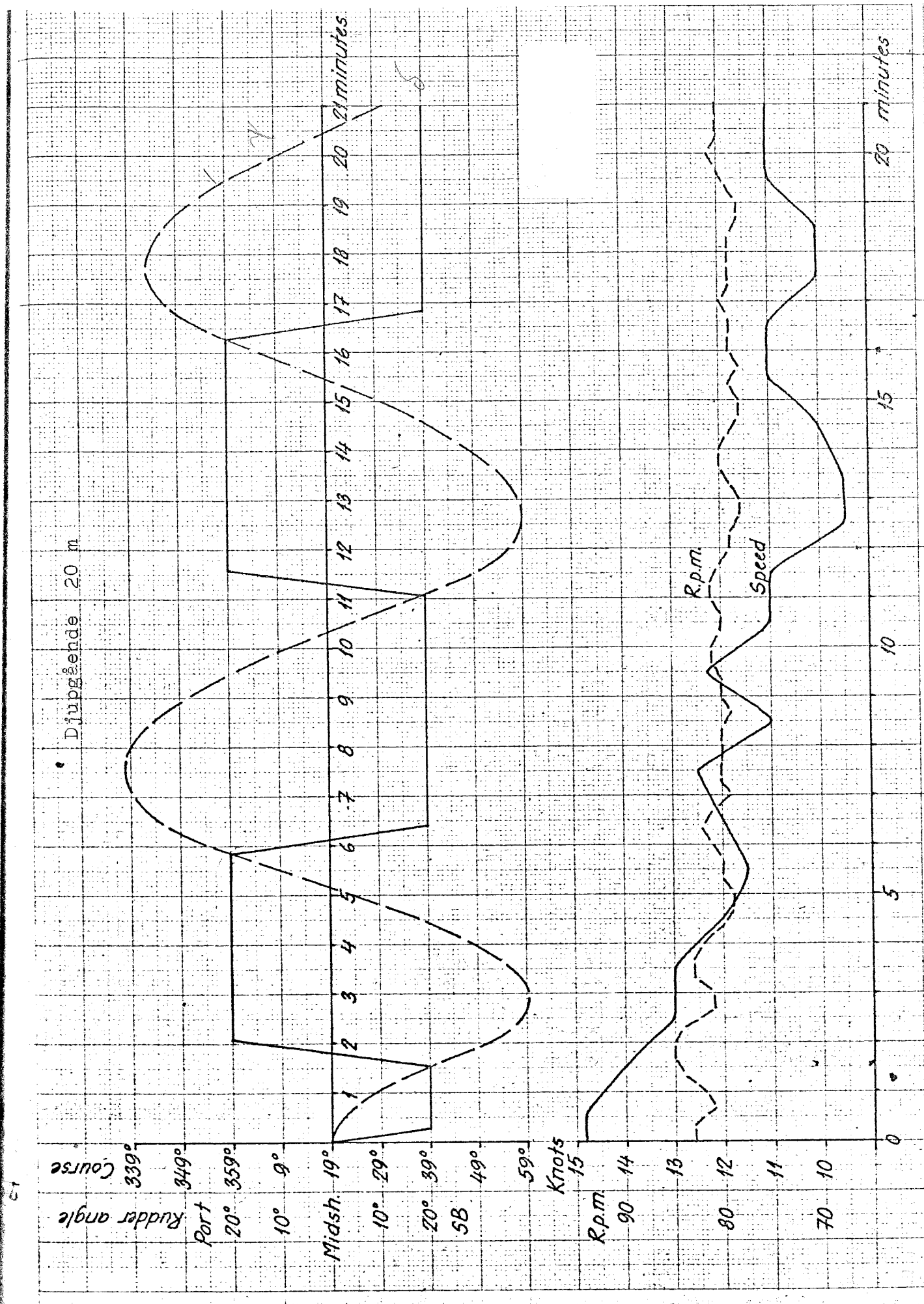
1.253

1.E3

750.

500.

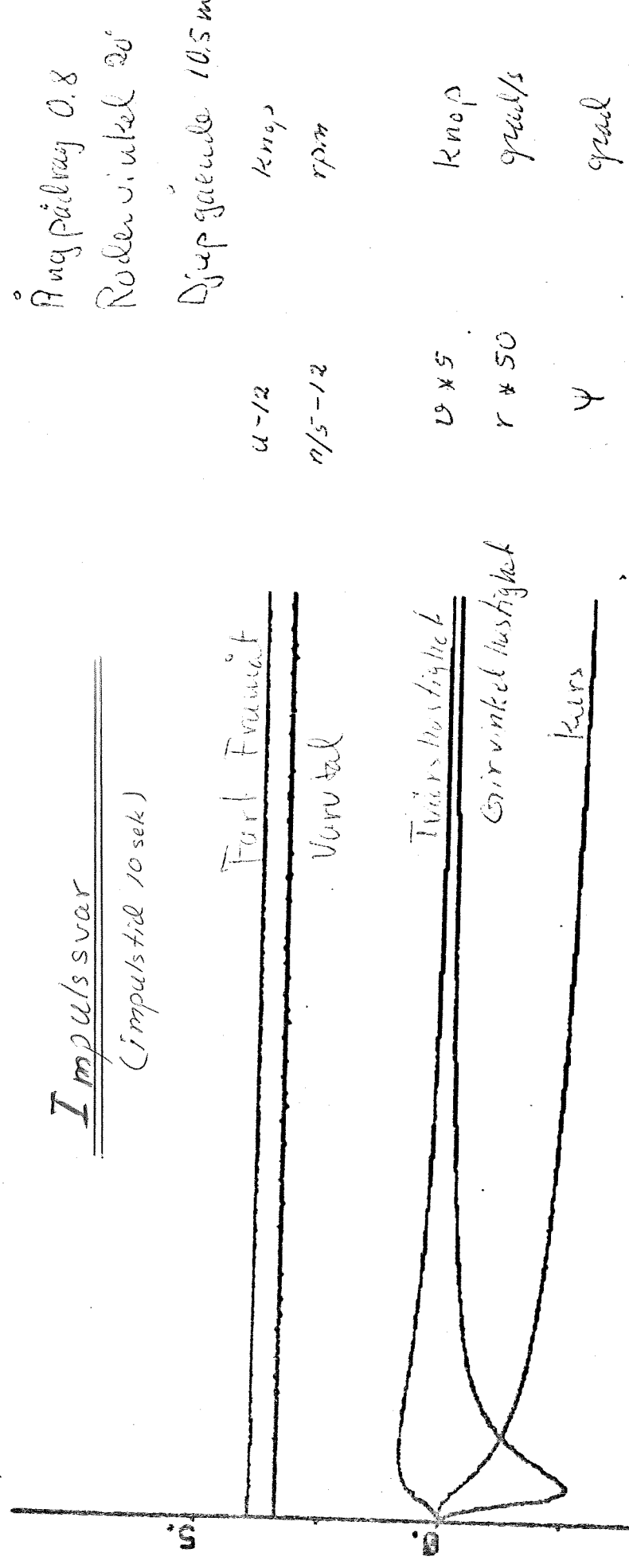
250.



PLOT C21CF1LE3 C31CF1LE3 CERTFILE3 CERTFILE1 CERTFILE2

Impulssvar

(Impulstid 10 sek)



100. 200. 300. 400. 500.

A24

PLOT C2[CFILE] C3[CFILE] C4[CFILE] C5[CFILE]

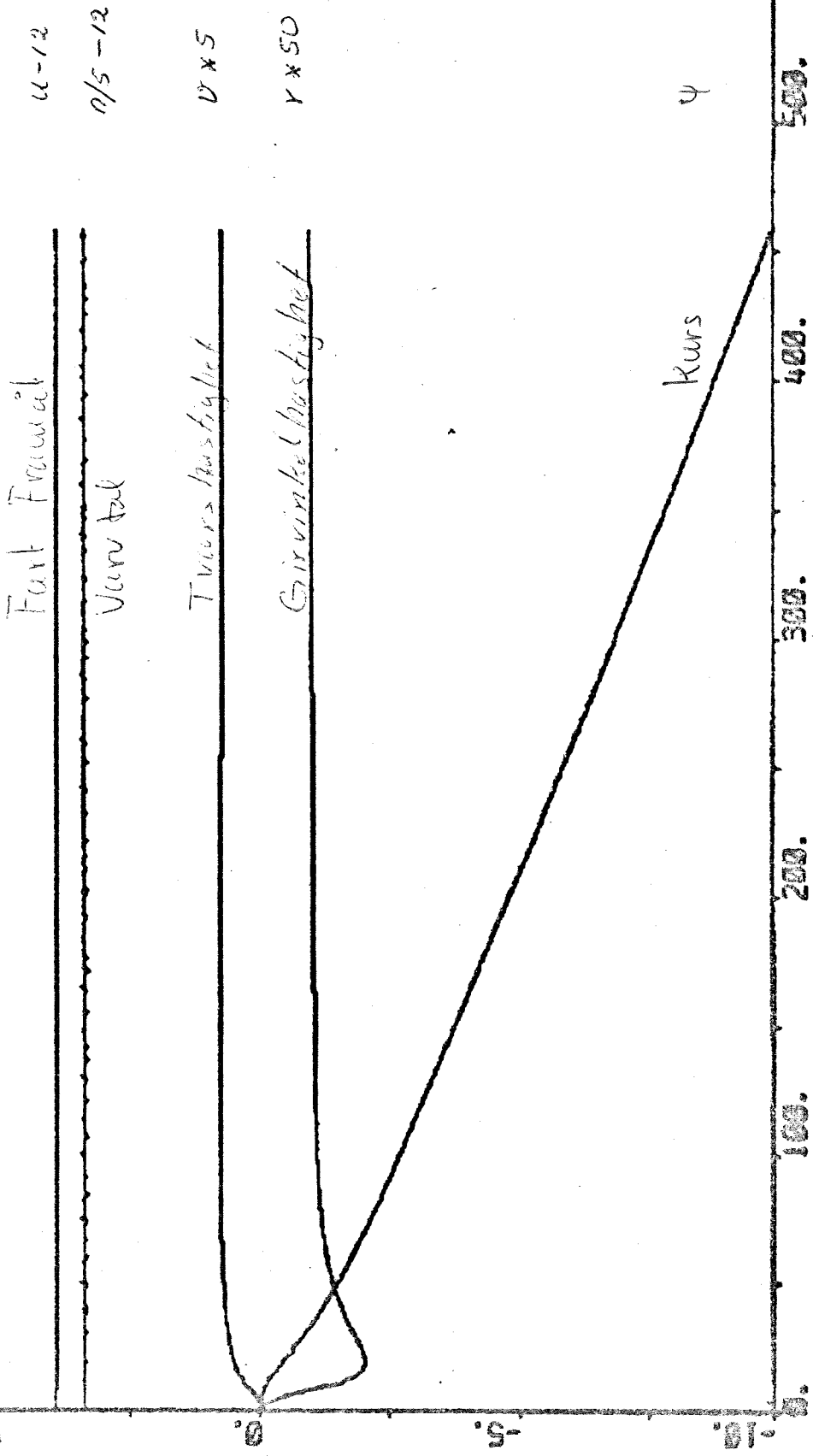
Ang pârlay 0.8

Roller vinkel 20°

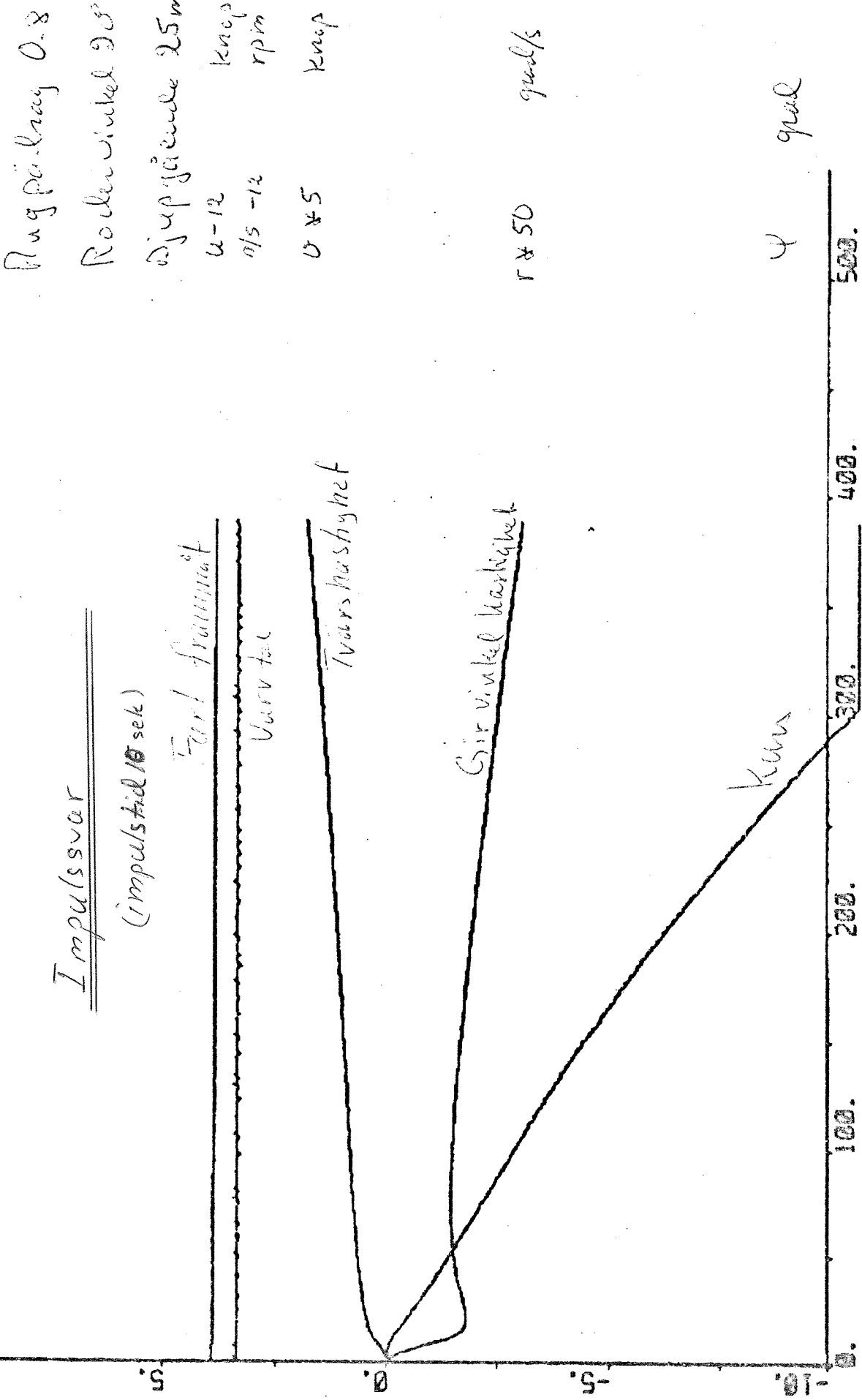
Djeppgående 20m

Impulsvar

(Impulstid 10 sek)



PLOT C2[CFILE] C3[CFILE] C4[CFILE] C5[CFILE] C6[CFILE]
PLOT C2[CFILE] C3[CFILE] C4[CFILE] C5[CFILE] C6[CFILE]



Crash - Stop

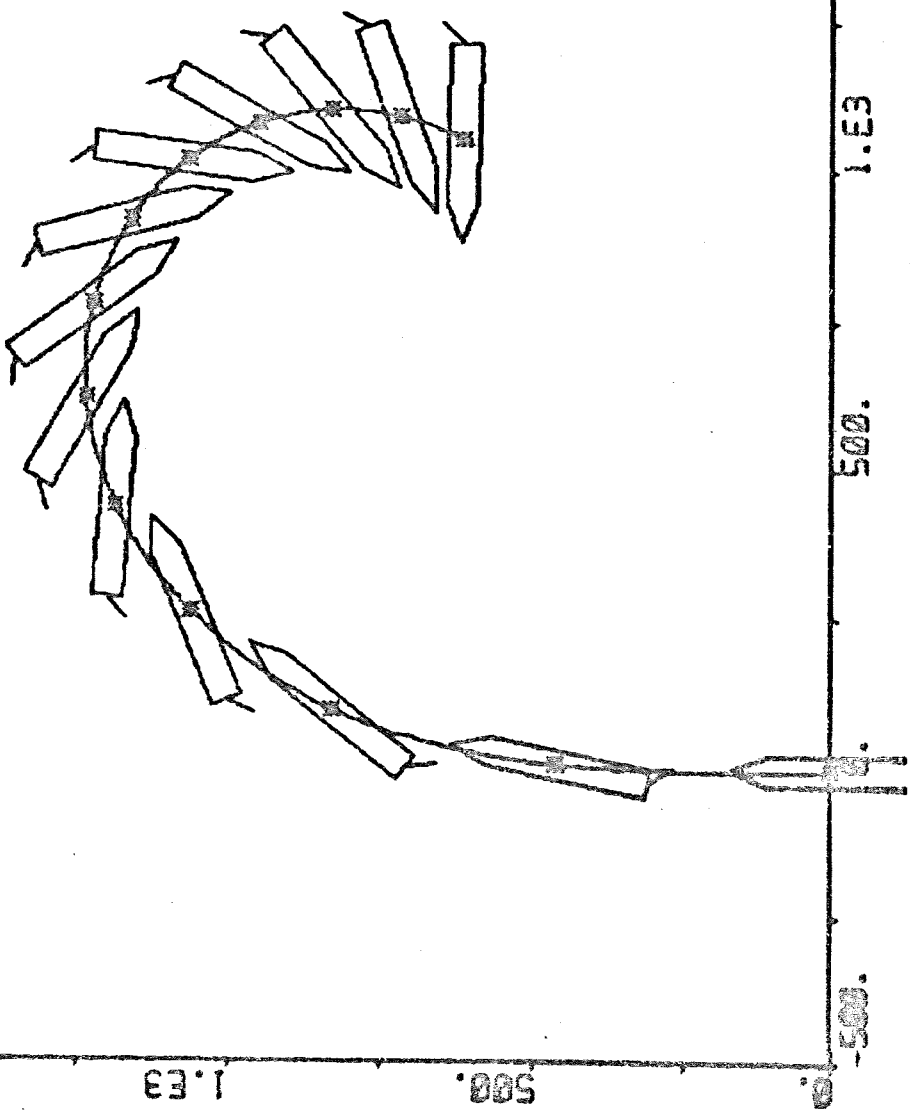
Bug pūlray = 0.5 (Full brick)

Furt 16 kg/m³

Rodenwinkel = 45°

Durchgräbenende 20 m

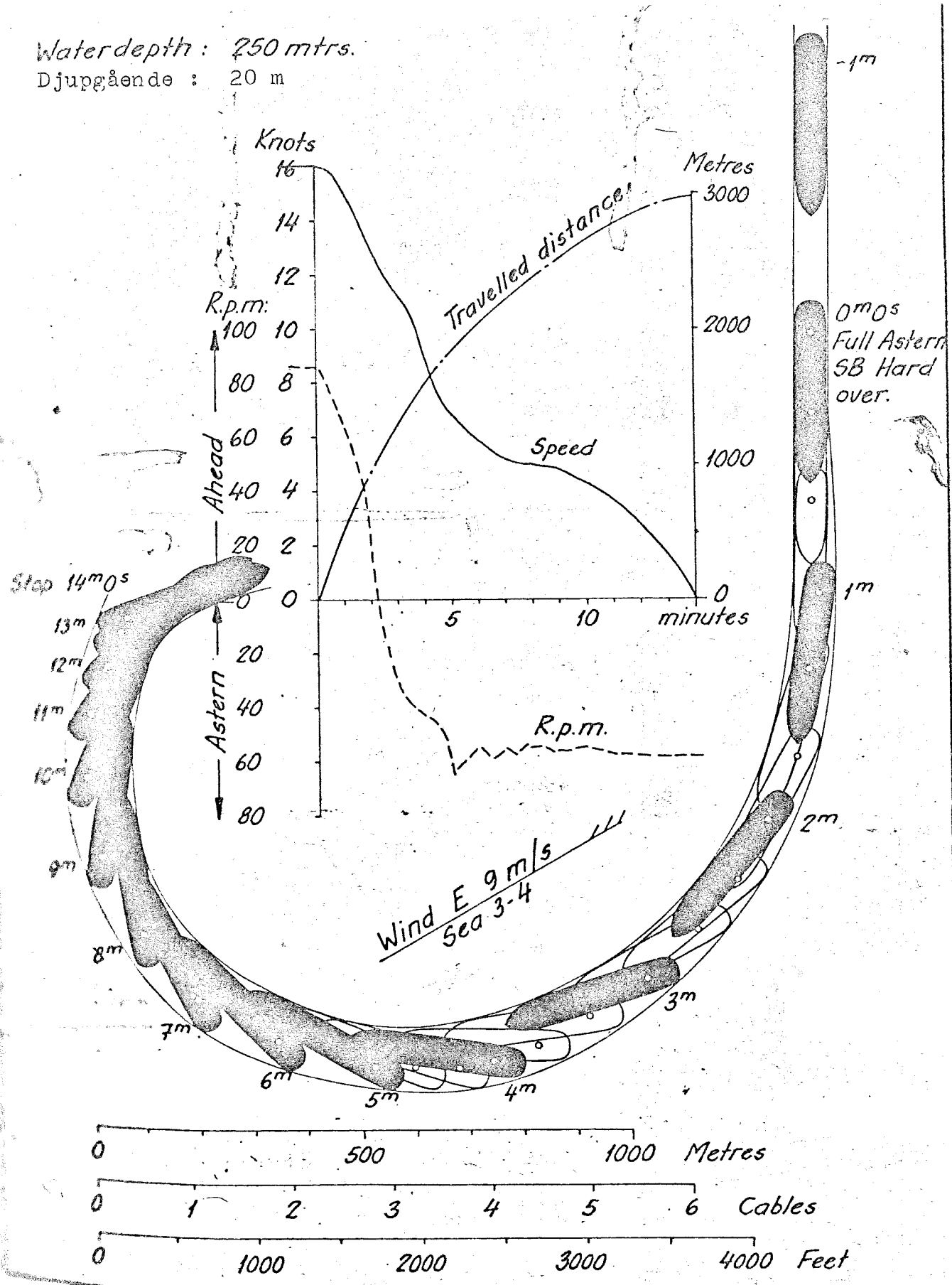
A27



Crash-stop

Waterdepth: 250 mtrs.

Djupgående: 20 m

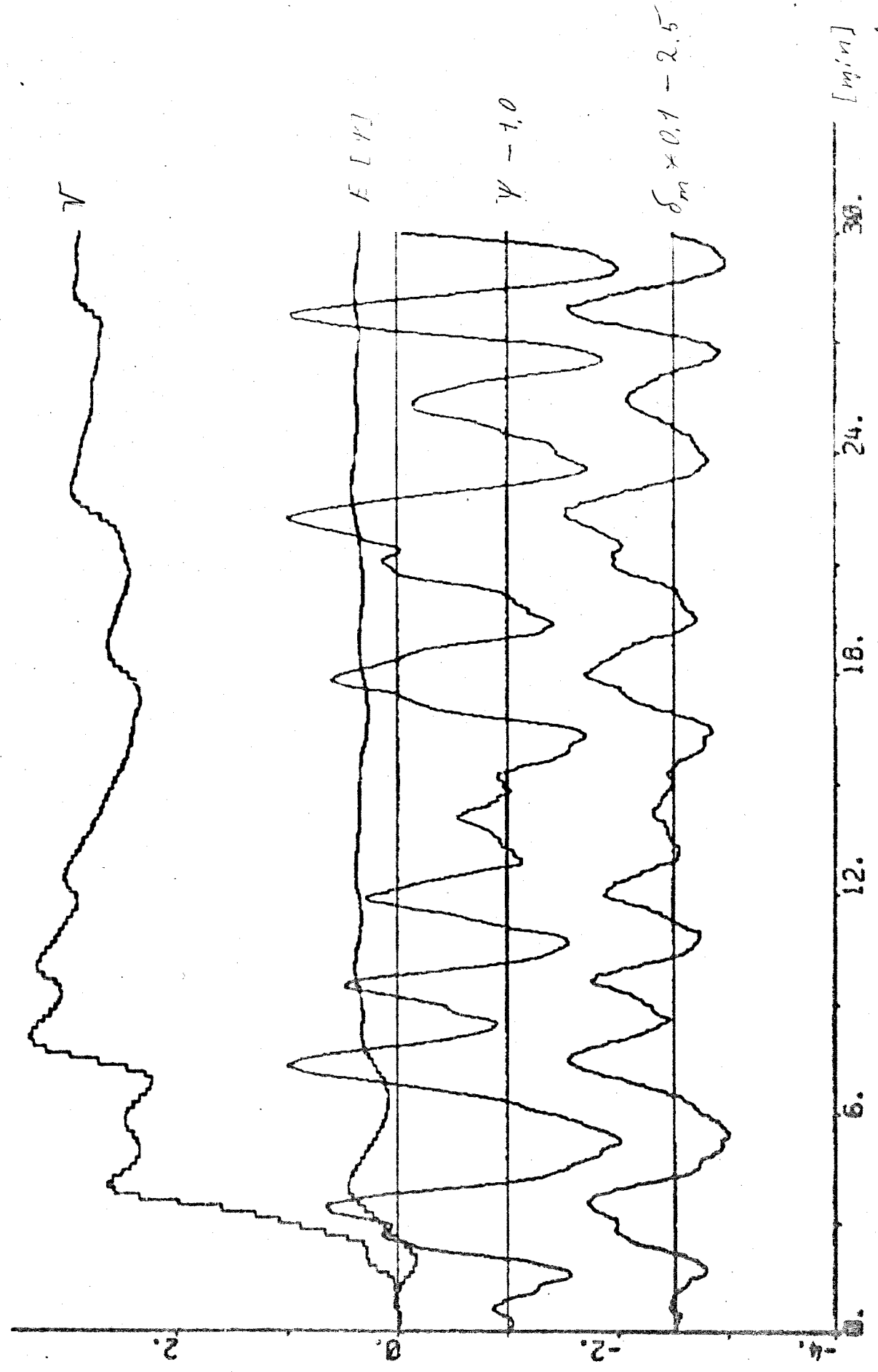


APPENDIX B

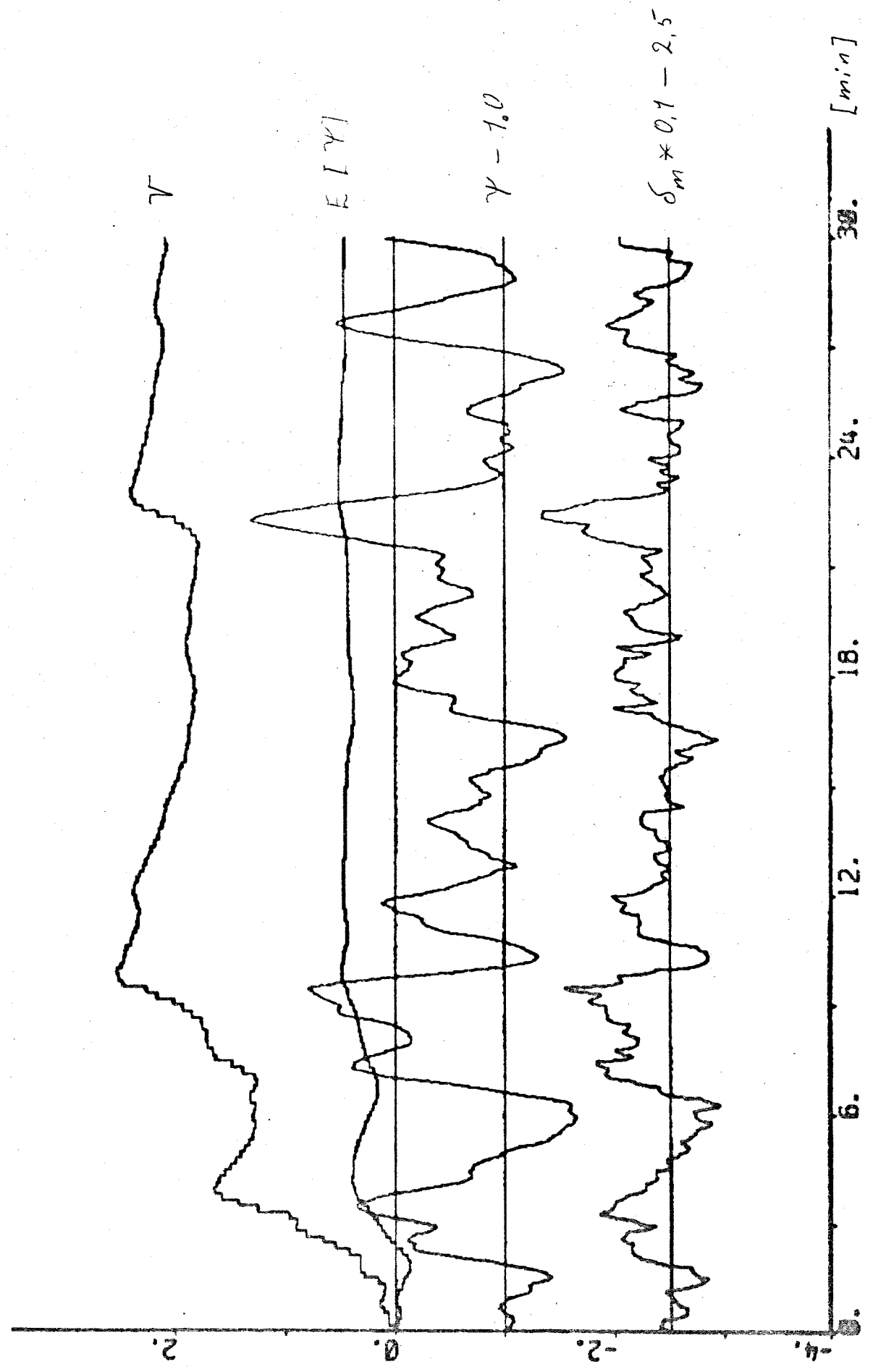
Simuleringsar med PID-regulator

Regulator beteckning	Djupgående	Vind	Sida
la	20 m	Hård	B2
lb	"	"	B3
lc	"	"	B4
ld	"	"	B5
le	"	"	B6
lf	"	"	B7
lg	"	"	B8
lh	"	"	B9
li	"	"	B10
lh	10.5m	Svag	B11
"	"	Hård	B12
"	20 m	Svag	B13
"	"	Hård	B14
"	25 m	Svag	B15
"	"	Hård	B16

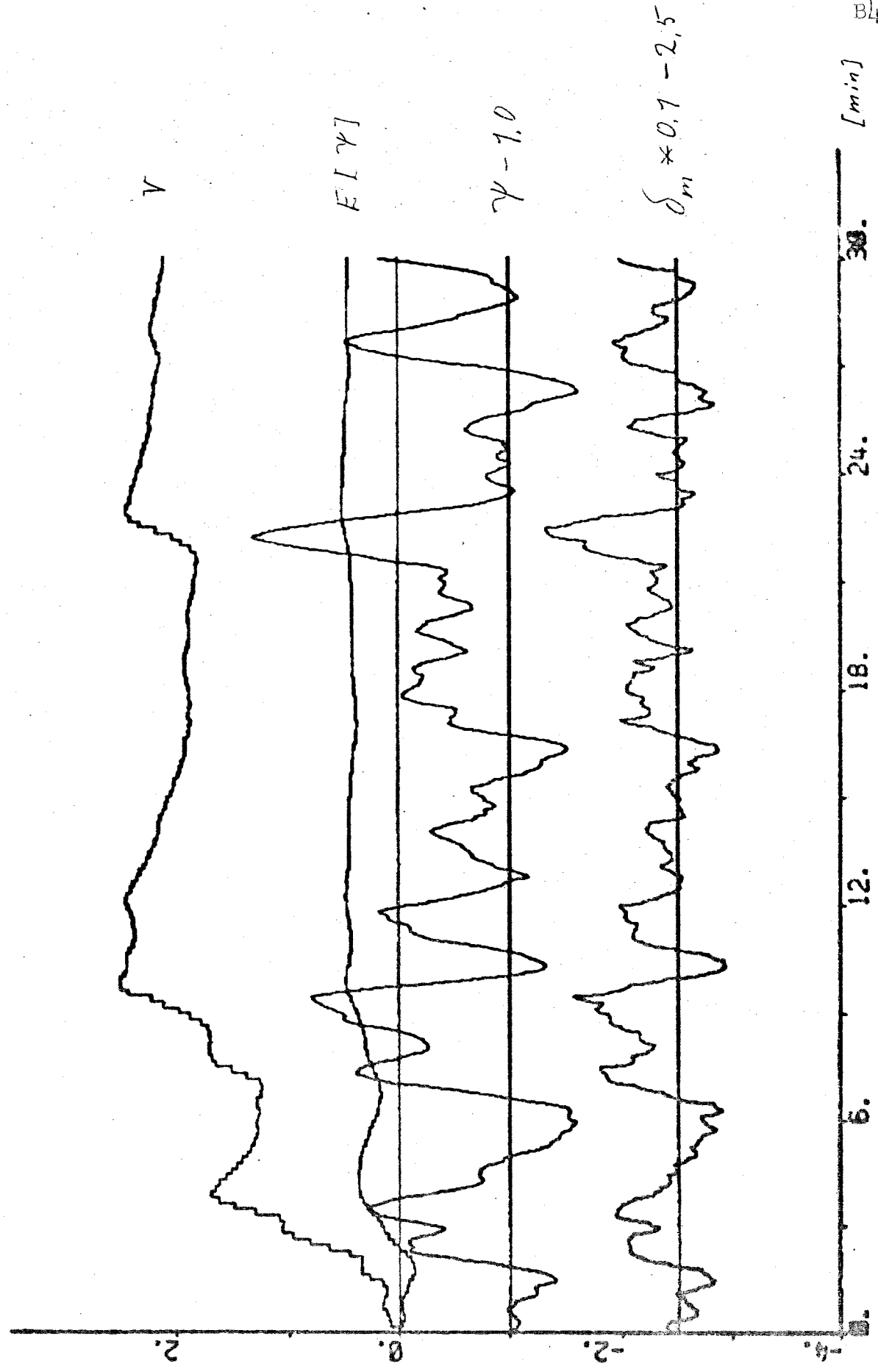
PL07 C27 C12 PL12 C35 PL5 C38 PL6 (C6)
K1=5. K2=0. K3=0. FIL=1. TYP=1.



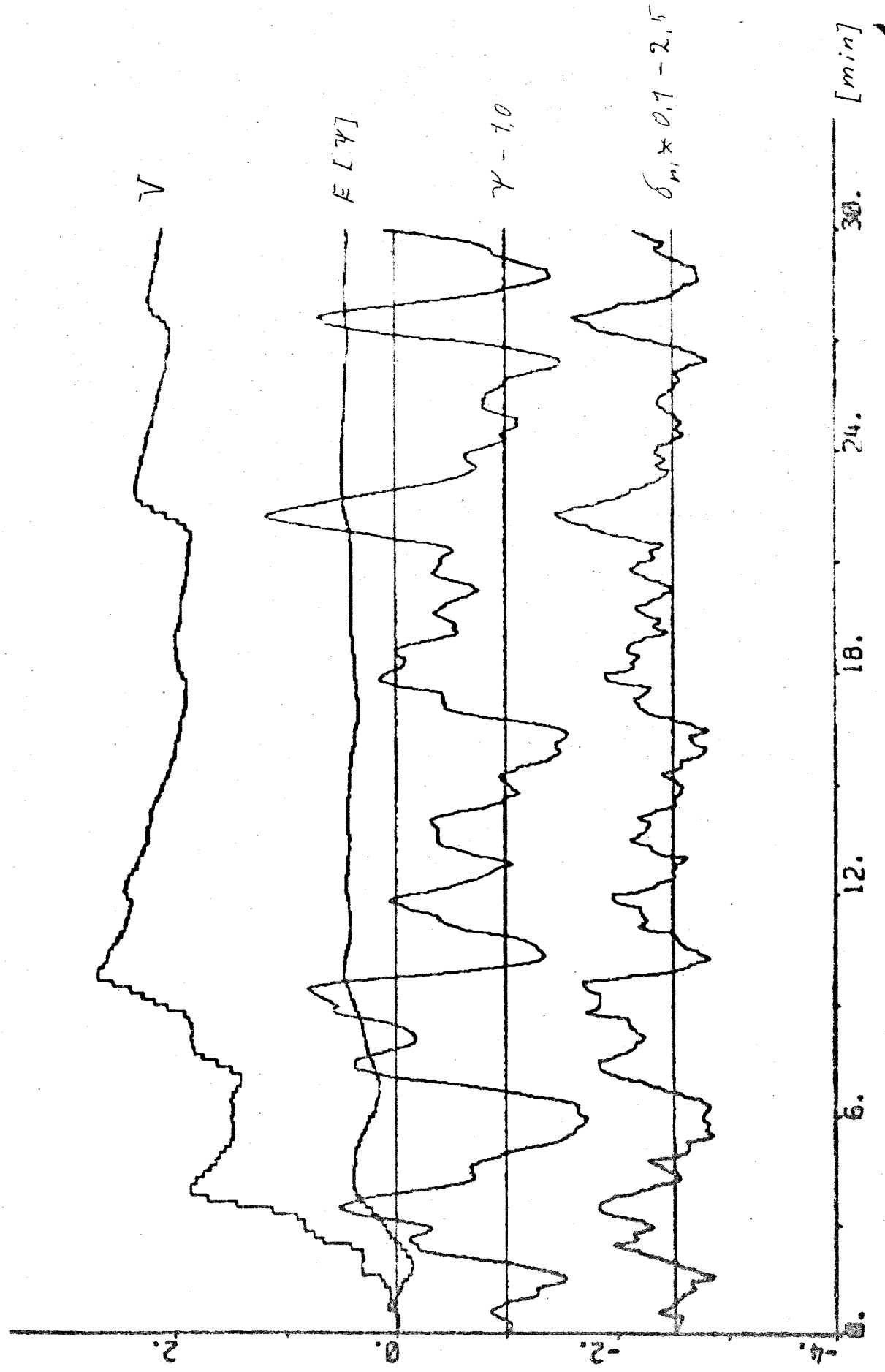
PLOT C27 C12 PL12 C35 PL5 C36 PL6 (C6)
K1=4. K2=60. K3=0. FIL=1. TYP=1.



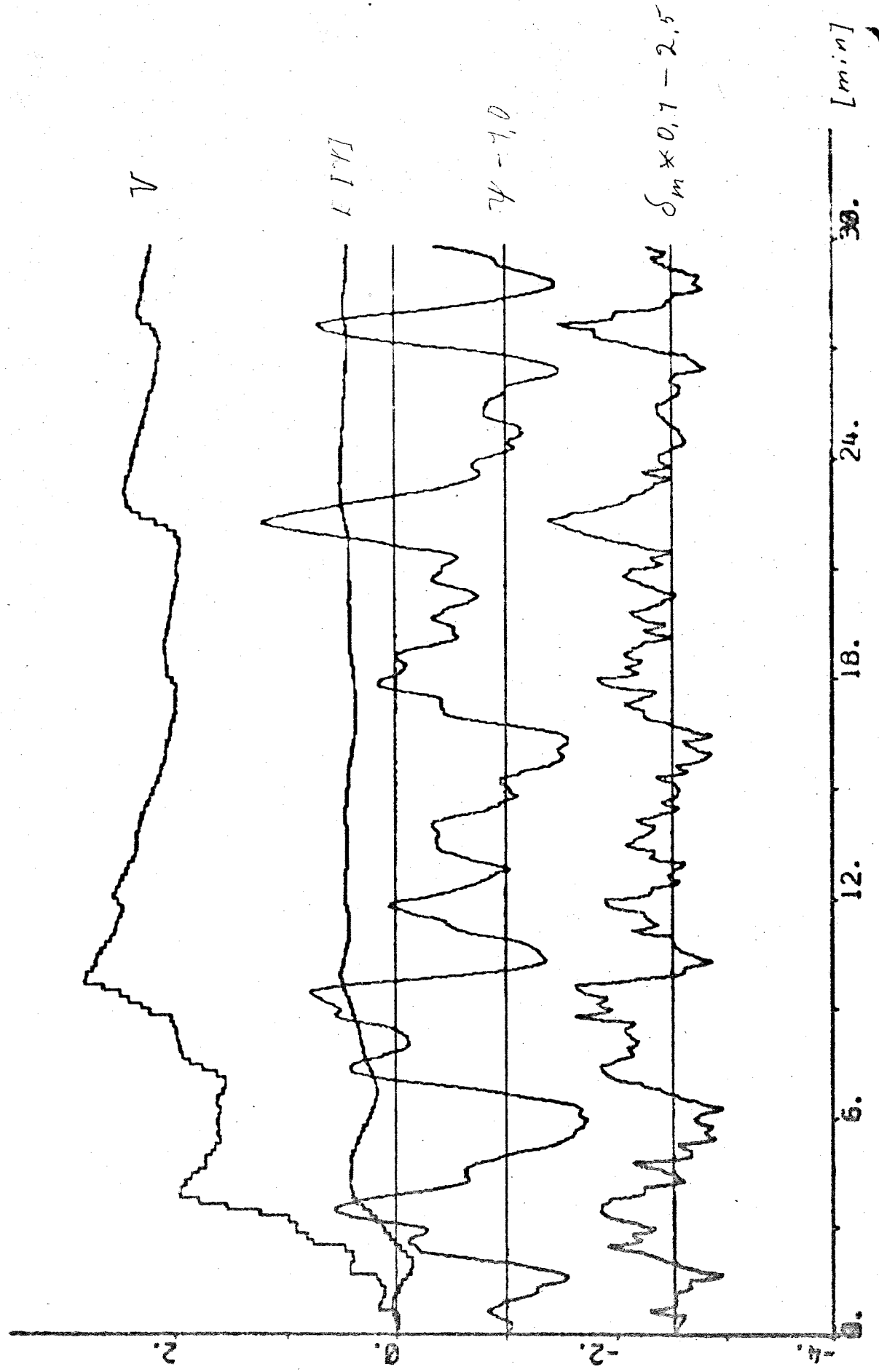
PL07 C27 C12 PL12 C35 PL5 C36 PL6 (C6)
K1=4. K2=70. K3=0. FIL=2. TYP=1.



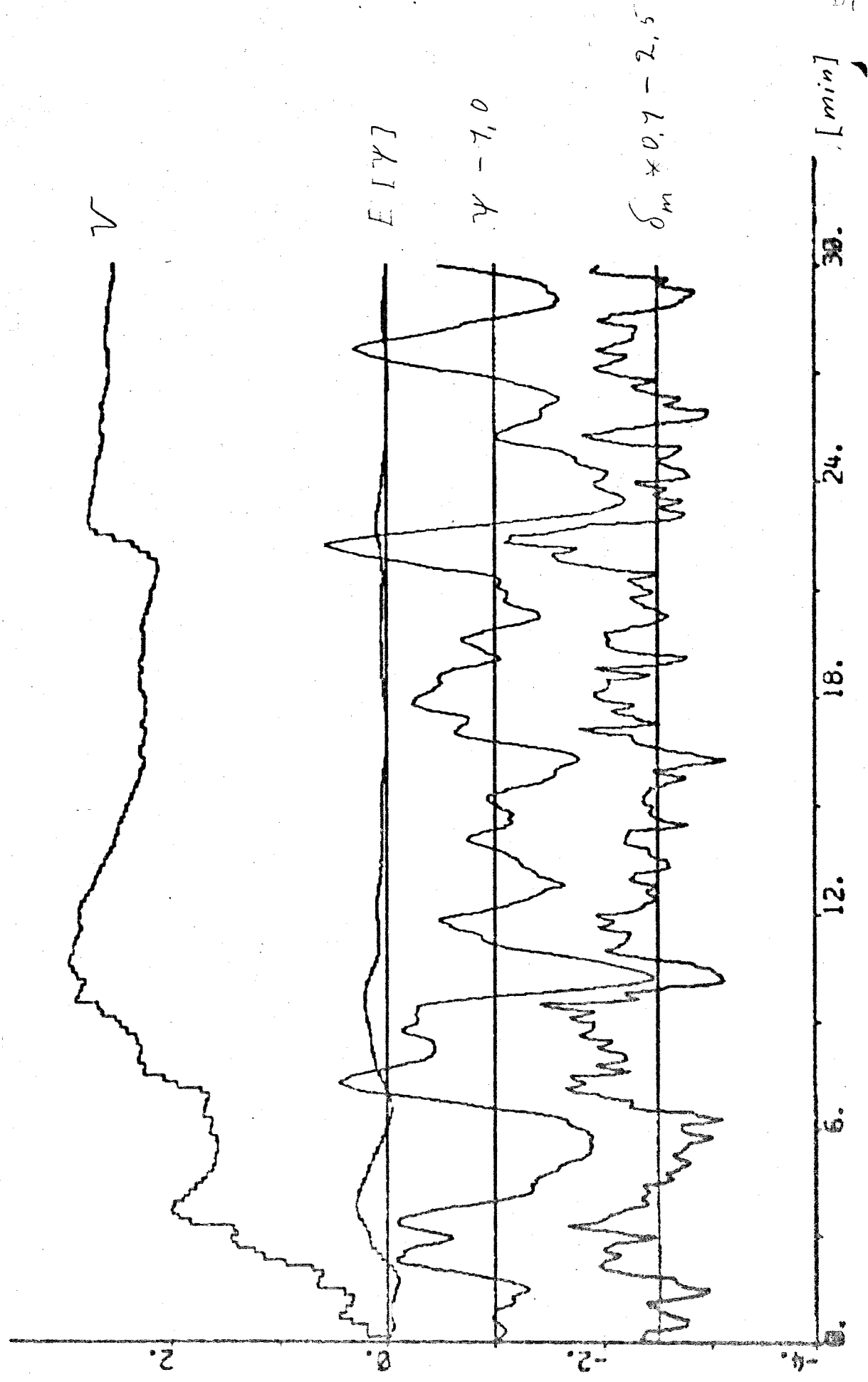
PLOT C27 C12 PL12 C35 PL5 C36 PL6 (C6)
 $K_1=4.$ $K_2=60.$ $K_3=0.$ $FIL=3.$ $TYP=1.$



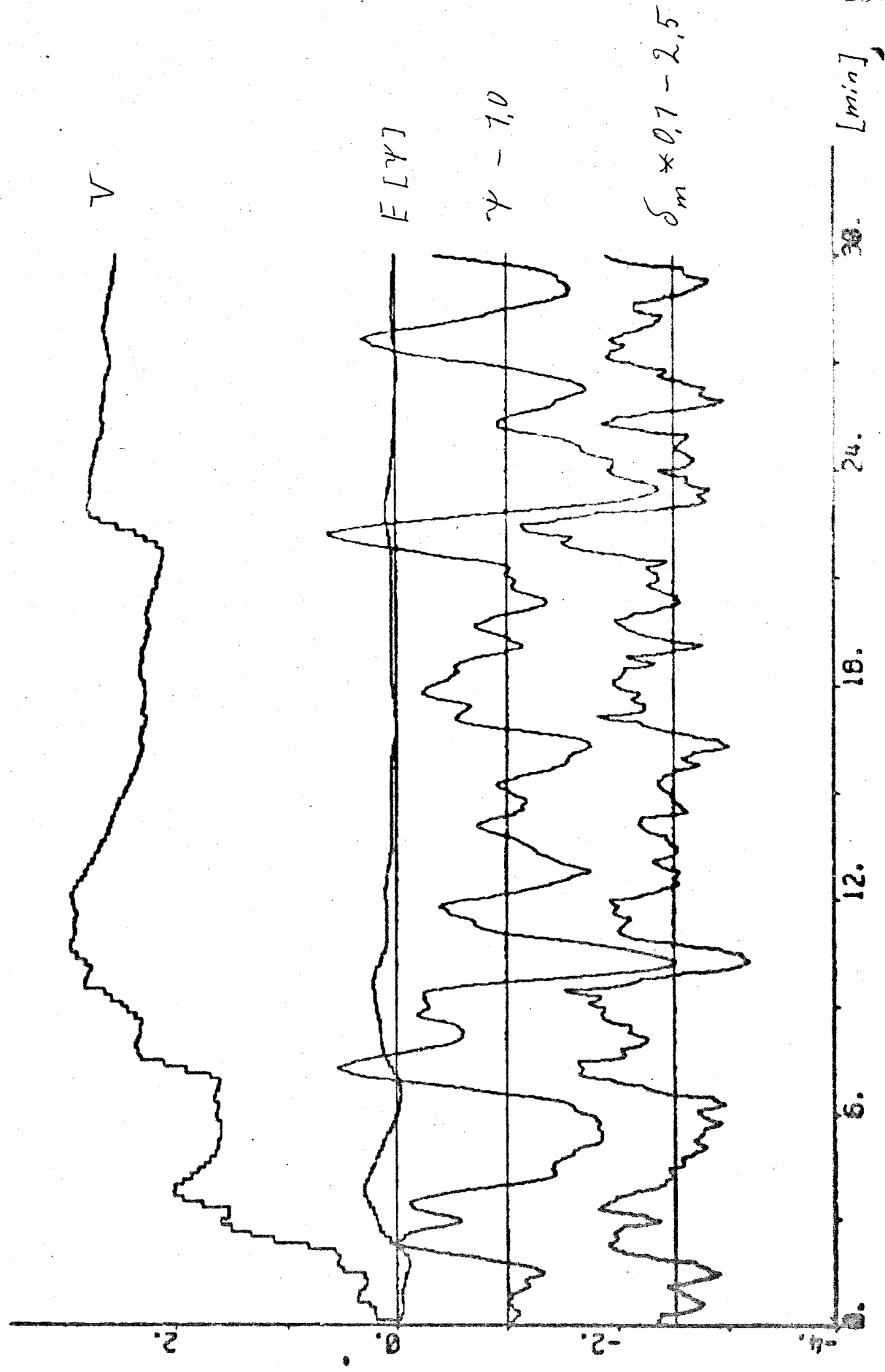
PLOT C27 C12 PL12 C35 PLS C36 PLS (C6)
K1=4. K2=60. K3=8. FIL=3. TYP=1.
 $R^{1/2}/I = 0.01$



PL07 C27 C12 PL12 C35 PL5 C36 PL6 (C6)
 $K_1=4$. $K_2=100$. $K_3=0.04$ $F_{IL}=1$. $TYP=1$.



PL07 C27 C12 PL12 C35 PL5 C36 PL6 (CB)
K1=4. K2=100. K3=0.04 FIL=2. Typ=1.



[min]

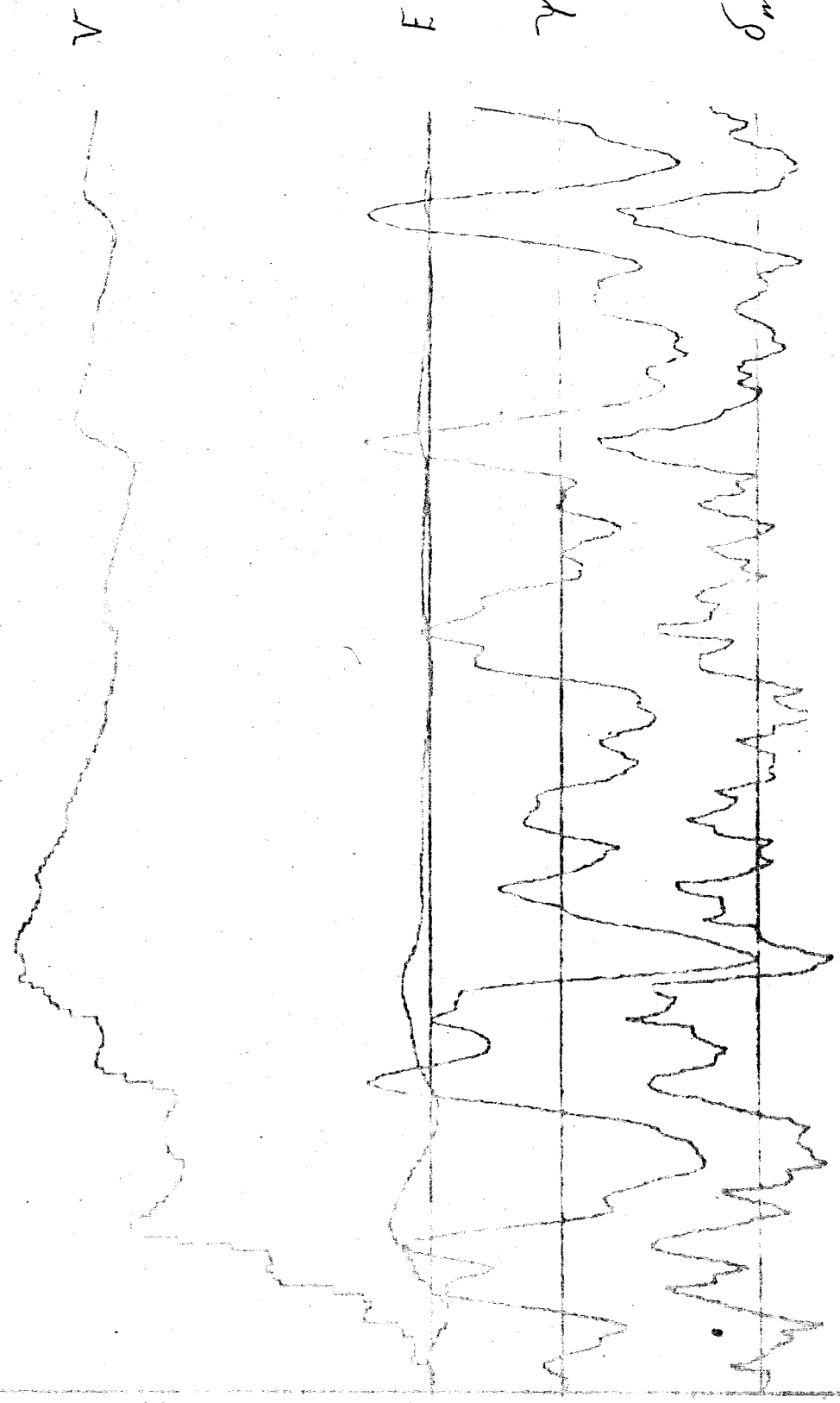
29.

30.

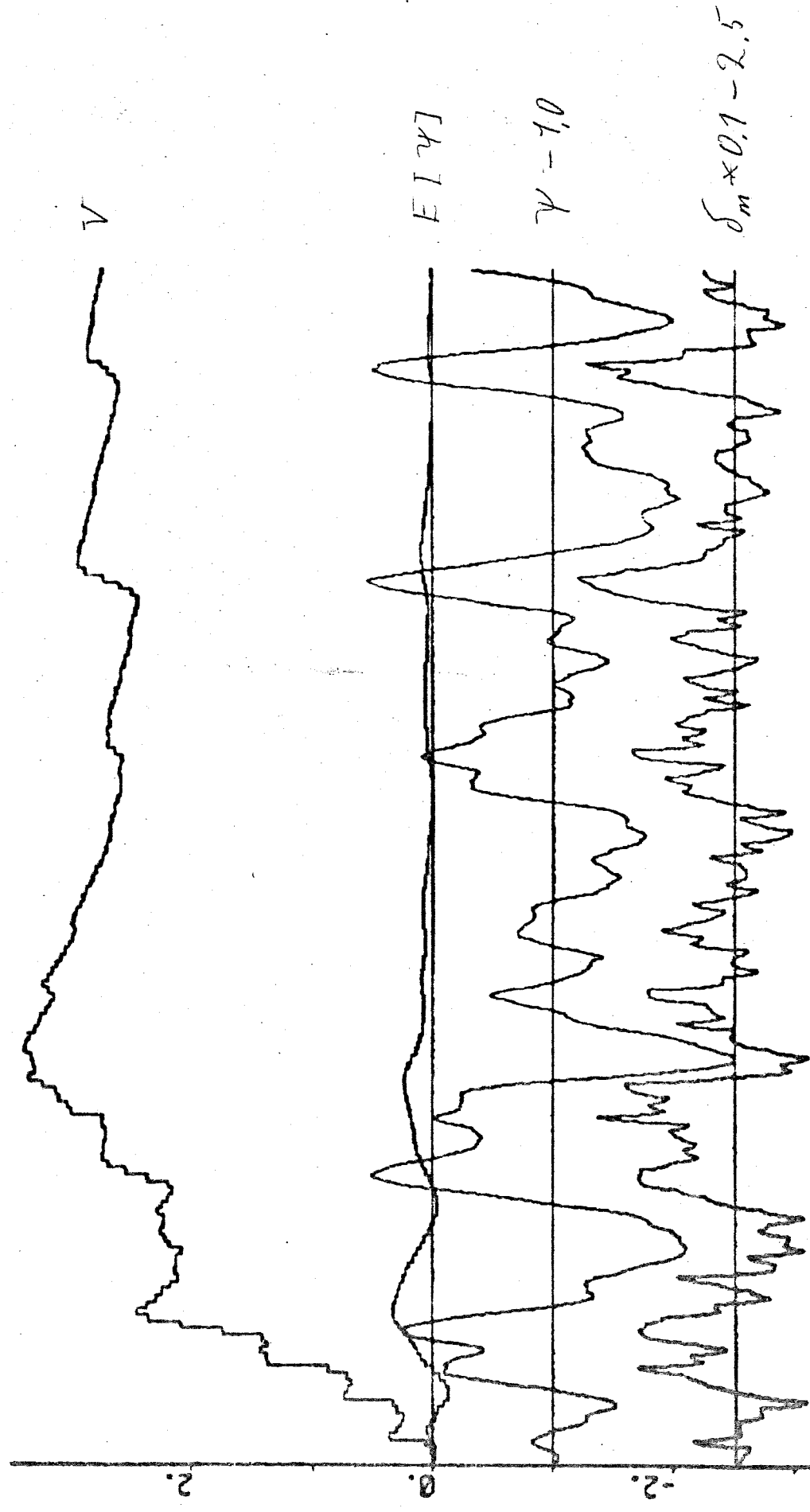
15.

12.

6.



$P_{OT} = 0.01$ C27 C12 PL12 C35 PL5 C36 PL6 (C6)
 $K_1 = 4$. $K_2 = 100$. $K_3 = 0.04$ $FIL = 3$. $TYP = 1$.
 $R44 = 0.01$



18.

12.

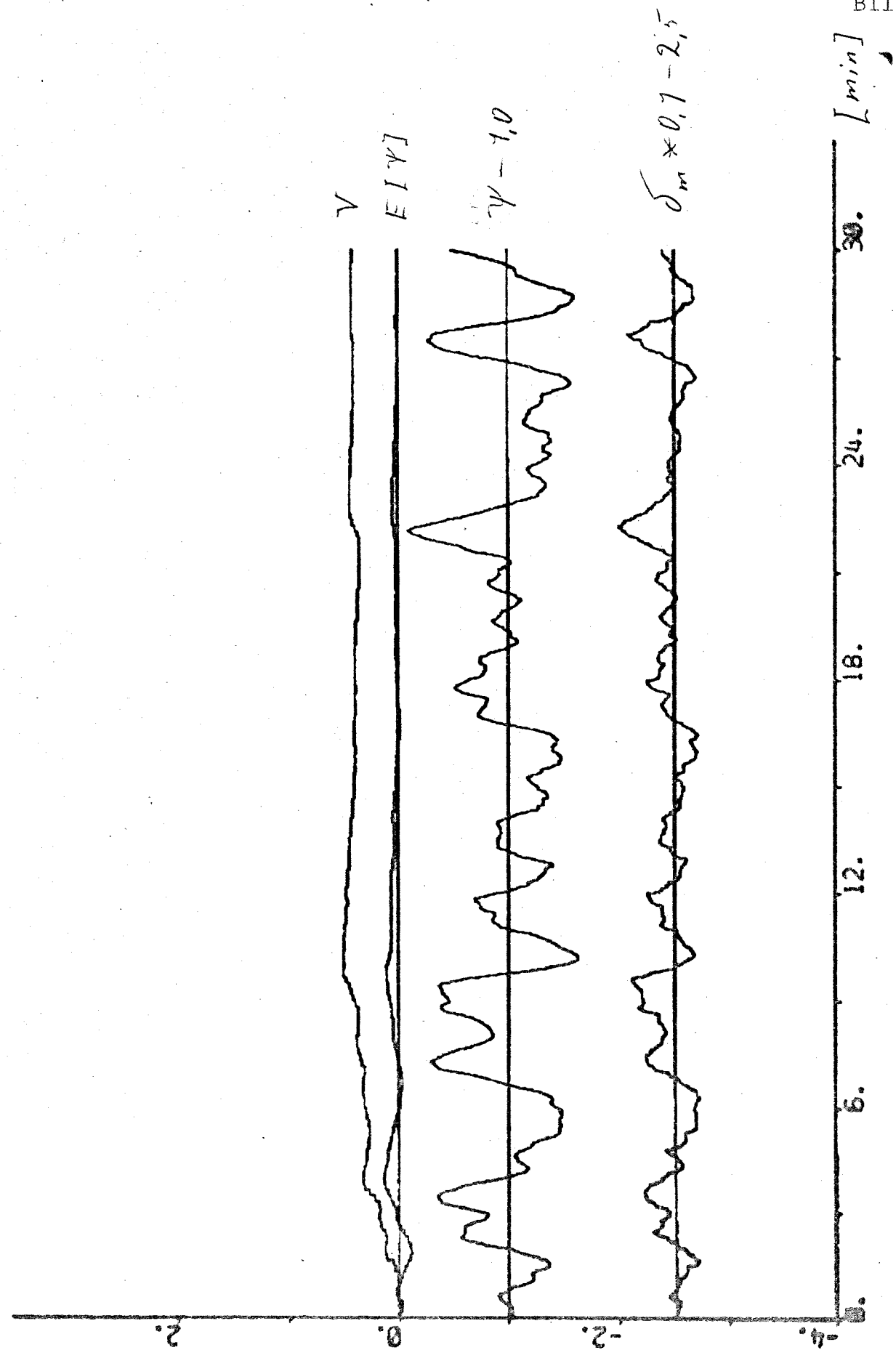
6.

3.

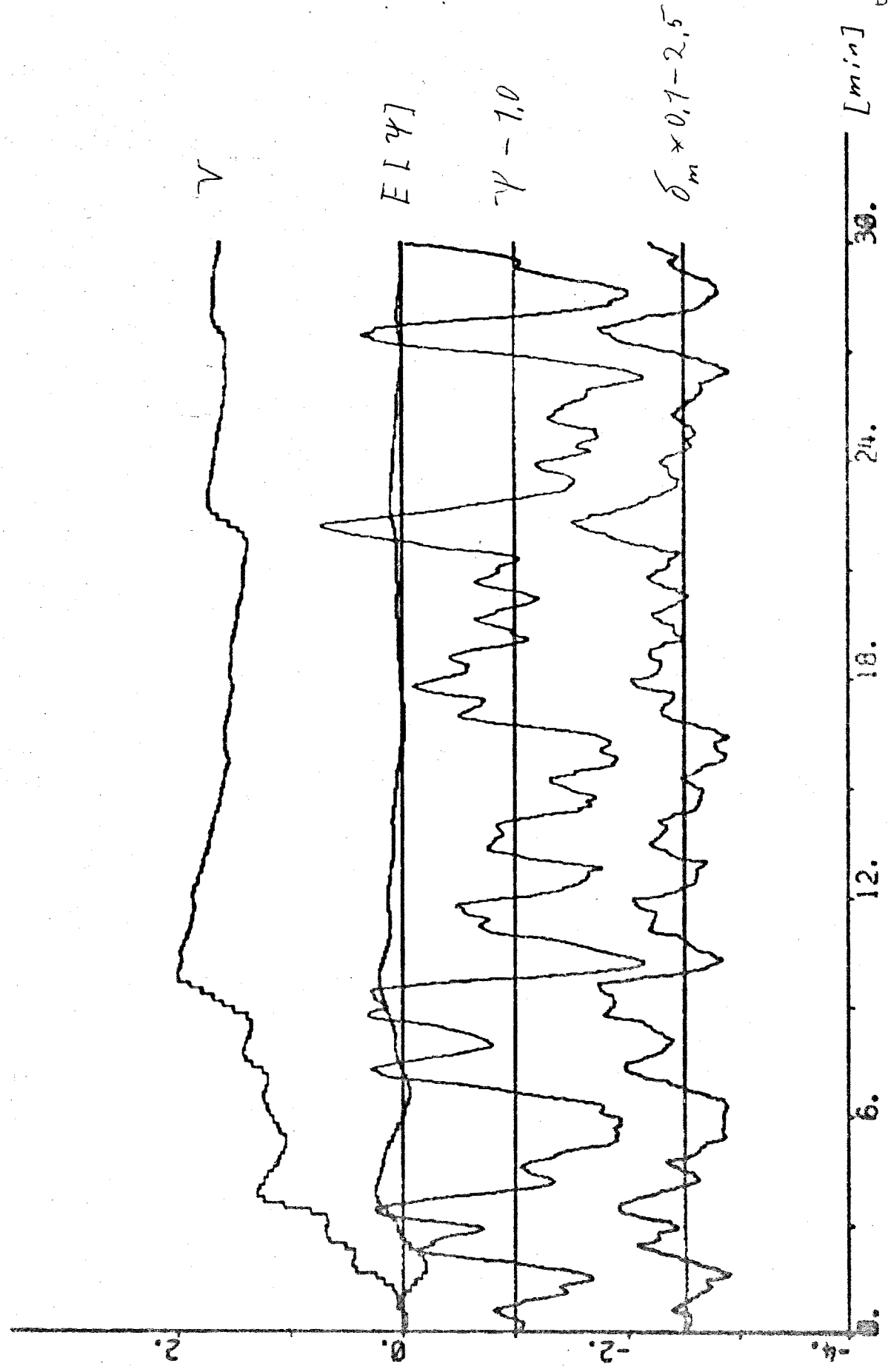
38.

24.

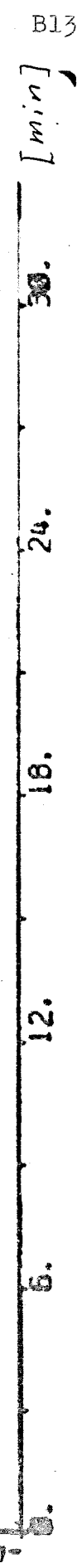
PLOT U27 C12 PL12 C35 PL5 C36 PL6 (CS)
K1=4. K2=20. K3=0.02 FIL=3. Typ=1.



C10. -27 C12 PL12 C35 PL5 C38 PL6 (CB)
K1=4. K2=30. K3=0.02 FIL.3. TYP.1.



PL07 C27 C12 PL12 C35 PLS C36 PL6 (C6)
K1=4 K2=80 K3=0.02 FIL=3 TYP=1



[min]

18.

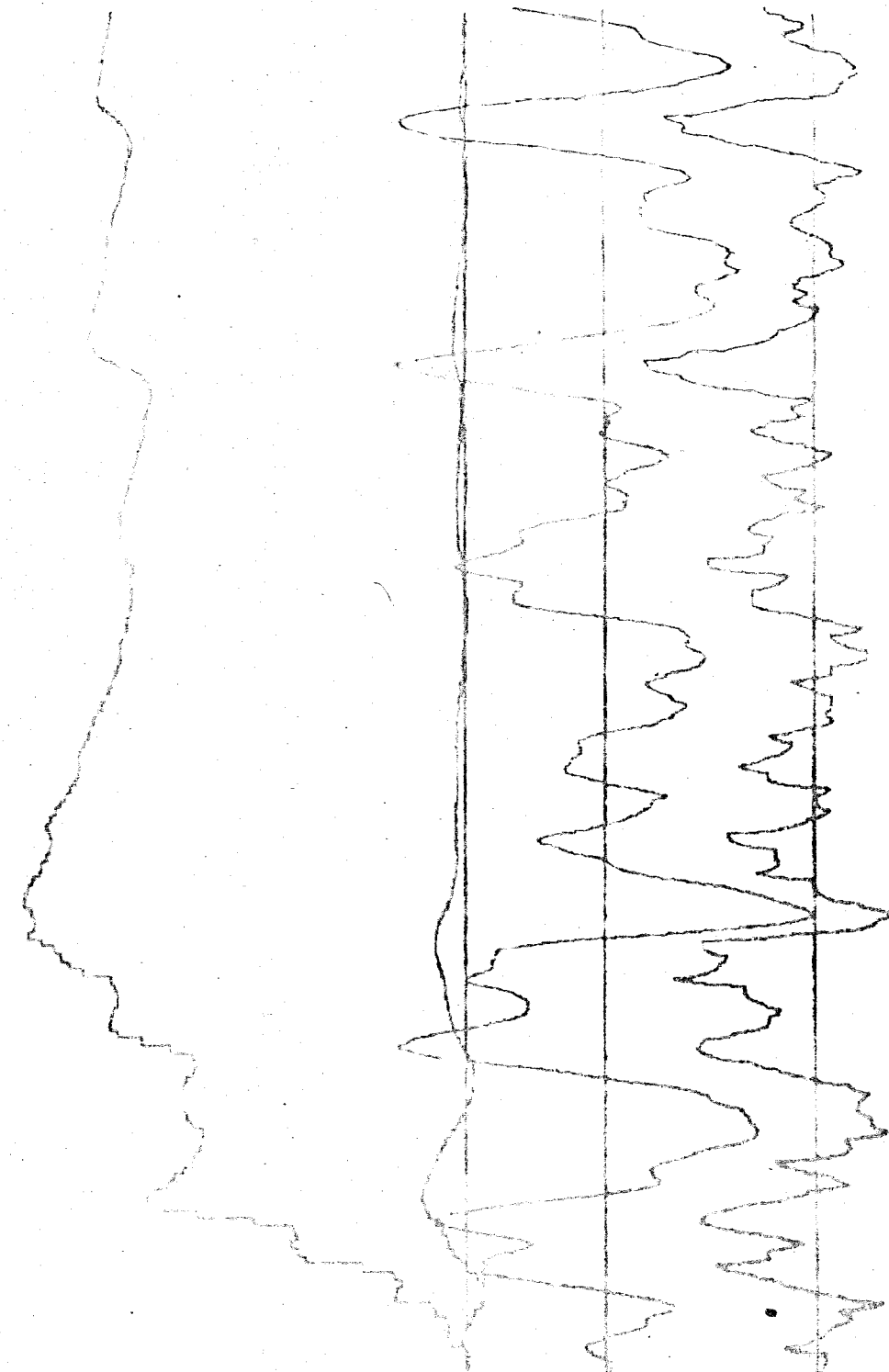
12.

5.

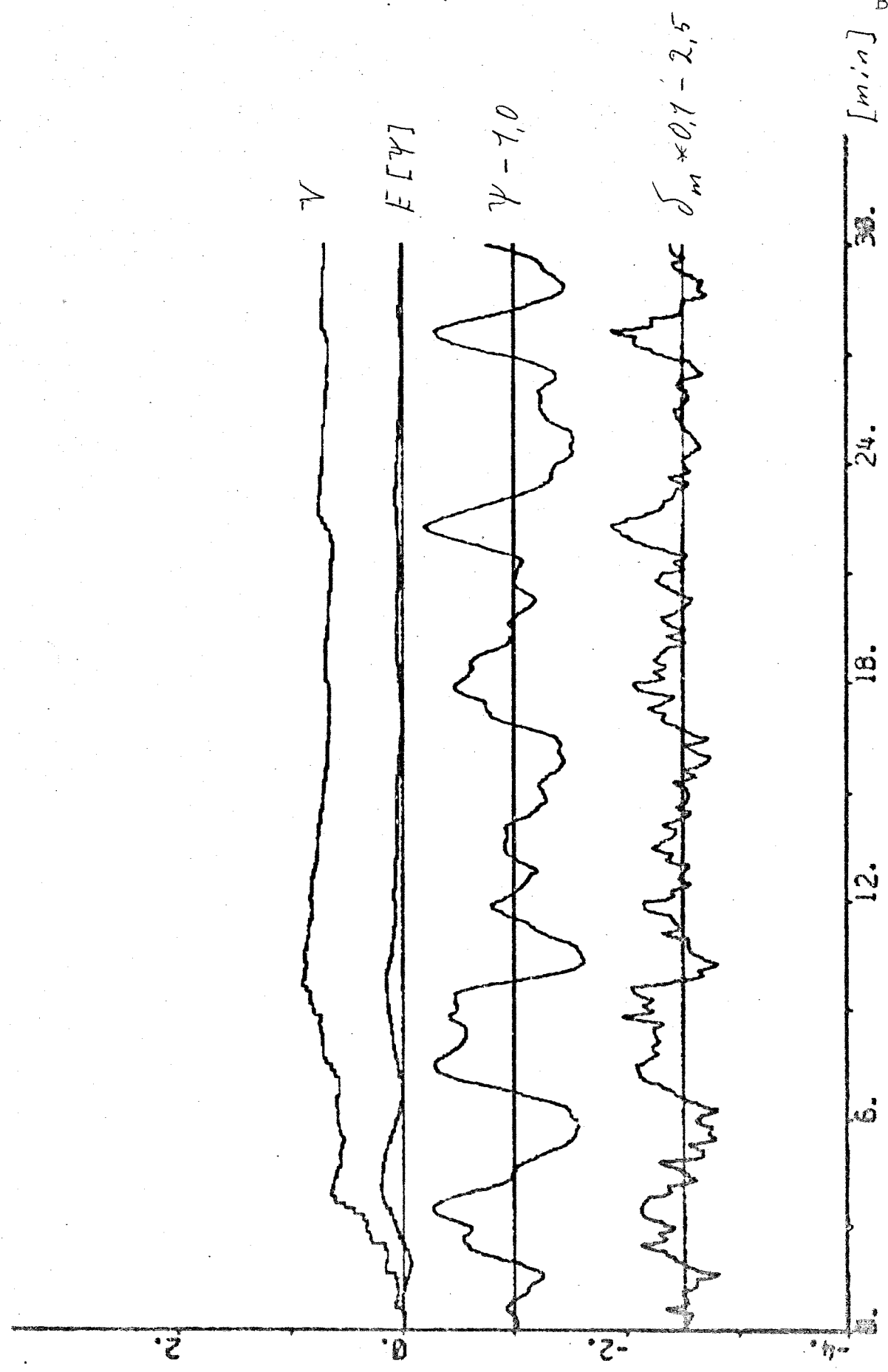
 $\delta_m \approx 0.1 - 2.5$ $\gamma = 1.0$

ELYI

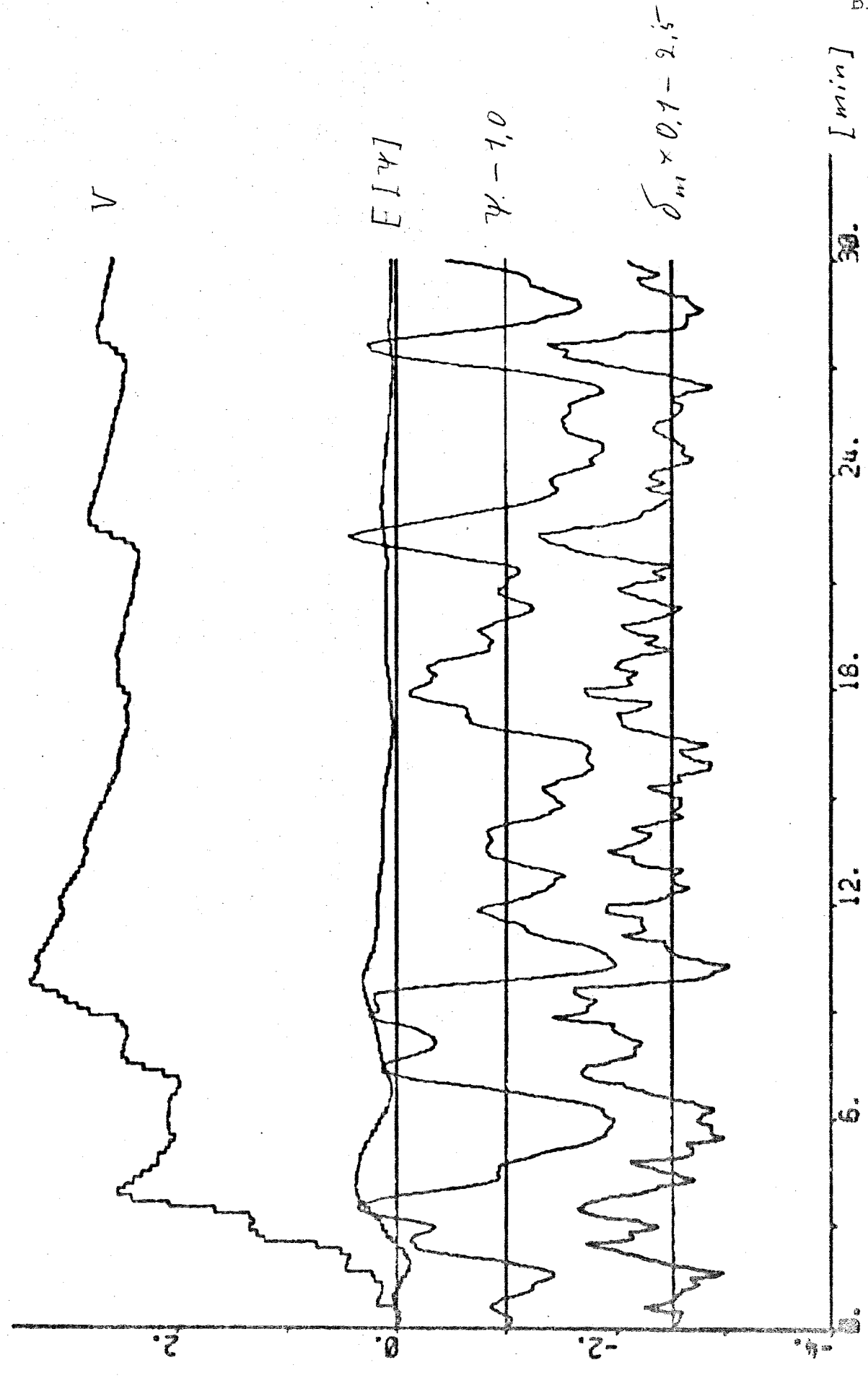
V



PL37 C27 C12 PL12 C35 PL5 C38 PL8 (CCS)
K1=4. K2=100. K3=0.02 FILE3. TYPE1.



PLOT C27 C12 PL12 C35 PL5 C38 PL6 (CS)
K1=4. K2=128. K3=0.02 FIL=3. TYP=1.



APPENDIX C

Simuleringar med adaptiv regulator

Regulator	Djupgående	Vind	Sida
311---	10.5m	svag	C2
320---	"	"	C3
311---	"	hård	C4
320---	"	"	C5
311---	20 m	svag	C6
320---	"	"	C7
311---	"	hård	C8
320---	"	"	C9
PID	"	"	C10
311---	25 m	svag	C11
320---	"	"	C12
311---	"	hård	C13
320---	"	"	C14
311---	20 m	hård	"Bias" 5° $0.05^{\circ}/s$
320---	"	"	"
PID	"	"	"
311---	"	"	$R_e(4,4) = 0.01$
320---	"	"	"
321---	"	"	"
321---	"	"	C21
311---	"	"	$T_s = 20s$
			C22

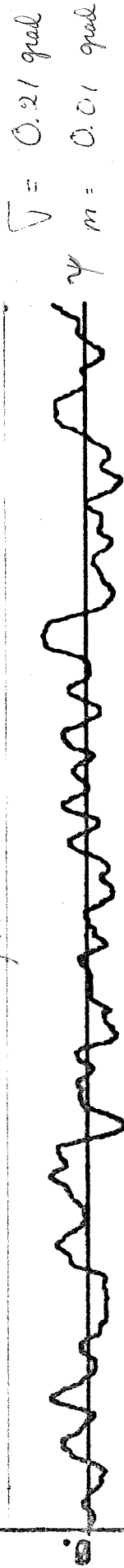
SELF-TUNING REGULATOR
 STRUKTUR: (NR·NB·NC) = (3·1·1)
 TIDSFORDRING: K=6
 SIMPLINNSINTERVALL: TS = 10 SEK
 DEND-ENTID: DB = 70 SEK
 EXPONENTIELL CLOCKSKEFATOR: RL = 0.98
 FEED-FORWARD: DIFFERENSER PA CIRVINKELHASTIGHETEN
 UTSIGNALBEGRANSNING: USL = 20 GRADER
 SKALFAKTOR: BG = -1

Succy vind

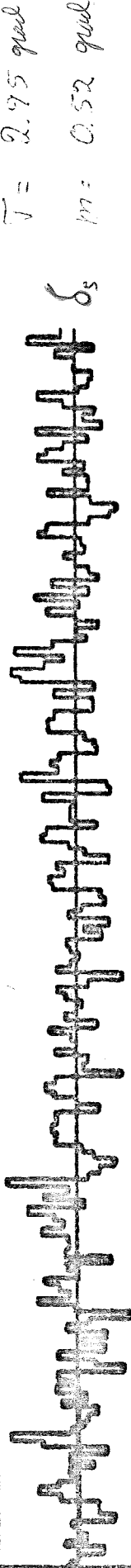
Jupgående 10.5 m

Förhinder 0.92

1 spool



No spool



12.

16.

24.

30.

CS

SELF-TUNING REGULATOR
 STRUKTUR: $\langle \text{NP}, \text{NB}, \text{NC} \rangle = \{3, 2, 0\}$
 TIIDSFORDRING: K=6
 SIMPLINGSINTERVALL: TS=10 SEK
 BERD-BERT TID: DB=70 SEK
 EXPONENTIELL GLOMSKEFATOR: RL=0.98
 FEED-FORWARD:
 UT SIGNALBEGRANMING: USL=20 GRADER
 SKNLFAKTOR: BE=-1

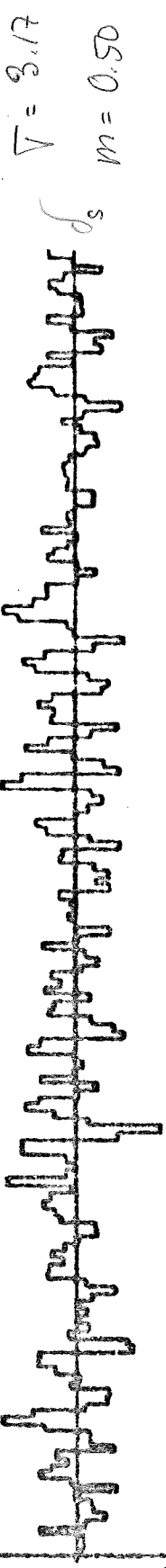
Svag vind

Djupgående 105m

Förluster 1.11

$T = 0.21$

$m = 0.01$



30.

18.

24.

12.

6.

-3.

03

SELF-TUNING REGULATOR

STRUKTUR: (NA, NB, NC) = (3, 1, 1)

TIDSFORDRJNING: $K_s = 0$

SAMPLINGSINTERVALL: $T_S = 10$ SEK

DEAD-BEAT TID: $DB = 70$ SEK

EXPONENTIELL GLOMSKEFAKTOR: $RL = 0.98$

FEED-FORWARD: DIFFERENSER PÅ CIRVINKELHASTIGHETEN

UTSIGTLEGRANNSING: $USL = 20$ GRADER

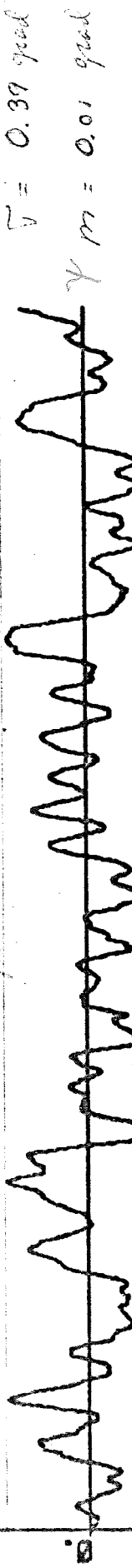
SKALFAKTOR: $BS = -1$

Hård vind

Njupgående 10,5 m

Förkunten 2,69

1 grad

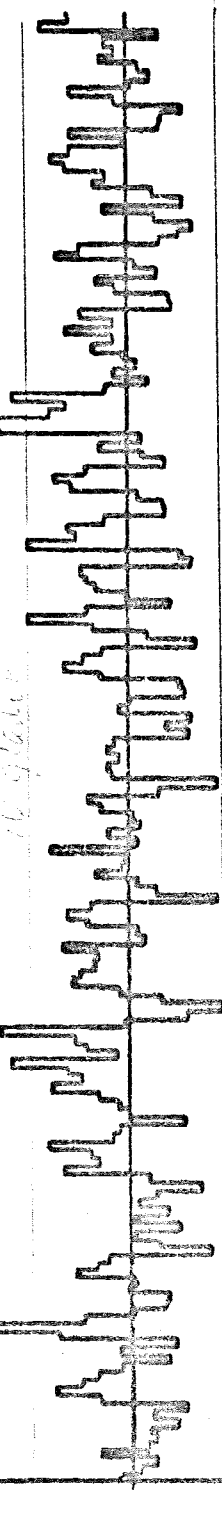


$$\gamma = 0.01 \text{ grad}$$



$$T = 4.78 \text{ grad}$$

$$m = 1.13 \text{ grad}$$



18. 12. 1981

24.

Tid
Total

Time

SELF-TUNING REGULATOR

$$\text{STRUKTUR: } (m_a, m_b, m_c) = (3, 2, 0)$$

$$\text{TIDSFORDRÖJNING: } K=6$$

$$\text{STIMPLINGSINTERVALL: } TS=10 \text{ SEK}$$

$$\text{DEND-BENT TID: } DB=70 \text{ SEK}$$

$$\text{EXPONENTIELL CLONSKEFAKTOR: } RL=0.98$$

FEED-FORWARD:

$$\text{UTSIGNALBEGÄNSNING: } USL=20 \text{ GRADER}$$
$$\text{SKALFAKTOR: } BG=-1$$

Händ vissla

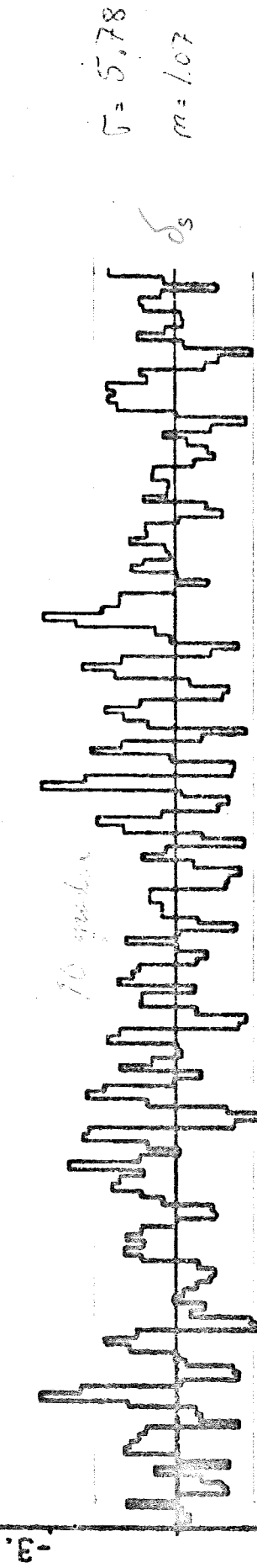
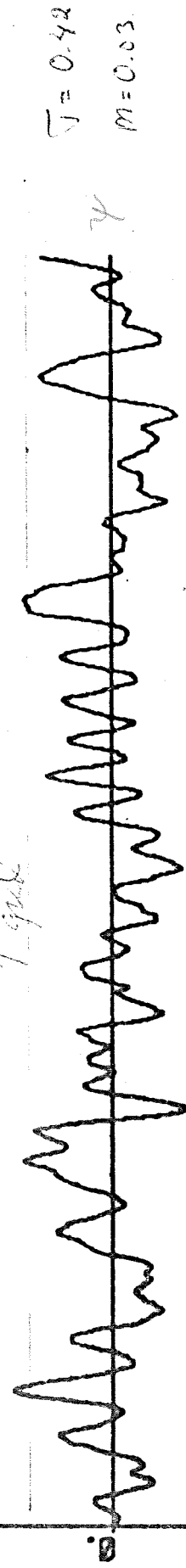
$$\text{Djupgående } 10.5 \text{ m}$$

$$\text{Förbenter } 3.83$$

m

12. 16. 24. 30.

1 grupp



05

SELF-TUNING REGULATOR

STRUKTUR: (NA, NB, NC) = (3, 1, 1)

TIDSFORDRJNING: K=8

SAMPLINGSINTERVALL: TS = 10 SEK

DEAD-BEAT TID: DB = 70 SEK

EXPONENTIELL CLONSKEFAKTOR: RL = 0.98

FEED-FORWARD: DIFFERENSER PA CIRVINKELHASTIGHETEN

UTSIGNALBEGRANSNING: USL = 20 GRADER

SKALFAKTOR: BO = -1

Surv. vinkel

Djeppgående 20 m

För burske 0.95

1 grader

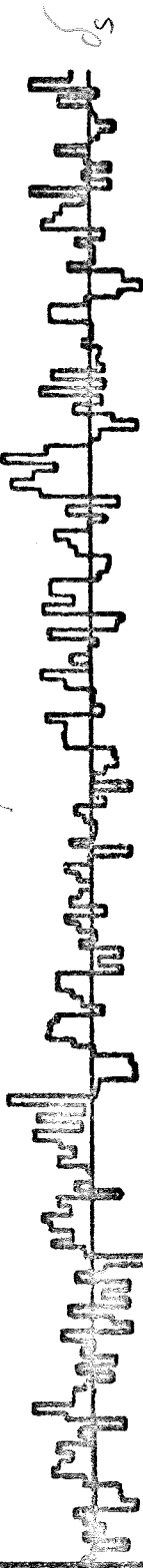
T = 0.24



m = 0.95

10 grader

T = 0.83



m = 0.83

6. 12. 18. 24.

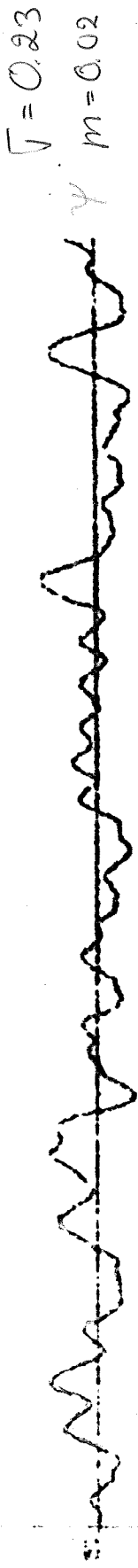
30.

24. 18. 12. 6.

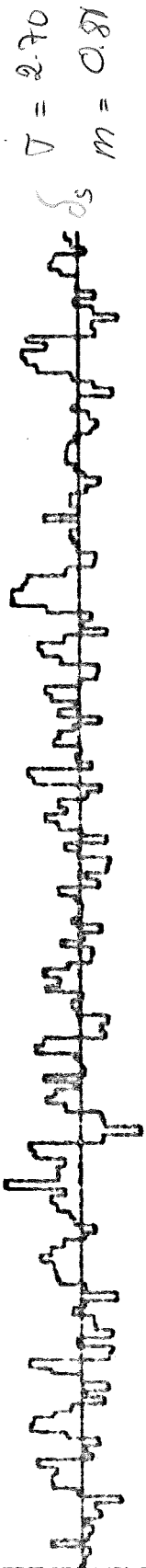
SELF-TUNING REGULATOR
 STRUKTUR: $(M, N_D, N_C) = (3, 2, 0)$
 TIDSFORDRÖJNING: $K = 6$
 SAMPLINGSINTERVALL: $T_S = 10$ SEK
 DEBD-EERT TID: $DD = 70$ SEK
 EXPONENTIELL GLÖNSKEFAKTOR: $RL = 0.98$
 FEED-FORWARD:
 UTSIGNALBEGRÄNSNING: USL = 20 GRADER
 SKALFAKTOR: $B_0 = -1$

Svag vind

Djupgående 20 m
Förstärker 0.92



-3. 18. 12. 24.



30.

24.

SELF-TUNING REGULATOR

STRUKTUR: $\{ \text{MB}, \text{NB}, \text{NC} \} = \{ 3, 1, 1 \}$

TRANSFORPRO INC., K=6

SAMPLINGSINTERVALL: TS=10 SEK

卷之三

EXPOSURE TO CIGARETTE SMOKE AND RISK OF MORTALITY

EFFECTS OF DIFFERENT PRACTICES ON NITRATE LEACHING

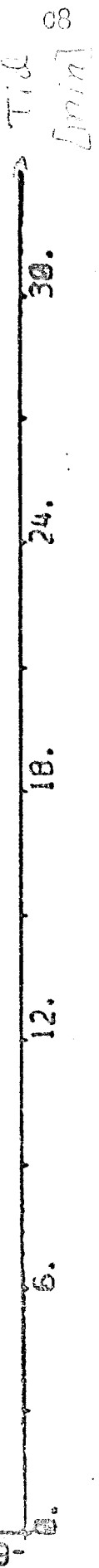
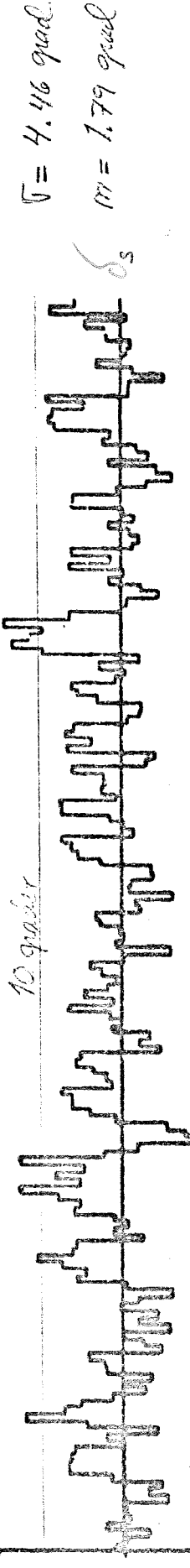
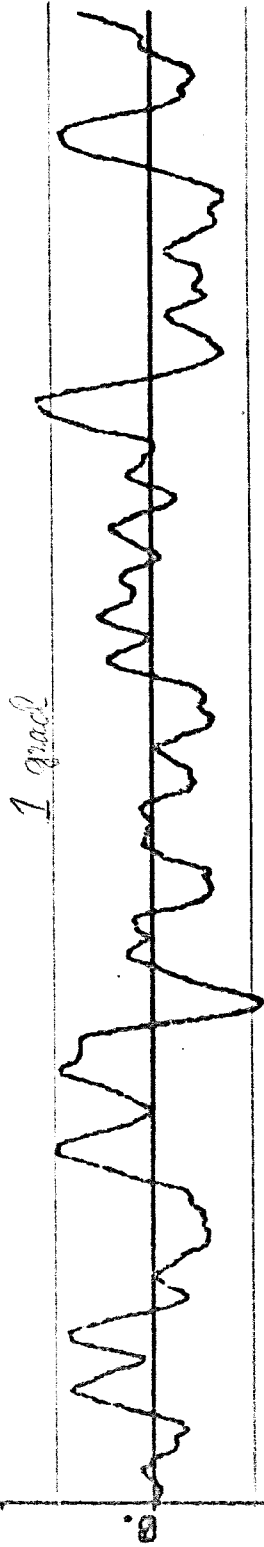
THE BEGINNING: HIS = 23 GRADER

SKOOL FAKTOR! BOB=1

Hard Vind

Djupgående 26 m

Förbundet 2.78



SELF-TUNING REGULATOR

STRUKTUR: (NA, NB, NC) = (3, 2, 0)

TIDSFORDRÖJNING: K=6

SAMPLINGSINTERVALL: TS=10 SEK

END-BEAT TID: CD=70 SEK

EXPONENTIELL CLONSKEFAKTOR: RL=0.93

FEED-FORWARD:

UTSIGNALBEGRÄNSNING: USL=20 GRADER

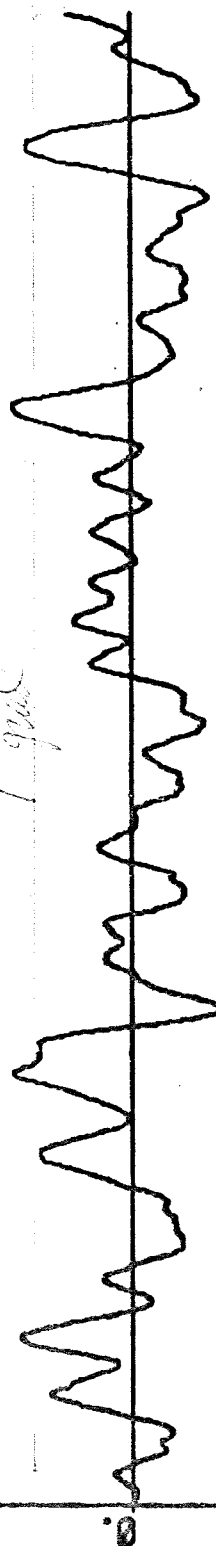
SKALFAKTOR: BO=-1

Härst vinkel

Djupgrända 20 m

Förstärka 3.21

I gränd

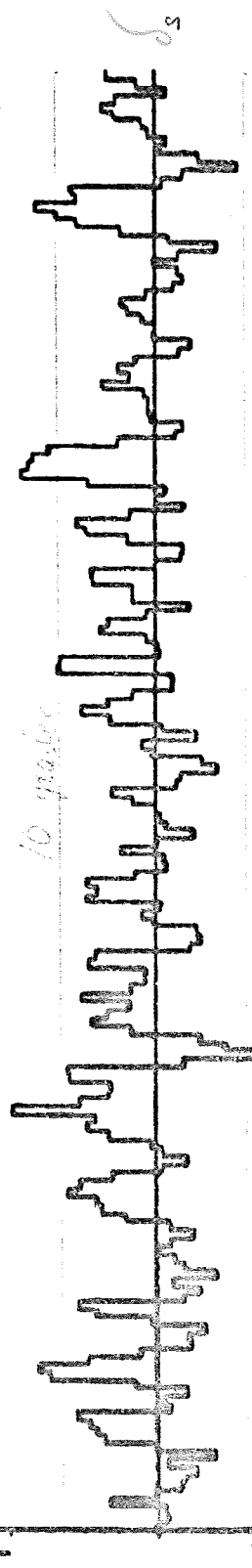


T = 0.47

m = 0.05

T = 4.82

m = 1.72



12. 16. 24. 30.

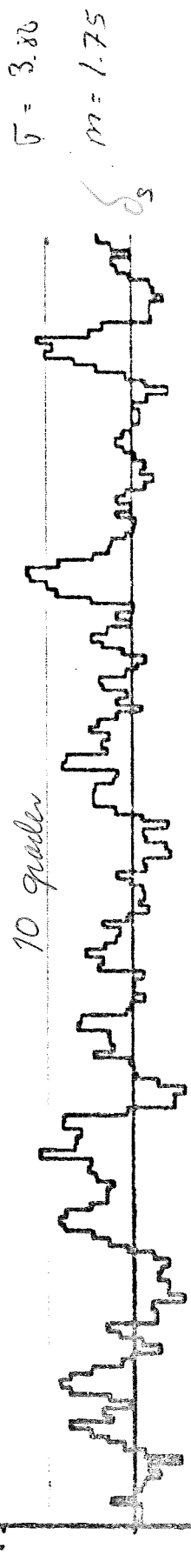
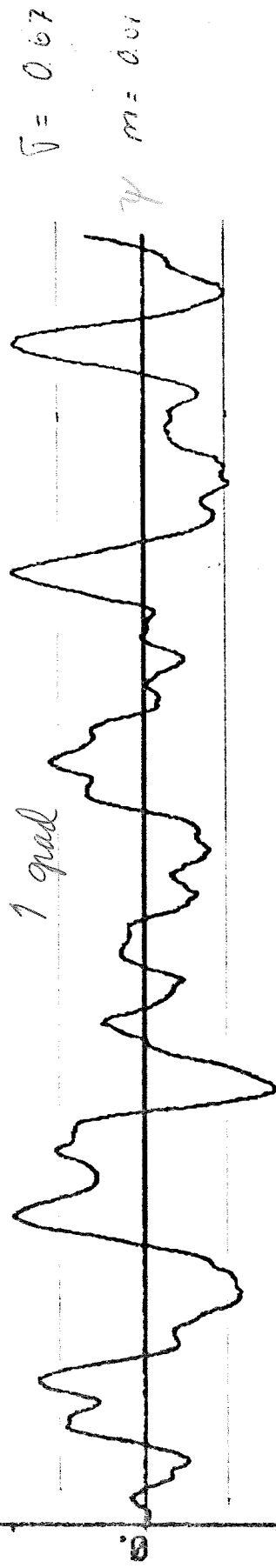
09

PID - Regulator

$$\begin{cases} P = 4 \\ I = 0.04 \\ D = 100 \end{cases}$$

Gir vinkel hastigheten = derivert krus

Hånd vrid
Dipgående 26m
Forløper 2.53



6. 12. 18. 24.

30.

SELF-TUNING REGULATOR
 STRUKTUR: (NR, NB, NC) = (3, 1, 1)
 TIDSFORDRÖJNING: K=8
 SAMPLINGSINTERVALL: TS=10 SEK
 DEND-PERNT TID: EB=70 SEK
 EXPONENTIELL CLONSKEFAKTOR: RL=0.98
 FEED-FORWARD: DIFFERENSER PA GIRDVINKELHASTIGHETEN
 UTSIGNALBEGRÄNSNING: USL=20 GRADER
 SKALFAKTOR: BO=-1

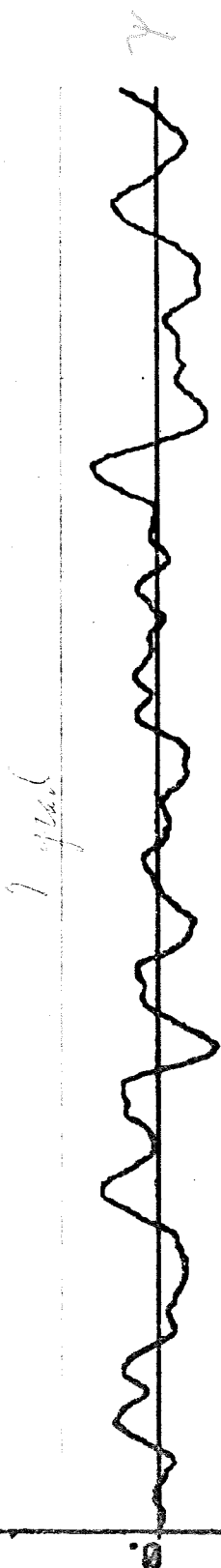
Succé vind

Djupgående 25 m

Förkaster 1.02

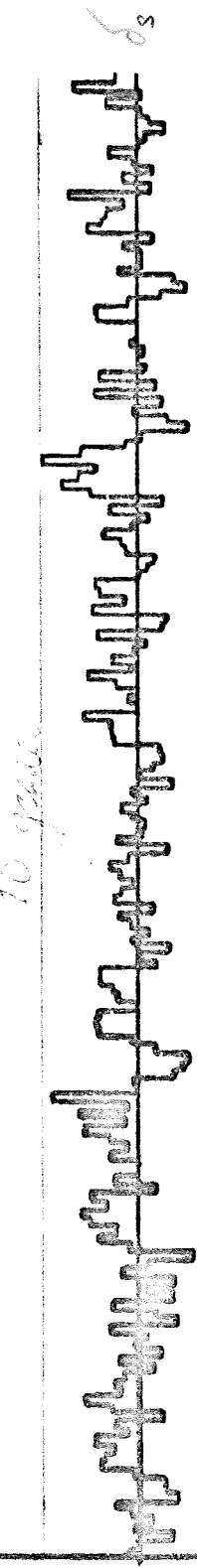
EXPONENTIELL CLONSKEFAKTOR: RL=0.98
 FEED-FORWARD: DIFFERENSER PA GIRDVINKELHASTIGHETEN
 UTSIGNALBEGRÄNSNING: USL=20 GRADER
 SKALFAKTOR: BO=-1

$$\bar{Y} = 0.26$$



$$m = 0.501$$

$$\bar{Y} = 0.87$$



$$m = 0.96$$

12. 12. 18. 24. 30.

Flame 2.7.1991 15:11

SELF-TUNING REGULATOR

STRUKTUR: CNA, NB, NC = C3, 2, 0

TIDSFÖRDRÖJNING K=6

SAMPLINGSINTERVALL = TS = 10 sek

DEAD-BEAT TID: DB = 70 sek

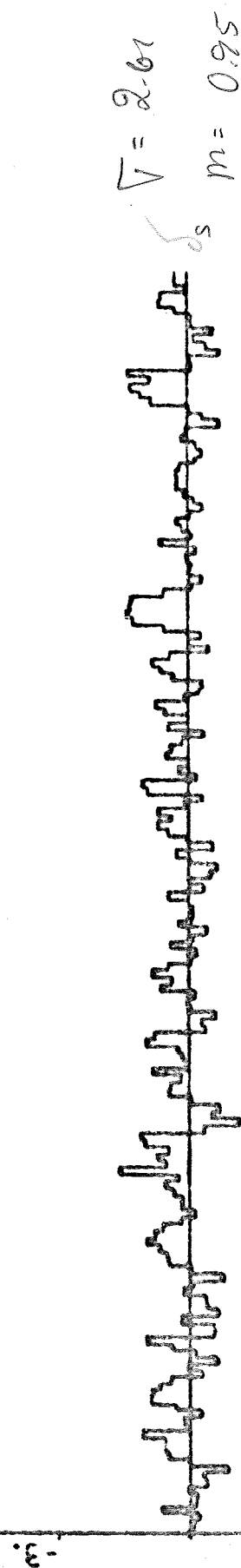
EXPONENTIELL GLÖNSKÄFFER: RL = 0.98

FEED-FORWARD:

UTS: GRÅSEGDSMUSIC: USL = 26 GRÖDER

SKALFAKTÖR: 0.8 - 1.1

Swag vivd
Di up gäende 25m
Für Welle 0.91

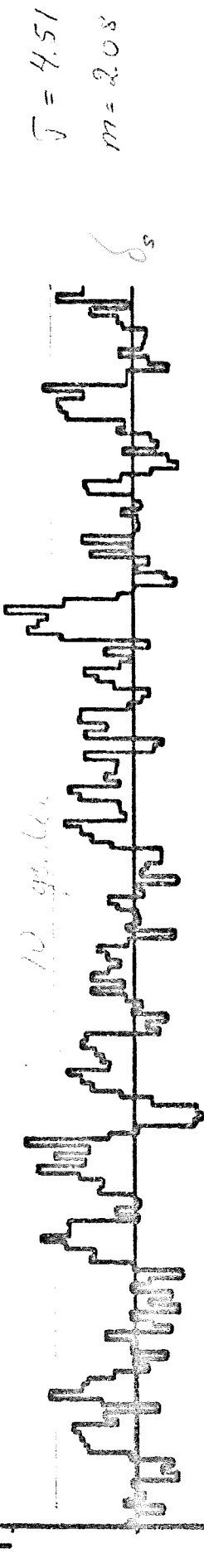
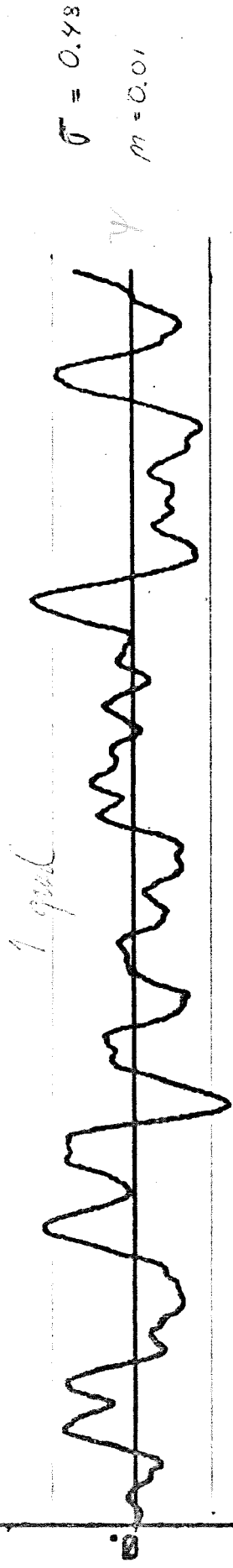


5. 12. 16. 24. 30.

SELF-TUNING REGULATOR
 STRUKTUR: $(nn, nb, nc) = (3, 1, 1)$
 TIDSFORDRING: K=6
 SAMPLINGSINTERVALL: TS=10 SEK
 ENDENT TID: DD=70 SEK
 EXPONENTIALTOLDSKEFAKTOR: RL=0.93
 FEED-FORWARD: DIFFERENSER PA CIRVINKELHASTIGHETEN
 UTSIGTSLBEGRANSNING: USL=20 GRADER
 SKALFAKTOR: BO=-1

Hård vind

Djupgående 25 m
Forstørrelse 303



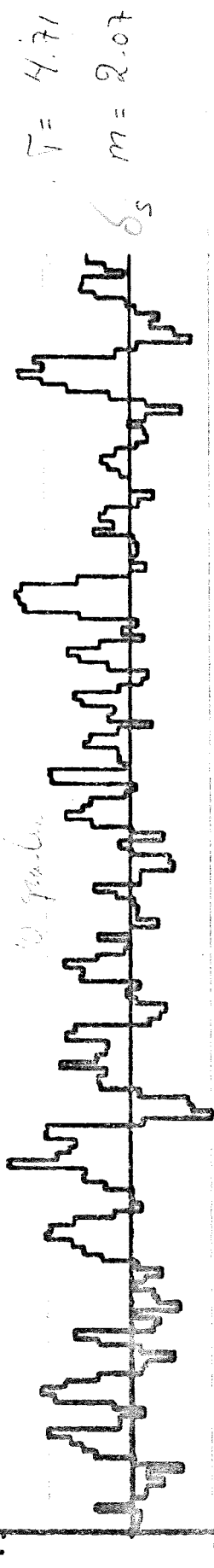
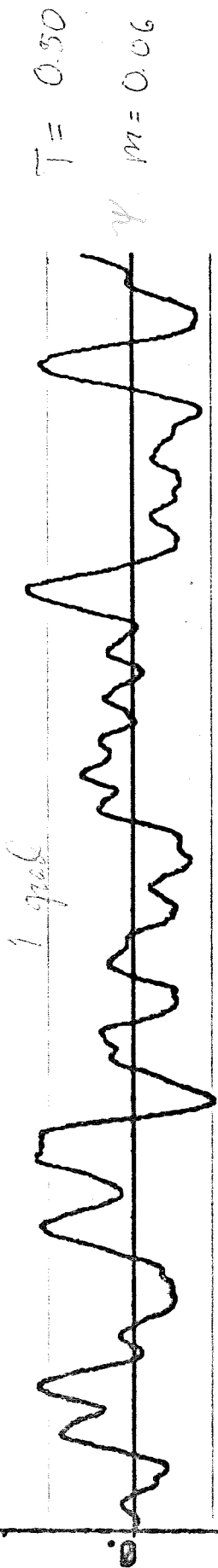
12. 18. 24. 30.

SELF - TUNING REGULATOR
 STRUKTUR: $\langle \text{NA}, \text{NB}, \text{NC} \rangle = (3, 2, 0)$
 TIDSFORDRÖJNING: $K = 6$
 SAMPLINGSINTERVALL: $T_S = 10 \text{ SEK}$
 DEPD-BERT TID: $DB = 70 \text{ SEK}$
 EXPONENTIELL GLOMSKEFAKTOR: $RL = 0.98$
 FEED-FORWARD:
 UTSIGNALBEGRÄNSNING: $USL = 20 \text{ GRADER}$
 SKALFAKTOR: $BO = -1$

Hörl vinkel

2.5 m

Förhöjt 3.3 i



6. 12. 16. 24. 30.

c14

Hård vinkel

SE-P-TUNING REGULATOR

STRUKTUR: $(N_A, N_B, N_C) = (3, 1, 1)$

TIDSFÖRDRÖJNING: K=6

SAMPLINGSINTERVALL: TS=10 SEK

DEFD-FERT TID: DB=70 SEK

EXPONENTIELL GLONSKEFAKTOR: PL=0.98

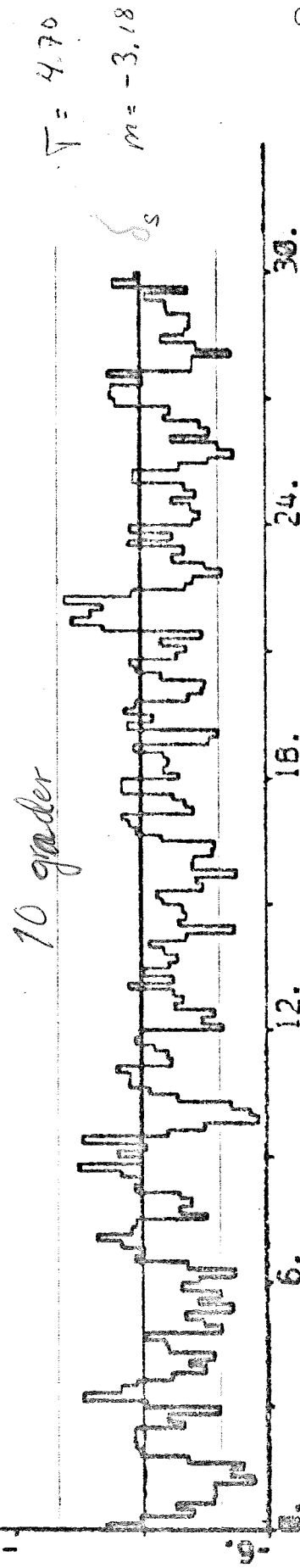
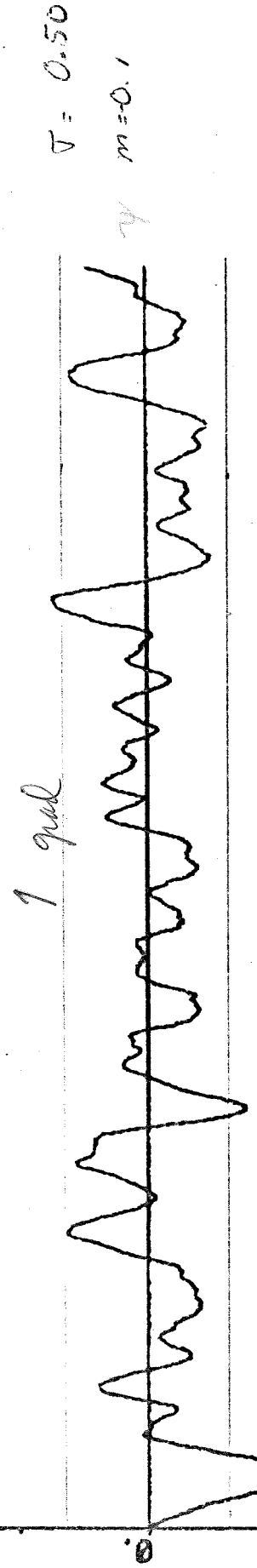
FEED-FORWARD: DIFFERENSER PA CIRVINKELHASTIGHETEN

UTSIGNALBEGRÄNSNING: USL=20 GRADER

SKALFAKTOR: BO=-1

Djupgående 20 m
Röder 5°
Bias { cirvinkel hast. 0.05%

Förluster 3.07



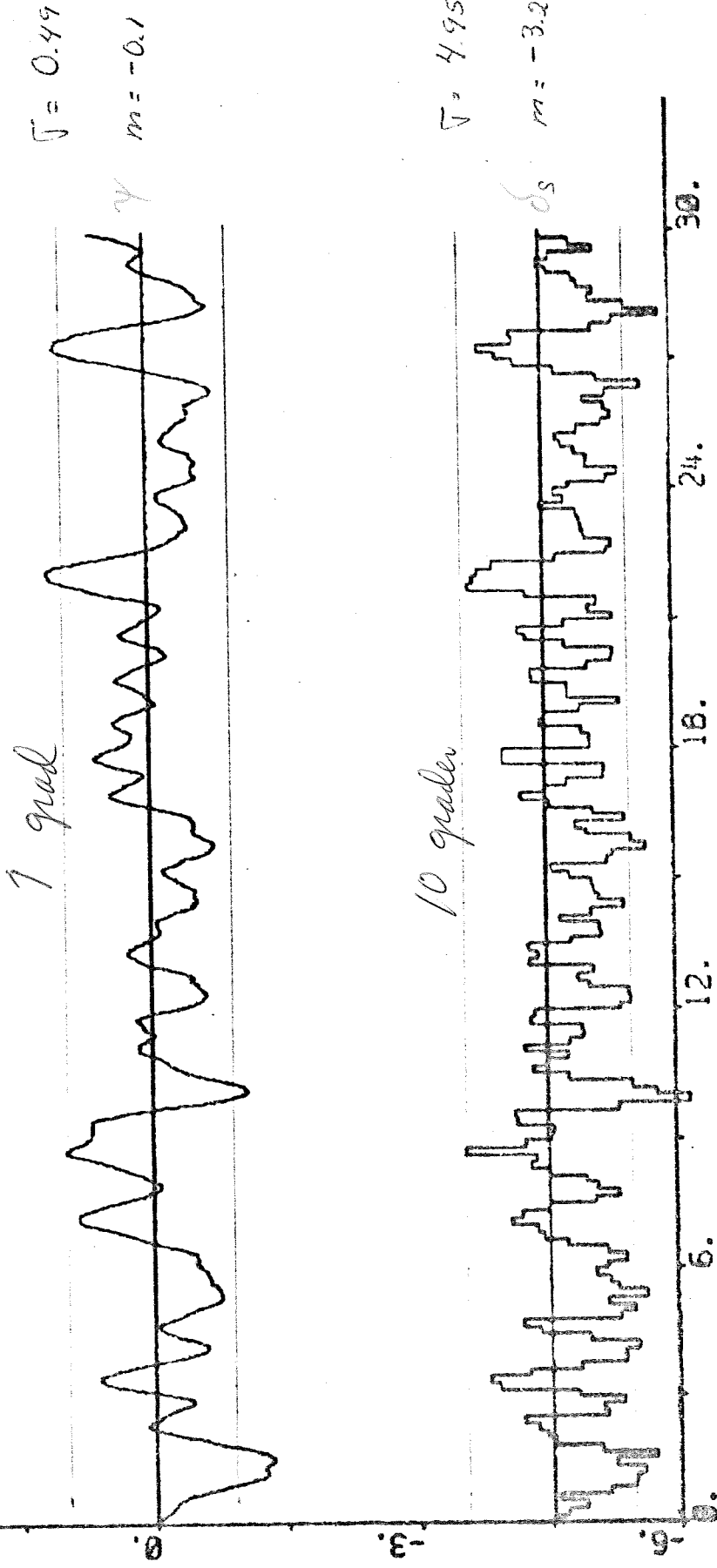
16. 24. 18. 30. 12. 6. 3. 0.

C15

SELV - TUNING REGULATOR
 STRUKTUR: $(N_A, N_B, N_C) = (3, 2, 0)$
 TIDSFORDRÖJNING: $K = 6$
 SAMPLINGSINTERVALL: $T_S = 10 \text{ SEK}$
 DED-BEAT TID: $DB = 70 \text{ SEK}$
 EXPONENTIELL GLÖMSKEFAKTOR: $RL = 0.98$
 FEED-FORWARD:
 SKALFAKTOR: $B_0 = -1$
 UTSIGNALBEGRÄNSNING: $USL = 20 \text{ GRADER}$

Hård vind
 Djupgående 20 m
 Röder 5°
 Bias linjärhast 0.05 %

Förstärke 3.38



PID - Regulator

$$\begin{cases} P = 4 \\ I = 0.04 \\ D = 100 \end{cases}$$

Girvinel hastigheten = deriverad kurs

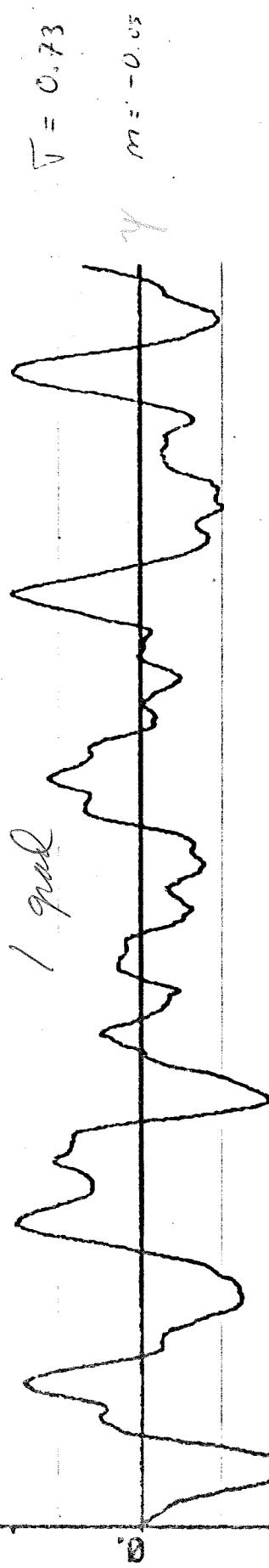
Höjd vinde

Djup givende 20 m

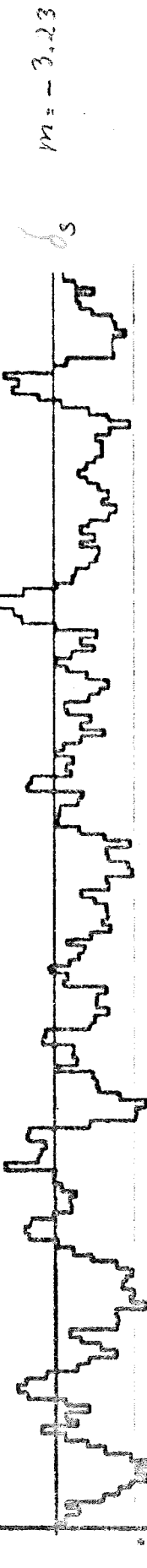
Bias f Rocker 5°

Girvinel hastighet = a_{eff}

Förhållande 276



10 grader



12. 18. 24. 30.

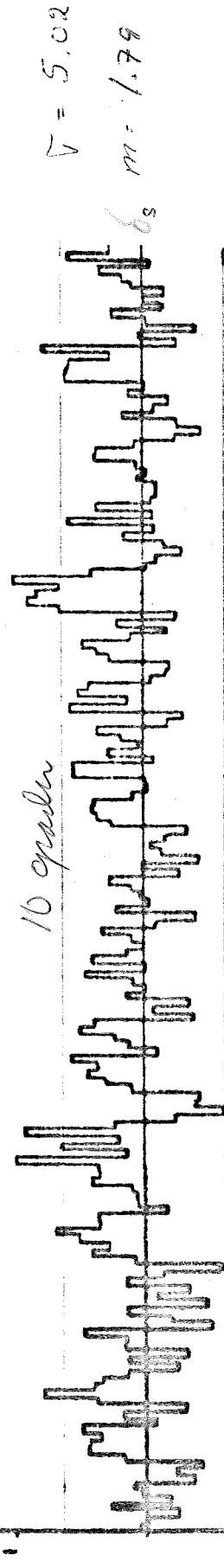
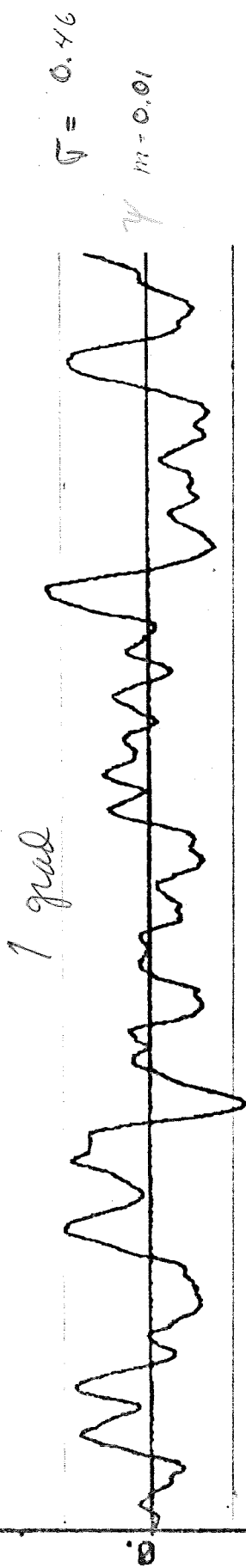
SELF-TUNING REGULATOR
 STRUKTUR: $(N_A, N_B, N_C) = (3, 1, 1)$
 TIDSFORDRÖJNING: $K = 6$
 SAMPLINGSINTERVALL: $T_S = 10$ SEK
 DEND-BERT TID: $DB = 70$ SEK
 EXPONENTIELL GLOMSKEFAKTOR: $RL = 0.98$
 FEED-FORWARD: DIFFERENSER PA CIRVINKELHASTIGHETEN
 UT SIGNALBEGRÄNSNING: USL = 20 GRADER
 SKALFAKTOR: $BO = -1$

Hård vind

Djupgående 20m

$$R_e(4, 4) = 0.01 \text{ grad}^2$$

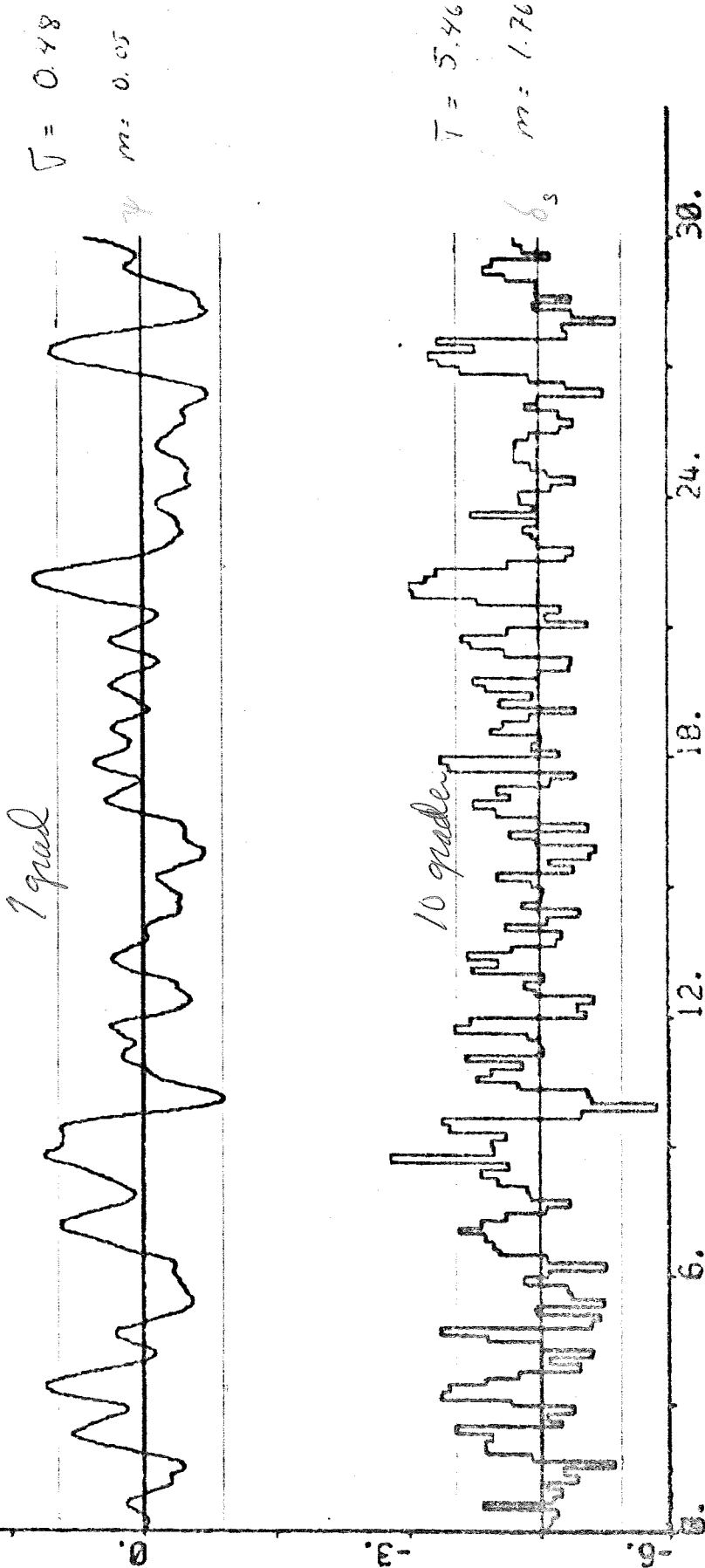
Förhöjd 3.23



6. 12. 16. 24. 30.

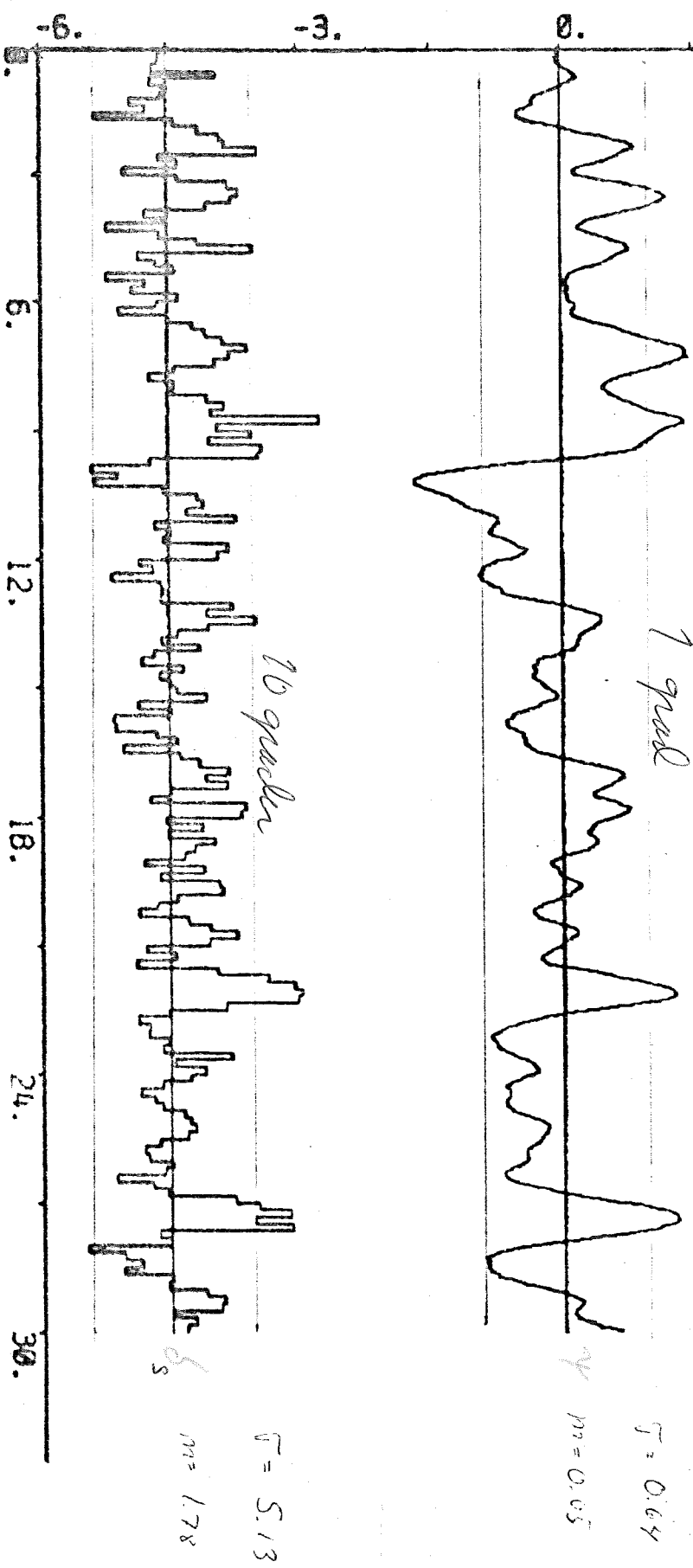
SELF-TUNING REGULATOR
 STRUKTUR: $\langle \text{NR}, \text{NB}, \text{NC} \rangle = \langle 3, 2, 0 \rangle$
 TIDSFÖRDRÖJNING: $K=6$
 SAMPLINGSINTERVALL: $TS = 10 \text{ SEK}$
 DERD-BEAT TID: $DB = 70 \text{ SEK}$
 EXPONENTIELL GLÖNSKEFAKTOR: $RL = 0.93$
 FEED-FORWARD:
 UTSIGNALBEGRÄNSNING: $USL = 20 \text{ GRADER}$
 SKALFAKTOR: $B0 = -1$

Hård vind
 Djup sjövatten 20 m
 $R_e(4,4) = 0.01$
 Förstärka 3.87



>ELI - TUNING REGULATOR
 STRUKTUR: $(N_A, N_B, N_C) = (3, 2, 1)$
 TIDSFÖRDRÖJNING: $K = 6$
 SAMPLINGSINTERVALL: $T_S = 10$ SEK
 DEAD-BEAT TID: $DB = 70$ SEK
 EXPONENTIELL GLÖNSKEFAKTOR: $RL = 0.98$
 FEED-FORWARD: DIFFERENSER PÅ DERIVERAD KURS
 UTSIGNALBEGRÄNSNING: $USL = 20$ GRADER
 SKALFAKTOR: $B_0 = -1$

Hård vind
 Djup sjödjup 20 m
 $R_e(4,4) = 0,01$
 Förslag till 3.68



SELF - TUNING REGULATOR

STRUKTUR: $\langle N_A, N_B, N_C \rangle = \langle 3, 2, 1 \rangle$

TIDSFORDRÖJNING: $K = 6$

SAMPLINGSINTERVALL: $TS = 10$ SEK

DEAD-BEAT TID: $DB = 79$ SEK

EXPONENTIELL GLONSKEFAKTOR: $RL = 0.38$

FEED-FORWARD: DIFFERENSER PA DER I VERRAO KURS

UTSIGNALBEGRAHAMMING: $USL = 20$ GRADER

SKALFAKTOR: $B_{0,0} = 1$

Härde vind

20 m Djupgående

Förutsänt 3.26

$$\bar{v} = 0.64$$

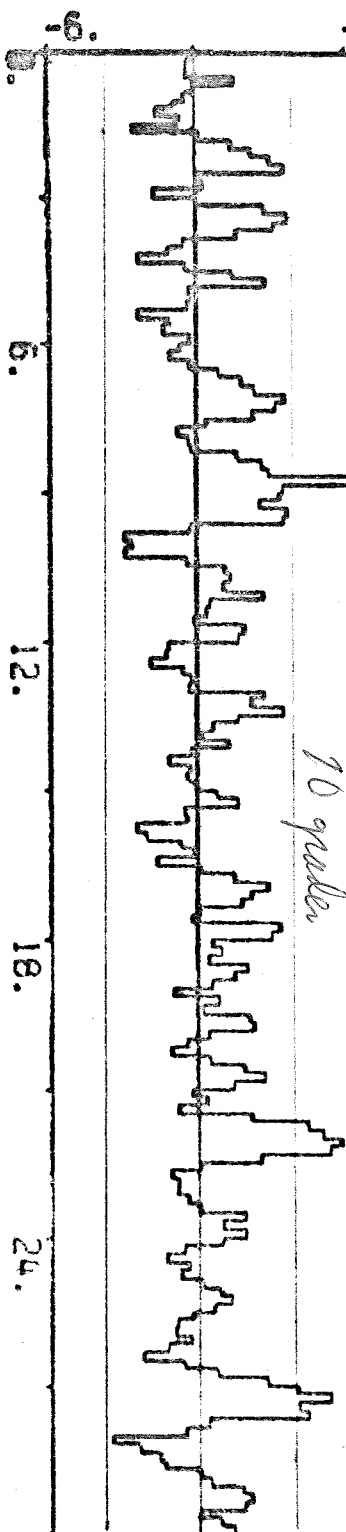
$$m = 0.05$$

$$\bar{v} = 4.64$$

$$m = 1.28$$

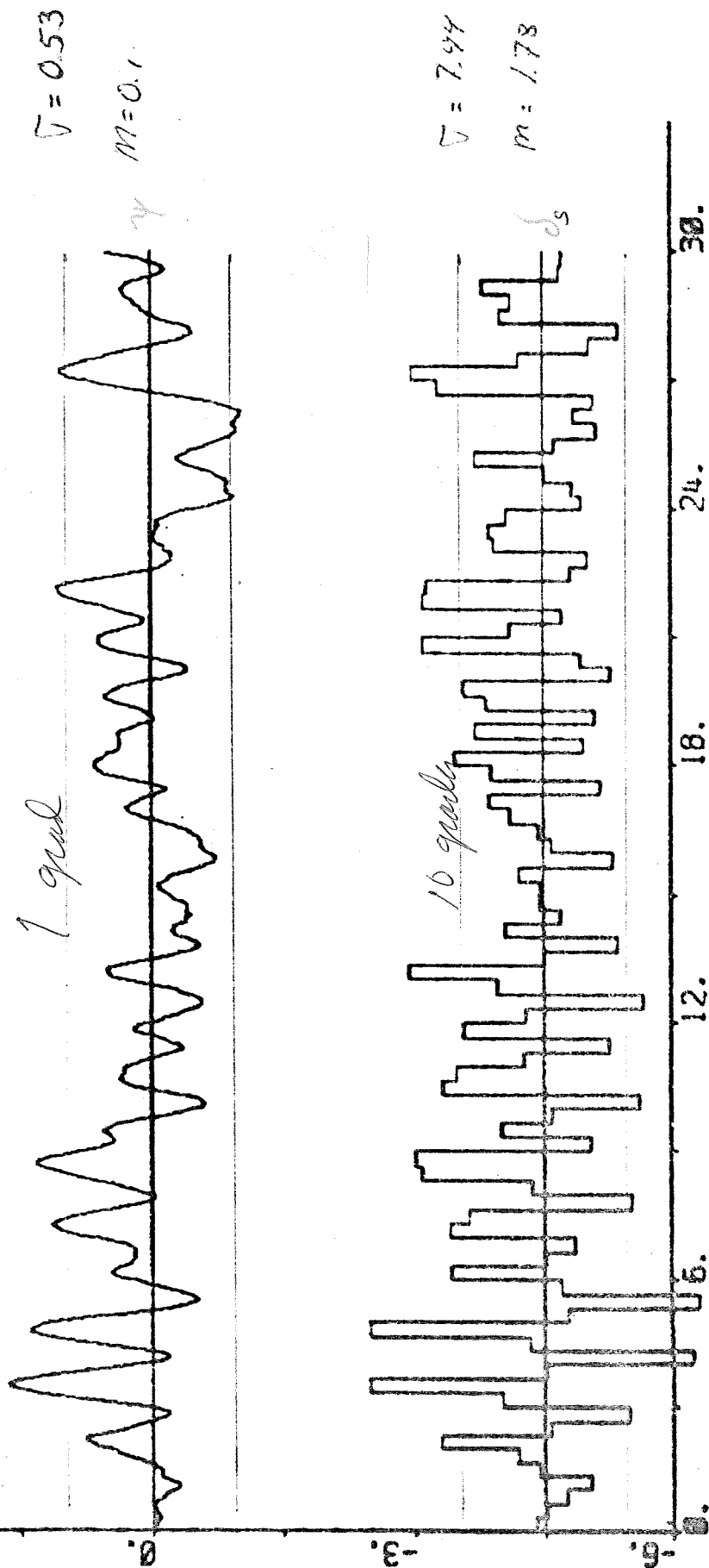
1 grad

10 grader



SELF-TUNING REGULATOR
 STRUKTUR: $(N_A, N_B, N_C) = (3, 1, 1)$
 TIDSFORDRÖJNING: $K = 4$
 SAMPLINGINTERVALL: $T_S = 20$ SEK
 DEAD-BEAT TID: 100 SEK
 EXPONENTIAL GLONSKEFAKTOR: $R_L = 0.98$
 FEED-FORWARD: DIFFERENSER PÅ CIRVINKELHASTIGHETEN
 UT SIGNALBEGÄRSNING: USL = 20 GRADER
 SKALFAKTOR: $B_0 = -1$

Hård vind
 Disp grävstående 20 m
 Förändr 8.16



24.

18.

12.

6.

30.

APPENDIX D

Program, använda vid manuell styrning,
eller vid standardprov.

Namn	Kommentar	Sida
BOAT3	Båtmodell	D2
ZBOAT	Totalsystem, för standardprov	D5
YBOAT	Totalsystem, för repeterat st.-prov	D6
NABOT	Totalsystem, för manuell styrning	D7
FIG	Genererar båtbild på display	D8
BANA	Genererar bana på display	D10
ANIN	Analog in/ut-matning	D11
LPFIL	Lågpassfilter	D14
SIMBAT	Använtes vid ihoplänkning enl. SIMNON	D15
SYSTS	"	D16

CONTINUOUS SYSTEM BOAT3

STATE DELTA N U V R PSI X Y
 " DELTA=RODERVINKEL [RAD]
 " N =VARVTAL [1/S]
 " U =HASTIGHET FRAMMAT [M/S]
 " V =TRANSVERSELL HASTIGHET [M/S]
 " R =GIRVINKELEKHASTIGHET [RAD/(S*100)]
 " PSI =KURS [RAD]
 " X =X-KOORDINAT [M*1000]
 " Y =Y-KOORDINAT [M*1000]

DER DDELT DN DU DV DR DPSI DX DY

INPUT DELTS KAPPA W1 W2
 " DELTS=RODERVINKEL;ONSKAD [GRAD]
 " KAPPA=RELATIVT ANGINSLAEPP TILL TURBIN -0,5<KAPPA<1,0 [1]
 " W1 =FILTRERAT BRUS
 " W2 =FILTRERAT BRUS

OUTPUT DELM NM UM V1 V2 VM RM PSIM XM YM
 " DELM=RODERVINKEL [GRAD]
 " NM =VARVTAL PROPELLER [RPM]
 " UM =FRAMMATHASTIGHET [KNOP]
 " V1 =TRANSVERSELL HASTIGHET;FOR [KNOP]
 " V2 =TRANSVERSELL HASTIGHET;AKTER [KNOP]
 " VM =TRANSVERSELL HASTIGHET;MASSCENTRUM [KNOP]
 " RM =GIRVINKELEKHASTIGHET [GRAD/S]
 " PSIM=KURS [GRAD]
 " XM =X-KOORDINAT [M]
 " YM =Y-KOORDINAT [M]

INITIAL

DELTA:0
 N :1,282
 U :8,202
 V :0
 R :0
 PSI :0
 X :0
 Y :0
 F1 =(20,-TT)/9,5
 F2 =(TT-10,5)/9,5
 CDV =YVD10*F1+YVD20*F2
 YUVP=YUV10*F1+YUV20*F2
 YUVM=YUR10*F1+YUR20*F2
 YVVP=YVV10*F1+YVV20*F2
 IZN =NRD10*F1+NRD20*F2
 NUVP=NUV10*F1+NUV20*F2
 NURM=NUR10*F1+NUR20*F2
 NVRP=NVR10*F1+NVR20*F2
 TS1 =1/TS
 TS2 =TS1/CRG
 LTM1=DELIM/CRG
 D2S=D2*G/(L*D1)
 D3S=D3/(L*L*D1)
 D4S=D4/(L*D1)
 D5S=D5/D1
 D6S=D6/D1*SQRT(G/L)
 D7S=D7*G/(L*D1)
 CU2=XU2P/(L*CDU)
 CVR=XVRP/CDU

CVV=XVVP/(L*CDU)
 CCD=XCDP/(L*CDU)
 CTP=MLP/CDU
 G1S=G1/L
 G3S=G3*L
 A11=CDV
 A12=MXY*L
 A21=MXN/L
 A22=IZN
 DET1=1/(A11*A22-A12*A21)
 CUV=YUVP/L
 CUR=YUVM
 CV2=YVVP/L
 CYC=YCCDP/L
 CN2=YNNP*L
 C2UV=NUVP/(L*L)
 C2UR=NURM/L
 C2VR=NVRP/L
 C2CD=NCDP/(L*L)
 C2TP=KTNP/L
 CSIN=LV/(L*L)
 FV1=CMK*L1
 FV2=-CMK*L2
 SINAL=SIN(1/CRG*ALFA)*K
 COSAL=COS(1/CRG*ALFA)*K

OUTPUT

DELM=CRG*DELTA
 NM=60.*N
 UM=CMK*u
 V1=FV1*R/100.+CMK*v
 V2=FV2*R/100.+CMK*v
 VM=CMK*v
 RM=CRG*R/100.
 PSIM=CRG*PSI
 XM=X*1000.
 YM=Y*1000.

DYNAMICS

SINP=SIN(PSI)
 COSP=COS(PSI)
 RR=R/100.
 NSIGN=SIGN(1.,N)
 N2=N*N
 U2=U*U
 TPM=G1S*U2+G2*U*N+G3S*NSIGN*N2
 CCA=C1*U2+C2*NSIGN*U2+C3*U*N+C4*N2
 DDEL1=-TS1*DELTA+TS2*DELT
 DDEL2=IF DDEL1<-LIM1 THEN -LIM1 ELSE IF DDEL1>LIM1 THEN LIM1 ELSE DDEL1
 DN=D2S*NSIGN+D3S*U2+D4S*U*N+D5S*NSIGN*N2+D6S*N+D7S*KAPPA
 CCDD=CCA*DELTA*DELTA
 DU1=CVR*V*RR+CVV*V*V+CCD*(IF CCDD>CDLIM THEN CDLIM ELSE CCDD)
 DU=CU2*U2+(IF DU1<0 THEN DU1 ELSE 0)+CTP*TPM
 KSIN=SINAL*COSP-COSAL*SINP
 B0=CUV*U*V+CUR*U*RR+CV2*V*ABS(V)+CYC*CCA*DELTA+KTYP*TPM
 B1=B0+CN2*N2-KSIN+W1
 B21=C2UV*U*V+C2UR*U*RR+C2VR*ABS(V)*RR+C2CD*CCA*DELTA
 B2=B21+C2TP*TPM+NNNP*N2+CSIN*KSIN+W2
 DV=DET1*(B1*A22-B2*A12)
 DR=DET1*(B2*A11-B1*A21)*100.
 DPSI=RR
 DX=(U*COSP-V*SINP)/1000.
 DY=(U*SINP+V*COSP)/1000.
 G:9.80665

CMK:1.943844
CRG:57.2958
CDLIM:7.9
L:329.18 " BATENS LAENGDE
TS:5.0 " TIDSKONSTANT FOR RODRET
DELIM:2.0 " BEGRAENSNING FOR RODERHASTIGHETEN
D1:0.70E-7
D2:-0.95E-7
D3:0.575E-4
D4:0.423E-6
D5:-0.695E-7
D6:-0.431E-6
D7:0.685E-5
CDU:1.050
XU2P:-0.0208
XVRP:6.0
XVVP:8.70
XCDP:-0.220
MLP:0.760
YVD10:1.67
YVD20:2.5
MXY:0.050
YUV10:-1.21
YUV20:-1.083
YUR10:-0.525
YUR20:-0.625
TT:20. " DJUPGAENDE
YVV10:-0.58
YVV20:-1.06
YCCDP:0.197
KTYP:0.040
YNNP:0
K:0
ALFA:135. " VINDRIKTNING
MXN:0.040
NRD10:0.100
NRD20:0.16
NUV10:-0.180
NUV20:-0.329
NUR10:-0.256
NUR20:-0.2122
NVR10:-0.23
NVR20:-0.49
NCDP:-0.092
KTNP:-0.0000645
NNNP:0
LV:25. " MOMENTARM FOR VINDEN
G1:-0.0226
G2:-0.232E-3
G3:0.234E-4
C1:0.4225
C2:-0.224
C3:-0.81
C4:29.1
L1:148.7 " AVSTAND FRAN MASSCENTRUM TILL FORLIG DOPPLERLOGG
L2:131.1 " AVSTAND FRAN MASSCENTRUM TILL AKTLIG DOPPLERLOGG

END

TOTAL SYSTEM ZBOAT

TIME T

```

DELZ=IF T<10 THEN DEL0 ELSE IF -PSIM[BOAT3]<DELZ THEN DEL0 ELSE -DEL0
DELTSLBOAT31=IF ISW>0.5 THEN DELZ ELSE DEL0
DELN=-DELM[BOAT3]                                "NEGATIVT RODERUTSLAG      [GRAD]
PSIN=-PSIM[BOAT3]                                 "NEGATIV KURS             [GRAD]
PSIMR=PSIM[BOAT3]/57.2958                         "POSITIV KURS            [RAD]
DELMR=DELM[BOAT3]/57.2958                         "POSITIVT RODERUTSLAG     [RAD]
N1=NM[BOAT3]/5.                                     "SKALAT VARVTAL          [RPM]
R1=RMT[BOAT3]*10.                                  "SKALAD GIRVINKEHLHASTIGHET [GRAD/S]
KAPPA[BOAT3]=K0                                    "RELATIVT ANGPADRAG        [1]
C1[CFILE]=DELM[BOAT3]                             "RODERUTSLAG              [GRAD]
C2[CFILE]=N1                                       "SKALAT VARVTAL          [RPM]
C3[CFILE]=UM[BOAT3]                               "FRAMMATHASTIGHET         [KNOP]
C4[CFILE]=VM[BOAT3]                               "TVAERSHASTIGHET          [KNOP]
C5[CFILE]=R1                                       "SKALAD GIRVINKEHLHASTIGHET [GRAD/S]
C6[CFILE]=PSIM[BOAT3]                            "POSITIV KURS             [GRAD]
C7[CFILE]=XM[BOAT3]                               "X-KOORDINAT              [M]
C8[CFILE]=YM[BOAT3]                               "Y-KOORDINAT              [M]
C9[CFILE]=T                                         "TID                      [S]
C10[CFILE]=PSIMR                                 "POSITIV KURS             [RAD]
C11[CFILE]=DELMR                                "POSITIVT RODERUTSLAG     [RAD]
XMFIG]=XM[BOAT3]                                 "X-KOORDINAT              [M]
YMFIG]=YM[BOAT3]                                 "Y-KOORDINAT              [M]
PSI[FIG]=PSI[BOAT3]                               "POSITIV KURS             [RAD]
DELTATEFIG]=DELM[BOAT3]/57.2958                  "POSITIVT RODERUTSLAG     [RAD]
DEL0:0.                                            "VALJ LAMPLIGT VARDE
K0:0.8                                           "           DITO
ZERO:0                                            " DETERMINISTISKT SYSTEM
W1[BOAT3]=0.                                      " DETERMINISTISKT SYSTEM
W2[BOAT3]=0.                                      " DETERMINISTISKT SYSTEM
LINE1:30
LINE2:-30
ISW:0                                              " ISW:0 = CIRKEL *** ISW:1 = ZIGZAG
END

```

```
TOTAL SYSTEM YBOAT
TIME T
XM[FIG]=C7[FILE]
YM[FIG]=C8[FILE]
PSI[FIG]=C10[FILE]
DELTAY[FIG]=C11[FILE]
END
```

TOTAL SYSTEM NABOT

TIME T

DELN=-DELM[BOAT3]	"NEGATIVT RODERUTSLAG	[GRAD]
PSIN=-PSIM[BOAT3]	"NEGATIV KURS	[GRAD]
PSIMR=PSIM[BOAT3]/57.2958	"POSITIV KURS	[RAD]
DELMR=DELM[BOAT3]/57.2958	"POSITIVT RODERUTSLAG	[RAD]
N1=NM[BOAT3]/5.	"SKALAT VARVTAL	[RPM]
R1=RMI[BOAT3]*10.	"SKALAD GIRVINKEHLHASTIGHET	[GRAD/S]
C1[CFILE]=DELM[BOAT3]	"RODERUTSLAG	[GRAD]
C2[CFILE]=N1	"SKALAT VARVTAL	[RPM]
C3[CFILE]=UM[BOAT3]	"FRAMMATHASTIGHET	[KNOP]
C4[CFILE]=VM[BOAT3]	"TVAERSHASTIGHET	[KNOP]
C5[CFILE]=R1	"SKALAD GIRVINKEHLHASTIGHET	[GRAD/S]
C6[CFILE]=PSIM[BOAT3]	"POSITIV KURS	[GRAD]
C7[CFILE]=XM[BOAT3]	"X-KOORDINAT	[M]
C8[CFILE]=YM[BOAT3]	"Y-KOORDINAT	[M]
C9[CFILE]=T	"TID	[S]
C10[CFILE]=PSIMR	"POSITIV KURS	[RAD]
C11[CFILE]=DELMR	"POSITIVT RODERUTSLAG	[RAD]
XMF1[G]=XM[BOAT3]	"X-KOORDINAT	[M]
YMF1[G]=YM[BOAT3]	"Y-KOORDINAT	[M]
PSI1[F1[G]]=PSI1[BOAT3]	"POSITIV KURS	[RAD]
DELTA[F1[G]]=DELM[BOAT3]/57.2958	"POSITIVT RODERUTSLAG	[RAD]
RHIANIN]=RM[BOAT3]+E3[NOISE]		
UANIN]=UM[BOAT3]/1.9438		
PSIMANIN]=PSIM[BOAT3]+E4[NOISE]		
K11=Y1[ANIN]		
K10=Y2[ANIN]		
KAPPA[BOAT3]=K10/10.		
DELTS[BOAT3]=K11*4.5		
C12[CFILE]=K10*0.5		
C13[CFILE]=K11*0.45		
X1[LPF11]=E1[NOISE]		
X1[LPF12]=E2[NOISE]		
W1[BOAT3]=X0[LPF11]		
W2[BOAT3]=X0[LPF12]		
RN1=(RM[BOAT3]+E3[NOISE])*10.		
C14[CFILE]=RN1		
C15[CFILE]=PSIM[BOAT3]+E4[NOISE]		

END

```

001      SUBROUTINE FIG
002      C
003      C
004      REAL LANGD
005      DIMENSION XP(7),YP(7)
006      COMMON /TIME/ T
007      COMMON /DESTIN/ IDUM,IPART
008      DATA NPOINT ///
009      GO TO (1,2,3,4,5,6,7,8),IPART
010      C
011      C
012      1 CALL IDENT('DISCR','FIG')
013      RETURN
014      C
015      C
016      2 CALL INPUT(XM,'XM')
017      CALL INPUT(YM,'YM')
018      CALL INPUT(PSI,'PSI')
019      CALL INPUT(DELTA,'DELTA')
020      CALL PAR(SKAL,'SKAL')
021      CALL PAR(LANGD,'LANGD')
022      CALL PAR(AST,'AST')
023      CALL PAR(BAN,'BAN')
024      CALL PAR(SCALE,'SCALE')
025      CALL PARV(XP,NPOINT,'XP')
026      CALL PARV(YP,NPOINT,'YP')
027      CALL TSAMP(TS,'TS')
028      CALL PAR(DT,'DT')
029      XM=X-KOORDINAT
030      YM=Y-KOORDINAT
031      PSI=KURS
032      DELTA=RODERVINDEL
033      C BAN>0.5 EN KARTBILD GENERERAS VID START AV SIMULERING
034      C BAN=0. - " - INTE - " -
035      C AST=1. EN ASTERISK GENERERAS I MASSCENTRUM
036      C AST=0. - " - INTE - " -
037      C SKAL=SKALNING AV RODERUTSLAGET
038      C LANGD=LAENGDEN AV RODRET
039      C SCALE=SKALNING AV FARTYGETS STORLEK
040      C XP,YP=BESTAEMMER FIGUREN AV FARTYGET
041      C DT= VAR DT:DE SEKUND GENERERAS EN FARTYGSBILD
042      RETURN
043      C
044      C
045      3 DT=60.
046      SCALE=1.
047      IMRK=5
048      AST=1.
049      SKAL=1.
050      LANGD=50,
051      XP(1)=-158.
052      XP(2)=-158.
053      XP(3)=110.
054      XP(4)=172.
055      XP(5)=110.
056      XP(6)=-158.
057      XP(7)=-158.
058      YP(1)=0.
059      YP(2)=25.
060      YP(3)=25.
061      YP(4)=0.
062      YP(5)=-25.
063      YP(6)=-25.

```

```
064          YP(7)=0.
065          BAN=1.
066          RETURN
067          C
068          C
069          4    CALL BANA(BAN)
070          TS=T
071          RETURN
072          C
073          C
074          5    RETURN
075          C
076          C
077          6    CURS=4HDARK
078          SINP=SIN(PSI)
079          COSP=COS(PSI)
080          CALL MRK(YM,XM,IMRK,AST)
081          XP8=XP(1)-LANGD*COS(DELTA*SKAL)
082          YP8=YP(1)-LANGD*SIN(DELTA*SKAL)
083          DO 60 I=1,NPOINT
084          XX=XM+SCALE*(XP(I)*COSP-YP(I)*SINP)
085          YY=YM+SCALE*(YP(I)*COSP+XP(I)*SINP)
086          CALL PLOT1(YY,XX,CURS)
087          CURS=5HLIGHT
088          60  CONTINUE
089          XX=XM+SCALE*(XP8*COSP-YP8*SINP)
090          YY=YM+SCALE*(YP8*COSP+XP8*SINP)
091          CALL PLOT1(YY,XX,CURS)
092          TS=T+DT
093          RETURN
094          C
095          C
096          7    RETURN
097          C
098          C
099          8    RETURN
100          C
101          C
102          END
```

```
001      SUBROUTINE BANA(BAN)
002      DIMENSION XB(10),YB(10),XC(13),YC(13)
003      DATA XB/-0.5,0.,1.,2.5,2.5,3.5,3.5,1.,1.,1.5/
004      DATA YB/0.5,1.5,3.,3.,1.,1.5,0.,0.,1.,2./
005      DATA XC/0.,3.,4.,6.,3.,3.,1.,3.,4.,4.,3.,1.5,1.5/
006      DATA YC/1.5,4.5,4.5,0.5,-0.5,0.5,1.5,4.,2.5,0.5,
007      *1.5,0.5,1.5/
008      IF(BAN.LT.0.5)GOTO 100
009      IF(BAN.LT.1.5)GOTO 50
010      CURS=4HDARK
011      DO 10 I=1,4
012      X=XC(I)*900.
013      Y=YC(I)*900.
014      CALL PLOT(X,Y,CURS)
015      10   CURS=5HLIGHT
016      CURS=4HDARK
017      DO 20 I=5,6
018      X=XC(I)*900.
019      Y=YC(I)*900.
020      CALL PLOT(X,Y,CURS)
021      20   CURS=5HLIGHT
022      CURS=4HDARK
023      DO 30 I=7,13
024      X=XC(I)*900.
025      Y=YC(I)*900.
026      CALL PLOT(X,Y,CURS)
027      30   CURS=5HLIGHT
028      RETURN
029      50   CONTINUE
030      CURS=4HDARK
031      DO 60 I=1,5
032      X=XB(I)*1000.
033      Y=YB(I)*1000.
034      CALL PLOT(X,Y,CURS)
035      60   CURS=5HLIGHT
036      CURS=4HDARK
037      DO 70 I=6,10
038      X=XB(I)*1000.
039      Y=YB(I)*1000.
040      CALL PLOT(X,Y,CURS)
041      70   CURS=5HLIGHT
042      100  CONTINUE
043      RETURN
044      END
```

```

001      SUBROUTINE ANIN
002      C
003      C      DISCRETE SYSTEM TO BE INCLUDED IN SIMNON THAT
004      C      READS ANALOG INPUT SIGNALS AND SYNCHRONIZES THE SIMULATION
005      C      TIME WITH REAL TIME.
006      C
007      C      THE NAMES OF THE OUTPUT VARIABLES ARE Y1,Y2,...
008      C      THE SAMPLING PERIOD IS DETERMINED BY THE PARAMETER DT.
009      C      THE SYNCHRONIZATION IS MADE SO THAT REAL TIME
010      C      IS EQUAL TO A PARAMETER 'SCALE' TIMES THE
011      C      SIMULATION TIME.
012      C
013      C      CHANNEL NUMBERS ARE READ FROM THE TELETYPE DURING IPART=2
014      C
015      C      AUTHOR HILDING ELMQVIST MARCH 1974
016      C
017      C      SUBROUTINE REQUIRED
018      C          IDENT, ...
019      C          TIME10
020      C          AIRDW
021      C          AOW
022      C
023      C
024      LOGICAL NODISC
025      DIMENSION BUFF(16),Y(5),INP(5)
026      COMMON /TIME/ T
027      COMMON /SAVE/ NY,MPX(5)
028      COMMON /DESTIN/ I1DUM,IPART
029      COMMON /USER/ IDUM(3),NODISC
030      C
031      GO TO(1,2,3,4,5,6,7,8),IPART
032      C
033      1      CALL IDENT('DISCR','ANIN')
034      RETURN
035      C
036      C      READ ANALOG INPUT CHANNEL NUMBERS
037      2      WRITE(9,910)
038      910    FORMAT(1X,'ENTER ANALOG INPUT CHANNELS')
039      C
040      210    CALL RLINE(9,8,BUFF,2)
041      I=1
042      NY=0
043      220    CALL RIFF(1,DUM,ICHAN,IND)
044      IF(IND.EQ.7) GO TO 260
045      IF(IND.NE.3) GO TO 240
046      IF(ICHAN.LT.0 .OR. ICHAN.GT.15) GO TO 240
047      IF(NY.GT.5) GO TO 240
048      C
049      NY=NY+1
050      MPX(NY)=ICHAN
051      GO TO 220
052      C
053      240    WRITE(9,920)
054      920    FORMAT(1X,' ?')
055      GO TO 210
056      C
057      260    CALL OUTPUV(Y,NY,'Y')
058      CALL INPUT(RM,'RM')
059      CALL INPUT(U,'U')
060      CALL PAR(DT,'DT')
061      CALL INPUT(PSIM,'PSIM')
062      CALL PAR(SCALE,'SCALE')
063      CALL TSAMP(TS,'TS')

```

```

064      C      RETURN
065      C
066      3      DT=1.
067      C      SCALE=1.
068      C      RETURN
069      C
070      4      TS=T
071      C      IMIN=0
072      C      ISEC=0
073      C      ISEC10=0
074      C      RTSAVE=0,
075      C      TSTART=T
076      C      Y10LD=0,
077      C      Y20LD=0,
078      C      RETURN
079      C
080      C      SYNCHRONIZE WITH REAL TIME
081      5      SCT=SCALE*(T-TSTART)
082      C      IOFF=1
083      C      RT=IMIN*60.+ISEC+ISEC10*0.1+RTSAVE
084      C      RTSAVE=RT
085      C      IOFF=0
086      C      CALL TIME10(IMIN,ISEC,ISEC10,IOFF)
087      C
088      510     IF(RT.GE.SCT) GO TO 530
089      C
090      C      WAIT
091      C      IOLD10=ISEC10
092      520     IF(ISEC10.EQ.IOLD10) GO TO 520
093      C      RT=RT+0.1
094      C      GO TO 510
095      C
096      C      READ ANALOG INPUT CHANNELS
097      530     TS=T+DT
098      C      CALL AIRDW(NY,MPX(1),INP(1),IERR)
099      C      DO 540 J=1,NY
100      540     Y(J)=INP(J)*0.01953125
101      10      IF(ABS(Y1-Y10LD).LE.1.E-3)10,10,30
102      20      IF(ABS(Y2-Y20LD).LE.1.E-3)20,20,30
103      C      NODISC=.TRUE.
104      30      Y10LD=Y1
105      C      Y20LD=Y2
106      C
107      C      COMPUTE LAG AND WRITE IT ON D/A CHANNEL 0
108      C      WRITE YAW RATE (RM) ON D/A CHANNEL 1
109      C      WRITE FORWARD SPEED (U) ON D/A CHANNEL 2
110      C      WRITE COURSE (PSIM) ON D/A CHANNEL 3
111      C      TDEL=RT-SCT
112      C      ITDEL=TDEL*51.2
113      C      IRM=256.+RM*512./1.5
114      C      IUM=U*51.2
115      C      PSIV=PSIM
116      550     DP=ABS(PSIV)-180.
117      C      IF(DP.LE.0,)GOTO 560
118      C      S=PSIM/ABS(PSIM)
119      C      PSIV=-PSIV+2.*DP*S
120      C      GOTO 550
121      560     IPSIV=256.+PSIV/36.*51.2
122      C      CALL AOW(1,0,ITDEL,IERR)
123      C      CALL AOW(1,1,IRM,IERR)
124      C      CALL AOW(1,2,IUM,IERR)
125      C      CALL AOW(1,3,IPSIV,IERR)
126      C
127      C      RETURN

```

128 C
129 6 RETURN
130 C
131 7 RETURN
132 C
133 8 RETURN
134 C
135 END

CONTINUOUS SYSTEM LPF11

INPUT X1

OUTPUT X0

STATE X1 X2

DER DX1 DX2

INITIAL

X1:0

X2:0

T=TP/6.283185

A1=-2*CS/1

A2=-1/(T*T)

C2=AK/(T*T)

OUTPUT

X0=C2*X2

DYNAMICS

DX1=A1*X1+A2*X2+X1

DX2=X1

AK:1 " FILTER GAIN

TP:8 " PERIOD TIME OF PEAK FREQ.

CS:0.25 " DAMPING FACTOR

" PEAK GAIN FOR FREQ., z1/TP : AK/(2*CS)

END

ÄJOB
A DK -5/DT1 -6
CHAIN
SIMNON
SZ]
SIMNON, P, PLT, PBCD10, SETNAM, SETVAR]
L1=PINT, PINTR, PPARINT, PCOTEXT/PLOGARG]
L2=PCOSYST, PEXTSYS, PCOERR, PCOLIST, PCOTURN, PCODISP, PCOPLOT, PCOSIMU
, PINIT, PISIMN, PINTERR, PCOALG, PTEST/PLOGARG]
L3=PCOAXES, PCOSAVE, PCOGET, PCOSET, PWMESS, PUSRSUB/PLOGARG, POFNEF]
LCOMP=PSIMNSY, PCOEDIT/PEXTSUB, PLOGARG]
LSIM=PSIMU, POUTP/PBIN10, PSEN]
LINT1=PHAMPC]
LINT2=PRUNKUT, PRKFIX]
LCALC=PCALCUL]
LUSER=PEXTCAL, SYSTS/EIG, NOIS1, MNOD13, ANIN, DARITE, ADREAD]
LUS1=PINPUT, PTSAMP, PPAR, PINPUTV, POUTPUV, PPARV, PIDENT, PCRENAM, POUTPUT]
LUS2=BANA/PLOT]
LUS3=PCESYM, PNORM]
LUS4=PLOT1, MRK]
L1:L2:L3:LCOMP:LSIM, LINT1, LCALC, LUSER, LUS1]
LINT1:LINT2]
LUS1:LUS2:LUS3:LUS4]
]
ÄJOB
A DT1 -14
ABS
SIMNON
ÄJOB
PIP
T DKEDT1 SIMNON XCT (B)]
ÄEXIT

001 SUBROUTINE SYSTS
002 C
003 C SERVES A LINK BETWEEN SIMNON AND USER SUBROUTINE.
004 C
005 C AUTHOR HILDING ELMQVIST 1974-02-05
006 C
007 C CHANGE THE CONTINUE STATEMENTS TO CALLS TO
008 C YOUR SUBROUTINES.
009 C
010 C
011 LOGICAL ISTOP,LUSER
012 COMMON /DESTIN/ ISYST
013 COMMON /USER/ ISTOP, IDUM, LUSER
014 COMMON /USRCOM/ IERR1, ISYERR
015 COMMON /SETVAR/ NIN, IDUM1, FILE1
016 : ,NOUT, IDUM2, FILE0
017 : ,TYPE, N, IDUM3
018 : ,NN01, IDUM4, NODD, IDUM5
019 : ,NN011, IDUM6, NODD1, IDUM7
020 C
021 C
022 GO TO(1,2,3,4,5,6,7,8,9,10), ISYST
023 C
024 1 CALL FILE(NIN,FILE1,IERR)
025 GO TO 100
026 C
027 2 CALL CFIL(NOUT,FILE0,IERR)
028 GO TO 100
029 C
030 3 RETURN
031 C
032 4 CALL NOISE(NN01,NODD,IERR)
033 GO TO 100
034 C
035 5 CALL NOIS1(NN011,NODD1,IERR)
036 GO TO 100
037 C
038 6 CALL STALG
039 RETURN
040 C
041 7 CALL FIG
042 RETURN
043 C
044 8 CALL ANIN
045 RETURN
046 C
047 9 CONTINUE
048 RETURN
049 C
050 10 CONTINUE
051 RETURN
052 C
053 C
054 100 IF(IERR.EQ.0) RETURN
055 IERR1=IERR
056 ISYERR=ISYST
057 ISTOP=.TRUE.,
058 LUSER=.TRUE.,
059 RETURN
060 C
061 END

APPENDIX E

Program, använda vid simuleringsar med
PID-regulator eller adaptiv regulator

Namn	Kommentar	Sida
BOAT4	Båtmodell	E2
RTOT	Totalsystem, för simulerings m. regulator	E5
REG	PID-regulator, eller anrop av STURE	E8
STURE	Adaptiv regulator	E12
LOSS	Beräknar förlustfunktion samt medelvärde och varians	E15

CONTINUOUS SYSTEM BOAT4

STATE DELTA V R PSI X Y
 " DELTA=RODERVINKEL [RAD]
 " V =TRANSVERSELL HASTIGHET [M/S]
 " R =GIRVINKELHASTIGHET [RAD/(S*100)]
 " PSI =KURS [RAD]
 " X =X-KOORDINAT [M*1000]
 " Y =Y-KOORDINAT [M*1000]

DER DDELT DV DR DPSI DX DY

INPUT DELTS KAPPA W1 W2
 " DELTS=RODERVINKEL;ONSKAD [GRAD]
 " KAPPA=RELATIVT ANGINSLAEPP TILL TURBIN -0.5<KAPPA<1.0 [1]
 " W1 =FILTRERAT BRUS
 " W2 =FILTRERAT BRUS

OUTPUT DELM V1 V2 VM RM PSIM XM YM

" DELM=RODERVINKEL [GRAD]
 " V1 =TRANSVERSELL HASTIGHET;FOR [KNOP]
 " V2 =TRANSVERSELL HASTIGHET;AKTER [KNOP]
 " VM =TRANSVERSELL HASTIGHET;MASSCENTRUM [KNOP]
 " RM =GIRVINKELHASTIGHET [GRAD/S]
 " PSIM=KURS [GRAD]
 " XM =X-KOORDINAT [M]
 " YM =Y-KOORDINAT [M]

INITIAL

DELTA:0
 V :0
 R :0
 PSI :0
 X :0
 Y :0
 F1 =(20,-TT)/9.5
 F2 =(TT-10.5)/9.5
 CDV =YVD10*F1+YVD20*F2
 YUVP=YUV10*F1+YUV20*F2
 YUVM=YUR10*F1+YUR20*F2
 YVVP=YVV10*F1+YVV20*F2
 IZN =NRD10*F1+NRD20*F2
 NUVP=NUV10*F1+NUV20*F2
 NURM=NUR10*F1+NUR20*F2
 NVRP=NVR10*F1+NVR20*F2
 TS1 =1/TS

TS2 =TS1/CRG

LIM1=DELIM/CRG

G1S=G1/L

G3S=G3*L

NSIGN=SIGN(1.,N)

N2=N*N

U2=U*U

TPM=G1S*U2+G2*U*N+G3S*NSIGN*N2

CCA=C1*U2+C2*NSIGN*U2+C3*U*N+C4*N2

A11=CDV

A12=MXY*L

A21=MXN/L

A22=IZN

DET1=1/(A11*A22-A12*A21)

CUV=YUVP/L

CUR=YUVM

CV2=YVVP/L
 CYC=YCCDP/L
 CN2=YNNP*L
 C2UV=NUVP/(L*L)
 C2UR=NURM/L
 C2VR=NVRP/L
 C2CD=NCDP/(L*L)
 C2TP=KTNP/L
 CSIN=LV/(L*L)
 FV1=CMK*L1
 FV2=-CMK*L2
 SINAL=SIN(1/CRG*ALFA)*K
 COSAL=COS(1/CRG*ALFA)*K

OUTPUT

DELM=CRG*DELTA
 V1=FV1*R/100.+CMK*V
 V2=FV2*R/100.+CMK*V
 VM=CMK*V
 RM=CRG*R/100.
 PSIM=CRG*PSI
 XM=X*1000.
 YM=Y*1000.

DYNAMICS

SINP=SIN(PSI)
 COSP=COS(PSI)
 RR=R/100.
 DDEL1=-TS1*DELTA+TS2*DELT
 DDELT=IF DDEL1<-LIM1 THEN -LIM1 ELSE IF DDEL1>LIM1 THEN LIM1 ELSE DDEL1
 KSIN=SINAL*COSP-COSAL*SINP

B0=CUV*U*V+CUR*U*RR+C2V*V*ABS(V)+CYC*CCA*DELTA+KTyp*TPM

B1=B0+CN2*N2-KSIN+W1

B21=C2UV*U*V+C2UR*U*RR+C2VR*ABS(V)*RR+C2CD*CCA*DELTA

B2=B21+C2TP*TPM+NNNP*N2+CSIN*KSIN+W2

DV=DET1*(B1*A22-B2*A12)

DR=DET1*(B2*A11-B1*A21)*100.

DPSI=RR

DX=(U*COSP-V*SINP)/1000.

DY=(U*SINP+V*COSP)/1000.

U:8.202 "FRAMMAT HASTIGHET [M/S]

N:1.282 "VARVTAL [1/S]

G:9.80665

CMK:1.943844

CRG:57.2958

CDLIM:7.9

L:329.18 " BATENS LAENGDE

TS:5.0 " TIDSKONSTANT FOR RODRET

DELM:2.0 " BEGRAENSNING FOR RODERHASTIGHETEN

D1:0.70E-7

D2:-0.95E-7

D3:0.575E-4

D4:0.423E-6

D5:-0.695E-7

D6:-0.431E-6

D7:0.685E-5

CDU:1.050

XU2P:-0.0208

XVRP:6.0

XVVP:8.70

XCDP:-0.220

MLP:0.760

YVD10:1.67

YVD20:2.5

MXY:0.050
YUV10:-1.21
YUV20:-1.083
YUR10:-0.525
YUR20:-0.625
TT:20. " DJUPGAENDE
YVV10:-0.58
YVV20:-1.06
YCCDP:0.197
KTYP:0.040
YNNP:0
K:0
ALFA:135. " VINDRIKTNING
MXN:0.040
NRD10:0.100
NRD20:0.16
NUV10:-0.180
NUV20:-0.329
NUR10:-0.256
NUR20:-0.2122
NVR10:-0.23
NVR20:-0.49
NCDP:-0.092
KTNP:-0.0000645
NNNP:0
LV:25. " MOMENTARM FOR VINDEN
G1:-0.0226
G2:-0.232E-3
G3:0.234E-4
C1:0.4225
C2:-0.224
C3:-0.81
C4:29.1
L1:148.7 " AVSTAND FRAN MASSCENTRUM TILL FORLIG DOPPLERLOGG
L2:131.1 " AVSTAND FRAN MASSCENTRUM TILL AKTLIG DOPPLERLOGG

END

TOTAL SYSTEM RTOT

TIME T

X1[LPF1]=E1[NOISE]
X1[LPF2]=E2[NOISE]

W1[BOAT4]=X0[LPF1]
W2[BOAT4]=X0[LPF2]

KAPPA[BOAT4]=K0
YS[REG]=PSIM[BOAT4]+E4[NOISE]
YRF[REG]=PREF
YSD[REG]=RM[BOAT4]+E3[NOISE]
DELT[S][BOAT4]=US[REG]
UTSIG=US[REG]

C1[CFIL]=0
C2[CFIL]=0
C3[CFIL]=0
C4[CFIL]=0
C5[CFIL]=0
C6[CFIL]=T/60

C31[CFIL]=S1*V1[BOAT4]+PL1	" TVÄRSHASTIGHET UTAN BRUS
C32[CFIL]=S2*V2[BOAT4]+PL2	" TVÄRSHASTIGHET UTAN BRUS
C33[CFIL]=S3*VM[BOAT4]+PL3	" TVÄRSHASTIGHET
C34[CFIL]=S4*RM[BOAT4]+PL4	" GIRVINKELEHASTIGHET UTAN BRUS
C35[CFIL]=S5*PSIM[BOAT4]+PL5	" KURS UTAN BRUS
C36[CFIL]=S6*DELM[BOAT4]+PL6	" RODERVINKEL
C7[CFIL]=S1*(V1[BOAT4]+E1[NOISE])+PL1	" TVÄRSHAST. MED BRUS
C8[CFIL]=S2*(V2[BOAT4]+E2[NOISE])+PL2	" TVÄRSHAST. MED BRUS
C9[CFIL]=S4*(RM[BOAT4]+E3[NOISE])+PL4	" GIRVINKELEHAST. MED BRUS
C10[CFIL]=S5*(PSIM[BOAT4]+E4[NOISE])+PL5	" KURS MED BRUS
C11[CFIL]=S11*UTSIG+PL11	" RODERSIGNAL
C12[CFIL]=S12*X1[REG]+PL12	" MEDDELVÄRDE FOR KURS
C13[CFIL]=S13*X3[REG]+PL13	" MEDDELVÄRDE FOR RODERVINKEL
C14[CFIL]=S14*X5[REG]+PL14	" MEDDELVÄRDE FOR RODERSIGNAL
C15[CFIL]=S15*X7[REG]+PL15	" MEDDELVÄRDE FOR TVÄRSHASTIGHET
C16[CFIL]=S16*X9[REG]+PL16	" MEDDELVÄRDE FOR TVÄRSHASTIGHET
C17[CFIL]=S17*X11[REG]+PL17	" MEDDELVÄRDE FOR TVÄRSHASTIGHET
C18[CFIL]=S18*X13[REG]+PL18	" MEDDELVÄRDE FOR GIRVINKELEHAST.
C19[CFIL]=S19*X2[REG]+PL19	" STANDARDAVV. KURS
C20[CFIL]=S20*X4[REG]+PL20	" STANDARDAVV. RODERVINKEL
C21[CFIL]=S21*X6[REG]+PL21	" STANDARDAVV. RODERSIGNAL
C22[CFIL]=S22*X8[REG]+PL22	" STANDARDAVV. TVÄRSHASTIGHET
C23[CFIL]=S23*X10[REG]+PL23	" STANDARDAVV. TVÄRSHASTIGHET
C24[CFIL]=S24*X12[REG]+PL24	" STANDARDAVV. TVÄRSHASTIGHET
C25[CFIL]=S25*X14[REG]+PL25	" STANDARDAVV. GIRVINKELEHAST.
C26[CFIL]=S26*X15[REG]+PL26	" ACKUMULERADE FORLUSTER
C27[CFIL]=S27*X16[REG]+PL27	" FORLUSTFUNKTION
C28[CFIL]=S28*RF[REG]+PL28	" FILTRERAD GIRVINKELEHAST.
C29[CFIL]=S29*RB[REG]+PL29	" BERÄKNAD GIRVINKELEHAST.
C30[CFIL]=T	

C37[CFIL]=THU1[REG]
C38[CFIL]=THU2[REG]
C39[CFIL]=THU3[REG]
C40[CFIL]=THU4[REG]
C41[CFIL]=THU5[REG]
C42[CFIL]=THU6[REG]
C43[CFIL]=THU7[REG]
C44[CFIL]=THU8[REG]
C45[CFIL]=THU9[REG]
C46[CFIL]=THU10[REG]
C47[CFIL]=THU11[REG]
C48[CFIL]=THU12[REG]

U1[REG]=PSIM[BOAT4]
U2[REG]=PREF
U3[REG]=DELM[BOAT4]
U4[REG]=UTSIG
U5[REG]=V1[BOAT4]
U6[REG]=V2[BOAT4]
U7[REG]=VM[BOAT4]
U8[REG]=RM[BOAT4]

K0:0.8
PREF:0.
S1:5.
PL1:-2.
S2:5.
PL2:-4.
S3:5.
PL3:5.5
S4:10.
PL4:4.
S5:1.
PL5:0.
S6:0.2
PL6:-3.
S11:0.2
PL11:-3.
S12:1.
PL12:0.
S13:5.
PL13:-3.
S14:5.
PL14:-3.
S15:10.
PL15:7.
S16:10.
PL16:5.
S17:10.
PL17:7.
S18:10.
PL18:3.
S19:1.
PL19:0.
S20:5.
PL20:-3.
S21:5.
PL21:-3.
S22:10.
PL22:7.
S23:10.
PL23:5.
S24:10.
PL24:7.

S25:10.
PL25:3.
S26:0.02
PL26:0.
S27:1.
PL27:0.
S28:10.
PL28:3.
S29:10.
PL29:2.

END

```

001      SUBROUTINE REG
002
003      C
004      REAL K1,K2,K3,LAMB
005      DIMENSION DAT(45),TH(12),THU(12),P(78),DUM(12)
006      DIMENSION X(16),U(8),H(14)
007      COMMON /TIME/ T
008      COMMON /DESTIN/ IDUM, IPART
009      COMMON /XUHL/ X,U,H,LAMB
010      GOTO(1,2,3,4,5,6,7,8),IPART
011      C
012      1    CALL IDENT('DISCR','REG')
013      RETURN
014      C
015      2    CALL INPUT(U,8,'U')
016      CALL OUTPUT(RFOLD,'RF')
017      CALL OUTPUT(RPSI,'RB')
018      CALL INPUT(YS,'YS')
019      CALL INPUT(YSD,'YSD')
020      CALL INPUT(YRF,'YRF')
021      CALL OUTPUV(X,16,'X')
022      CALL OUTPUT(US,'US')
023      CALL TSAMP(TS,'TS')
024      CALL VARV(H,14,'H')
025      CALL PAR(DT,'DT')
026      CALL PAR(K1,'K1')
027      CALL PAR(K2,'K2')
028      CALL PAR(K3,'K3')
029      CALL PAR(USL,'USL')
030      CALL PAR(B,'B')
031      CALL PAR(FIL,'FIL')
032      CALL PAR(TYP,'TYP')
033      CALL PAR(LAMB,'LAMB')
034      CALL OUTPUV(THU,12,'THU')
035      CALL PAR(ANA,'NA')
036      CALL PAR(ANB,'NB')
037      CALL PAR(ANC,'NC')
038      CALL PAR(AK,'K')
039      CALL PAR(IRDIF,'IRDIF')
040      CALL PAR(RL,'RL')
041      CALL PAR(B0,'B0')
042      CALL PARV(P,78,'P')
043      CALL PARV(TH,12,'TH')

044      C
045      DT=SAMPLE INTERVAL
046      C
047      K1=P-FACTOR
048      C
049      K2=D-FACTOR
050      C
051      K3=I-FACTOR
052      C
053      USL=UTSIGNALBEGRÄNSNING
054      C
055      1-B=FORGETTING FACTOR WHEN COMPUTING MOVING AVERAGE
056      C
057      FIL=1 RM FILTRERAS INTE
058      C
059      FIL=2 RM FILTRERAS SOM GLIDANDE MEDELVÄRDE MED
060      C
061      GLOMSKEFAKTOR 1-B
062      C
063      FIL=3 RM BERÄKNAS GENOM DERIVATION AV PSIM
064      C
065      LAMB=KOEFFICIENT I FORLUSTFUNKTIONEN
066      C
067      TYP=1 PIDREG
068      C
069      TYP=2 STURE
070      C
071      THU =VEKTOR INNEHALLANDE NYA PARAMETER ESTIMAT
072      C
073      TH =VEKTOR INNEHALLANDE INITIAL PARAMETRAR
074      C
075      NA =ANTAL A-PARAMETRAR
076      C
077      NB =ANTAL B-PARAMETRAR
078      C
079      NC =ANTAL C-PARAMETRAR
080      C
081      K =NUMBER OF TIME DELAYS

```

```

064      C   IRDIF=0 FEED FORWARD IS RM(T)
065      C   IRDIF=1 FEED FORWARD IS RM(T)-RM(T-1)
066      C   RL    =EXPONENTIAL FORGETTING FACTOR
067      C   B0    =SKALFAKTOR I STURE-REGULATORN
068      C   P     =KOVARIANSMATRISEN VID MINSTA-KVADRAT IDENTIFIERING
069      C   RETURN
070      C
071      3   DT=15.
072      K1=1.5
073      K2=80.
074      K3=0.003125
075      USL=45.
076      B=0.7
077      FIL=1.
078      TYP=2.
079      ANA=3.
080      ANB=2.
081      ANC=3.
082      AK=2.
083      AIRDIF=0.
084      RL=0.99
085      B0=-1.
086      C
087      DO 302 I=1,12
088      302  TH(I)=0.
089      C
090      DO 304 I=1,78
091      304  P(I)=0.
092      C
093      DO 306 I=1,8
094      L=I*(I-1)/2+1
095      306  P(L)=100.
096      RETURN
097      C
098      4   TS=T
099      C
100      IF FIL=FIL+0.1
101      ITYP=TYP+0.1
102      AN=0.
103      ICON=1
104      RIOLD=0.
105      RFOLD=0.
106      S1OLD=1.-B
107      YSOLD=0.
108      YSDOLD=0.
109      USOLD=0.
110      US=0.
111      K1=K3*DT
112      DO 40 I=1,14
113      40   H(I)=0.
114      MA=ANA+0.1
115      NB=ANB+0.1
116      NC=ANC+0.1
117      K=AK+0.1
118      IRDIF=AIRDIF+0.1
119      DO 402 I=1,45
120      402  DAT(I)=0.
121      NAB=NA+NAB
122      NP=NAB+NC
123      K11=K+1
124      NDAT=NP+3*K+3
125      NDAT1=NDAT+1
126      NU1=NA+K+2
127      N1=NU1*K

```

```

128      NN=NAB+2*K+3
129      RETURN
130      C
131      5      IF(ICON)500,502,500
132      500    ICON=0
133      DO 501 I=1,16
134      501    X(I)=0,
135      RFOLD=0,
136      RPSI=0,
137      GOTO 580
138      C
139      502    AN=AN+1.
140      GOTO(505,560),ITYP
141      C
142      C      P I D-REGULATOR
143      C
144      505    ERR=YS-YRF
145      RIN=R1OLD+K1*ERR
146      RPSI=(YS-YSOLD)/DT
147      GOTO(510,520,530),IFIL
148      510    USF=YSD
149      GOTO 540
150      520    IF(T,GT,1)S1OLD=(1.-B)*S1OLD/(1.-B+S1OLD)
151      RFOLD=RFOLD+(B+S1OLD)*(YSD-RFOLD)
152      USF=RFOLD
153      GOTO 540
154      530    USF=RPSI
155      540    US1=K1*ERR+K2*USF+RIN
156      IF(US1.GT.USL.OR.US1.LT.-USL)GOTO 545
157      US=US1
158      GOTO 550
159      545    US=SIGN(1.,US1)*USL
160      550    R1OLD=RIN
161      YSOLD=YS
162      CALL LOSS(AN)
163      GOTO 599
164      C
165      C      SELF TUNING REGULATOR
166      C
167      560    DAT(1)=YS
168      IF(NC)568,568,561
169      561    RPSI=(YS-YSOLD)/DT
170      GOTO(562,563,564),IFIL
171      562    USF=YSD
172      GOTO 565
173      563    IF(T,GT,1)S1OLD=(1.-B)*S1OLD/(1.-B+S1OLD)
174      RFOLD=RFOLD+(B+S1OLD)*(YSD-RFOLD)
175      USF=RFOLD
176      GOTO 565
177      564    USF=RPSI
178      565    IF(IRDIF)567,567,566
179      566    DAT(NN)=USF-YSOLD
180      YSOLD=USF
181      GOTO 568
182      567    DAT(NN)=USF
183      568    CALL STURE(DAT,TH,P,DUM,RL,NA,NAB,NP,K11,NDAT,NDAT1,NU1,N1)
184      US1=DAT(NU1)/B0+US
185      USOLD=US
186      IF(ABS(US1)-USL)570,570,569
187      569    US1=SIGN(1.,US1)*USL
188      DAT(NU1)=(US1-USOLD)*B0
189      US=US1
190      YSOLD=YS
191      CALL LOSS(AN)

```

```
192      580    DO 581 I=1,12
193      581    THU(I)=TH(I)
194      599    RETURN
195      6      TS=T+DT
196      RETURN
197      C
198      7      CONTINUE
199      RETURN
200      C
201      8      CONTINUE
202      RETURN
203      C
204      END
```

```
192      580    DO 581 I=1,12
193      581    THU(I)=TH(I)
194      599    RETURN
195      6       TS=T+DT
196      RETURN
197      C
198      7       CONTINUE
199      RETURN
200      C
201      8       CONTINUE
202      RETURN
203      C
204      END
```

```

001      SUBROUTINE STURE(DAT, TH, P, DUM, RL, NA, NAB, NP, K1, NDAT, NDAT1, NU1, N1)
002
003      C
004      C      SELFTUNING REGULATOR BASED ON LEAST SQUARES IDENTIFICATION
005      C      AND MINIMUM VARIANCE CONTROL, ADMITS FEEDFORWARD AND
006      C      EXPLOITS SYMMETRY OF P.
007      C
008      C      AUTHOR, C.KALLSTROM 1974-07-04.
009      C
010      C      THE ALGORITHM IS BASED ON THE MODEL
011      C
012      C      Y(T)+A(1)*Y(T-K-1)+...+A(NA)*Y(T-K-NA)=
013      C          B0*(U(T-K-1)+B(1)*U(T-K-2)+...+B(NB)*U(T-K-NB-1))+  

014      C          C(1)*V(T-K-1)+C(2)*V(T-K-2)+...+C(NC)*V(T-K-NC)+EPS(T)
015      C
016      C      AT EACH STEP THE LEAST SQUARES ESTIMATES OF THE PARAMETERS
017      C      OF THE MODEL ARE COMPUTED. THE CONTROL VARIABLE U(T) TO
018      C      BE APPLIED AT TIME T IS THEN COMPUTED FROM
019      C
020      C      US(T)= AE(1)*Y(T)+...+AE(NA)*Y(T-NA+1)
021      C          -BE(1)*US(T-1)-...-BE(NB)*US(T-NB)
022      C          -CE(1)*V(T)-...-CE(NC)*V(T-NC+1)
023      C
024      C      WHERE AE,BE AND CE ARE THE PARAMETER ESTIMATES
025      C      AND US THE SCALED CONTROL SIGNAL I.E. US=B0*u
026      C
027      C      WHEN USING THE ALGORITHM THE PROCESS OUTPUT Y(T) AND THE
028      C      FEEDFORWARD SIGNAL V(T) ARE READ AT TIME T AND THE CONTROL
029      C      SIGNAL U(T) TO BE APPLIED AT TIME T IS THEN COMPUTED
030      C
031      C      DAT= VECTOR OF DIMENSION NA+NAB+NC+3*K+3 CONTAINING
032      C          PROCESS OUTPUTS Y, SCALED CONTROL VARIABLES U
033      C          AND FEED FORWARD SIGNALS V ORGANIZED AS FOLLOWS
034      C      DAT(1)=Y(T)                                RETURNED AS Y(T)
035      C      DAT(2)=Y(T-1)                             RETURNED AS Y(T)
036      C      DAT(3)=Y(T-2)                             RETURNED AS Y(T-1)
037      C      .
038      C      DAT(NA+K+1)=Y(T-K-NA)                  RETURNED AS Y(T-K-NA+1)
039      C      DAT(NA+K+2)=US(T-1)                      RETURNED AS US(T)
040      C      DAT(NA+K+3)=US(T-2)                      RETURNED AS US(T-1)
041      C      .
042      C      DAT(NA+NAB+2*K+2)=US(T-K-NB-1)        RETURNED AS US(T-K-NB)
043      C      DAT(NA+NAB+2*K+3)=V(T)                  RETURNED AS US(T-K-NB-1)
044      C      DAT(NA+NAB+2*K+4)=V(T-1)                RETURNED AS V(T)
045      C      .
046      C      DAT(NA+NAB+NC+3*K+3)=V(T-K-NC)        RETURNED AS V(T-K-NC+1)
047      C
048      C
049      C      TH= VECTOR OF DIMENSION NP=NA+NAB+NC CONTAINING THE PARAMETER
050      C      ESTIMATES ORGANIZED AS FOLLOWS
051      C      TH(1)=-AE(1)
052      C      TH(2)=-AE(2)
053      C      .
054      C      TH(NA)=-AE(NA)
055      C      TH(NA+1)=BE(1)
056      C      TH(NA+2)=BE(2)
057      C      .
058      C      TH(NA+NAB)=BE(NB)
059      C      TH(NA+NAB+1)=CE(1)
060      C      TH(NA+NAB+2)=CE(2)
061      C      .
062      C      TH(NA+NAB+NC)=CE(NC)
063      C

```

```

064      C P= COVARIANCE MATRIX STORED AS FOLLOWS
065      C P(1)=P(1,1)
066      C P(2)=P(2,1)
067      C P(3)=P(2,2)
068      C .
069      C P(I*(I-1)/2+J)=P(I,J)
070      C .
071      C P(NP*(NP+1)/2)=P(NP,NP)
072      C
073      C
074      C DUM= DUMMY VECTOR OF DIMENSION NP
075      C RL= BASE OF EXPONENTIAL WEIGHTING FACTOR
076      C NA= NUMBER OF A-PARAMETERS (MAX 12, MIN 0)
077      C NB= NUMBER OF B-PARAMETERS (MAX 12, MIN 0)
078      C NC= NUMBER OF C-PARAMETERS (MAX 12, MIN 0)
079      C K =NUMBER OF TIME DELAYS IN THE MODEL (MAX (42-NA-NB-NC)/3,
080      C MIN 0)
081      C NAB= NA+NB
082      C NP= NA+NB+NC (MAX 12, MIN 1)
083      C K1= K+1
084      C NDAT= NP+3*K+3
085      C NDAT1= NDAT+1
086      C NU1= NA+K+2
087      C N1= NU1+K
088      C
089      C SUBROUTINE REQUIRED
090      C     NONE
091      C
092      C DIMENSION DAT(45),TH(12),P(78),DUM(12)
093      C
094      RES=DAT(1)-DAT(N1)
095      DENOM=1.
096      DO 12 I=1,NP
097      R=0.
098      DO 10 J=1,NP
099      L=I*(I-1)/2+J
100      IF (J.GT.I) L=J*(J-1)/2+I
101      M=K1+J
102      IF (J.GT.NA) M=M+K1
103      IF (J.GT.NAB) M=M+K1
104      10 R=R+P(L)*DAT(M)
105      DUM(I)=R
106      M=K1+I
107      IF (I.GT.NA) M=M+K1
108      IF (I.GT.NAB) M=M+K1
109      DENOM=DENOM+R*DAT(M)
110      12 RES=RES-DAT(M)*TH(I)
111      C
112      DO 20 I=1,NP
113      R=DUM(I)/DENOM
114      TH(I)=TH(I)+R*RES
115      DO 20 J=1,I
116      L=I*(I-1)/2+J
117      20 P(L)=(P(L)-R*DUM(J))/RL
118      C
119      R=0.,
120      DO 30 I=1,NP
121      L=I
122      IF (I.GT.NA) L=L+K1
123      IF (I.GT.NAB) L=L+K1
124      30 R=R-TH(I)*DAT(L)
125      C
126      DO 32 I=2,NDAT
127      L=NDAT1-I

```

128 32 DAT(L+1)=DAT(L)
129 DAT(NU1)=R
130 C
131 RETURN
132 END

```
001      SUBROUTINE LOSS(AN)
002      C
003      C
004      REAL LAMB
005      DIMENSION X(16),U(8),H(14)
006      COMMON /XUHL/ X,U,H,LAMB
007      C
008      LAMB=1./8.
009      K=3
010      H(1)=H(1)+U(1)-U(2)
011      X(1)=H(1)/AN
012      H(2)=H(2)+(U(1)-U(2))*(U(1)-U(2))
013      IF(AN.GT.1.5)X(2)=SQRT((H(2)-AN*X(1)*X(1))/(AN-1.))
014      C
015      DO 20 I=3,8
016      H(K)=H(K)+U(I)
017      X(K)=H(K)/AN
018      H(K+1)=H(K+1)+U(I)*U(I)
019      IF(AN.GT.1.5)X(K+1)=SQRT((H(K+1)-AN*X(K)*X(K))/(AN-1.))
020      20   K=K+2
021      C
022      X(15)=H(2)+LAMB*H(4)
023      X(16)=X(15)/AN
024      C
025      RETURN
026      C
027      END
```